

11-168

1

Азәрбајҹан ССР
Елмләр Академијасы
Академия наук
Азербайджанской ССР

ISSN 0002-3078

МӘРУЗӘЛӘР ДОКЛАДЫ

ЧИЛД
XLII

ТОМ



1986

ДАН Азерб. ССР публикует краткие сообщения об оригинальных, нигде, не опубликованных ранее, результатах научных исследований, представленные академиками АН Азерб. ССР, которые тем самым берут на себя ответственность за научные достоверности представляемой статьи.

В «Докладах» не публикуются крупные статьи, механически разделенные на ряд отдельных сообщений, статьи полемического характера, без новых фактических сообщений, статьи полемического характера, без новых фактических данных, статьи с описанием промежуточных опытов, без определенных выводов и обобщений, чисто методические статьи, если предлагаемый метод не является принципиально новым, а также статьи по систематике растений и животных (за исключением описания особы интересных для науки находок).

Будучи органом срочной информации, журнал «ДАН Азерб. ССР» принимает и отбирает к печати статьи, объем которых допускает их публикацию в установленные решением Президиума АН Азерб. ССР сроки.

В связи со всеми перечисленными ограничениями отклонение статьи редакцией «Доклады АН Азерб. ССР» означает только, что она не согласуется с требованиями и возможностями этого журнала и не исключает ее публикации в других изданиях:

ПРАВИЛА ДЛЯ АВТОРОВ

Редакция журнала «Доклады АН Азерб. ССР», просит авторов руководствоваться приведенными правилами и надеется, что авторы ознакомятся с ними прежде, чем пришлют статью в редакцию.

Статьи, присланные без соблюдения этих правил, к рассмотрению не принимаются.

1. Статьи, направляемые в редакцию, должны иметь представление члена АН СССР или академика АН Азерб. ССР, если оно требуется (см. выше).

Статьи с именем направить их на представление редакцией не принимаются.

2. Статья публикуется по мере поступления. Единственным поводом для внеочередной публикации является исключительная важность сообщения и соображения приоритета. Для этого необходимо специальное решение редколлегии.

3. Как правило, редакция направляет предоставленные статьи на рецензию.

4. «Доклады» помещают не более трех статей одного автора в год. Это правило не распространяется на членов АН СССР, академиков Академии наук Азерб. ССР.

5. Авторы должны определить раздел, в который следует поместить статью, а также дать индекс статьи по Универсальной десятичной классификации (УДК). К статье прилагается отпечатанный на машинке реферат в двух экземплярах, предназначенный для передачи в один из реферативных журналов ВНИТИ.

6. В конце статьи нужно указать полное название учреждения, в котором выполнено исследование, фамилии всех авторов, а также полный почтовый адрес и номер телефона (служебный и домашний) каждого соавтора.

Кроме того, авторский коллектив должен указать лицо, с которым редакция будет вести переговоры и переписку.

7. Возвращение рукописи автору на доработку не означает, что статья принята к печати. После получения доработанного текста, рукопись вновь рассматривается редколлегией. Доработанный текст автор должен вернуть вместе с первоначальным экземпляром статьи, а также ответом на все замечания. Датой поступления считается день получения редакцией окончательного варианта статьи.

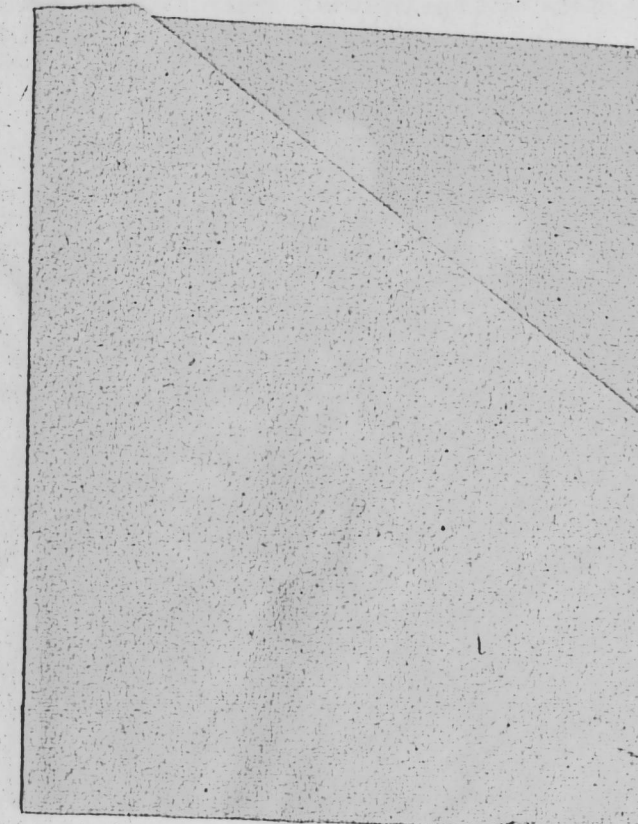
8. В «Докладах» публикуются статьи, занимающие не более $\frac{1}{4}$ авторского листа (6 страниц машинописи). В этот объем входят текст, таблицы, библиография (не больше 15 источников) и рисунки, число которых не должно превышать четырех, включая и обозначения «а», «б» и т. д. в том числе вклейки на мелованной бумаге. Вклейки даются только для микрофотографий большого увеличения. Штриховые рисунки (карты, схемы и т. п.) на вклейках не печатаются, а даются на кальке. Текст и графический материал представляются в двух экземплярах. Повторение одних и тех же данных в тексте, таблицах и графиках недопустимо. Рисунки должны быть выполнены четко, в формате, обеспечивающем легкость передачи всех деталей фотографии представляются на глянцевой бумаге. Подпись к рисункам должны быть напечатаны в 2-х экземплярах через два интервала на отдельной странице. На обороте рисунков мягким карандашом указываются фамилии авторов, название статьи и номер рисунка.

(Продолжение на третьей странице обложки)

АЗЭРБАЙЧАН ССР ЕЛМЛЭР АКАДЕМИЯСЫ
АКАДЕМИЯ НАУК АЗЕРБАЙДЖАНСКОЙ ССР

МЭ'РУЗЭЛЭР ДОКЛАДЫ

ТОМ XLII ЧИЛД



«ЕЛМ» НЭШРИЙДАА—ИЗДАТЕЛЬСТВО «ЭЛМ»
БАКУ—1986—БАКУ



РЕДАКЦИОННАЯ КОЛЛЕГИЯ:

Э. Ю. Салаев (главный редактор), Г. Б. Абдуллаев, М. Т. Абасов,
В. С. Алиев, Г. А. Алиев, Дж. А. Алиев, И. Г. Алиев, Дж. Б. Гулиев,
Н. А. Гулиев, М. З. Джаваров, Ф. Г. Максудов, А. А. Надиров,
Ю. М. Сенцов (зам. главного редактора), М. А. Усейнов,
Г. Г. Зейналов (ответств. секретарь).

АЗЭРБАЙЖАН ССР ЕЛМЛЭР АКАДЕМИЯСЫНЫН МӘРҮЗӘЛӘРИ

ДОКЛАДЫ АКАДЕМИИ НАУК АЗЕРБАЙДЖАНСКОЙ ССР

ТОМ XLII ЧИЛД

№ 1

1980

УДК 519.3

МАТЕМАТИКА

С. Р. МУСАЕВ, Т. М. ЭФЕНДИЕВ

ПОСТРОЕНИЕ СКАЛЯРНЫХ ТЕРМИНАЛЬНЫХ ПАР МЕТОДОМ
ИТЕРАЦИИ ПИКАРА—РАКОВЩИКА

(Представлено академиком АН Азербайджанской ССР Т. Н. Шахтахтинским)

Метод итерации (последовательных приближений) впервые был применен к отысканию решения дифференциального уравнения Пикаром в 1890 г. [5], а затем в 1962 г. Раковщик [2] оригинально приспособил его для построения допустимых пар, реализующих управляемость.

Пусть задано нелинейное скалярное дифференциальное уравнение

$$\frac{dx}{dt} = f(t, x, u), \quad (1)$$

где $t \in [t_0, T]$, $x = x(t)$ — неизвестная скалярная функция, описывающая поведение объекта, а $u = u(t)$ — скалярное допустимое управление.

Определение 1.

Функция $u = u(t)$, определенная на отрезке $[t_0, T]$, называется допустимым управлением, если:

а) $|u(t)| \leq N$, где N — заданная константа

б) $u(t)$ — кусочно-непрерывная, непрерывна слева в точках разрыва, а также в концах отрезка $[t_0, T]$.

Функция $f(t, x, u)$ определена в области $D_f = D_t \times D_x \times D_u$, где $D_t = [t_0, T]$, $D_x = \{x : |x - x_0| < c\}$, $D_u = [-N, N]$. Далее заданы две точки (t_0, x_0) и (T, X) из $D_t \times D_x$ и условия:

$$x(t) \Big|_{t=t_0} = x_0 \quad (2)$$

$$x(t) \Big|_{t=T} = X \quad (3)$$

Определение 2.

Допустимое управление $u(t)$ вместе с соответствующим ему P -решением задачи Коши (1–2) $x(t)^*$ называется допустимой парой.

Определение 3.

Допустимая пара называется реализующей управляемость, если ее траектория $x(t)$ удовлетворяет условию (3).

* P -решение — это решение задачи Коши (1–2) в смысле Л. С. Понтрягина, оно непрерывно и кусочно дифференцируемо [1].

© Издательство «Элм», 1986 г.

Адрес: г. Баку, Коммунистическая, 10. Редакция «Известий Академии наук Азербайджанской ССР»

Определение 4.

Система (1)–(3) называется управляемой, если существует хотя бы одна допустимая пара, реализующая управляемость.

Теорема 1.

Пусть выполнены условия:

- 1°. Функция $f(t, x, u)$ непрерывна в D_f ,
- 2°. Функция $f(t, x, u)$ удовлетворяет в D_f условию Липшица по x с постоянной $\kappa > 0$.

$$|f(t, x_1, u) - f(t, x_2, u)| \leq \kappa |x_1 - x_2|.$$

3°. Функция $f(t, x, u)$ второго монотонна по u в D_f . Для определенности, в дальнейшем будем полагать, что она монотонно возрастает.

4°. Для $\forall t \in D_t$ и $\forall x \in D_x$ будет

$$f(t, x, -N) \leq \frac{x - x_0}{T - t_0} \leq f(t, x, N)$$

тогда

- a) система (1)–(3) управляема;
- б) допустимая пара, реализующая управляемость, строится методом итерации Пикара–Раковицка (ИПР);
- в) управление искомой допустимой пары кусочно-постоянно;
- г) на каждой n -ой итерации u_n можно вычислить методом половинного деления [4].

Выполнение утверждений а), б), в) дано в [1], покажем выполнение утверждения г). При построении итерации Пикара–Раковицка, на каждой итерации требовалось решить нелинейное скалярное уравнение:

$$\varphi(u) = \int_0^T f(t, x(t), u) dt = (X - x_0) = 0 \quad (4)$$

относительно u при фиксированном $x(t)$. В [1] показано существование корня, с другой стороны, из 3° следует монотонность функции $\varphi(u)$. Из обоих этих обстоятельств следует, что, во-первых корень единственный, а, во-вторых, функция $\varphi(u)$ принимает на концах отрезка $[-N, N]$ значения разных знаков. А это значит, что корень уравнения (4) можно найти методом половинного деления [4].

На множество допустимых пар введем функционал

$$\Phi(x(t), u(t)) = x(T). \quad (5)$$

Пусть g —вещественная функция вещественного переменного. Рассмотрим функционал:

$$g(\Phi(x(t), u(t))) = g(x(T)).$$

Определение 5.

Допустимая пара называется терминальной, если она минимизирует функционал (5) на множество всех допустимых пар.

Введем множества:

$$S_1 = \{x(T) : (x(t), u(t)) \text{—допустимая пара}\}$$

$$S_2 = \{X : x \text{—удовлетворяет условию } 4^\circ\}.$$

Теорема 2.

Пусть выполнены условия 1–3° теоремы 1, а также:

- 4°. $S_1 \neq \emptyset$ (из этого следует, что $S_1 \neq \emptyset$);

$$5^\circ. \min_{y \in S_1} \{g(y)\} = \min_{y \in S_2} \{g(y)\}$$

Тогда:

а) терминальная пара существует;

б) она строится методом ИПР;

в) терминальное управление кусочно-постоянно;

г) на каждой n -ой итерации u_n можно вычислить методом половинного деления.

Определение 6.

Допустимая пара, реализующая управляемость, называется ИПР-оптимальной по быстродействию, если она минимизирует $T - t_0$ на множество всех допустимых пар, реализующих управляемость, которые можно построить методом ИПР (в данном случае с помощью теоремы 1).

Из условия 4° теоремы 1 имеем:

$$\frac{X - x_0}{T - t_0} \leq \min_{t, x} f(t, x, N) \quad (7)$$

или

$$T - t_0 \geq \frac{X - x_0}{\min_{t, x} f(t, x, N)}. \quad (8)$$

Таким образом ИПР-оптимальное по быстродействию время равно

$$T_{\text{ИПР}} - t_0 = \frac{X - x_0}{\min_{t, x} f(t, x, N)} \quad (9)$$

Очевидно, что если T взять в соответствии с (9), то условие 4° не нарушится. Теперь, после того как $T_{\text{ИПР}}$ выбрано, ИПР-оптимальным по быстродействию, то пару можно построить методом ИПР (с помощью теоремы 1).

Заметим, что формула (9) дает оценку сверху для $T_{\text{опт}}$ по быстродействию:

$$T_{\text{опт}} - t_0 \leq \frac{X - x_0}{\min_{t, x} f(t, x, N)}.$$

Литература

1. Мусаев С. Р., Эфендикев Т. М. Вопросы математической кибернетики и прикладной математики, IV. —Баку, Элм, 1980, с. 134–146.

Тогда при каждом натуральном n можно построить многочлен $P_n(z)$ степени $\leq n$ такой, что для любых $z \in G$ будет выполняться неравенство

$$|(f)(z) - P_n(z)| \leq M \left(d^{\alpha+\beta} \left(z, \frac{1}{n} \right) + d^\alpha \left(z, \frac{1}{n} \right) |z - z_0|^\beta \right),$$

где $d \left(z, \frac{1}{n} \right)$ — расстояние от точки $z \in G$ до линии уровня $\Gamma^{1+\frac{1}{n}}$.

Для доказательства этой теоремы, следуя В. И. Белому [4], построим полиномы $P_n(z)$ в следующем виде

$$P_n(z) = -\frac{1}{2\pi^2} \int_{-\pi}^{\pi} j_{nk}(t) dt \iint_{CG} \frac{(f_0y)(\xi) y \bar{\xi}}{(\xi-z)^2} \left[1 - \left(1 - \frac{\xi-z}{\bar{\xi}_t - z} \right)^m \right]^2 d\sigma_\xi,$$

где

$$j_{nk}(t) = \frac{i}{b_{nk}} \left(\frac{\sin \frac{nt}{2}}{\sin \frac{t}{2}} \right)^{2(k+1)},$$

$$b_{nk} = \frac{1}{2\pi} \int_{-\pi}^{\pi} \left(\frac{\sin \frac{nt}{2}}{\sin \frac{t}{2}} \right)^{2(k+1)} dt,$$

$$\bar{\xi} = \psi \left[\Phi(z) \left(1 + \frac{1}{n} \right) \right], \quad \xi_t = \psi \left[\Phi(z) \left(1 + \frac{1}{n} \right) e^{-it} \right]; \quad |t| < \pi,$$

ψ — обратная к Φ функция.

Пусть z_1 — произвольная точка границы Γ . $z \in G, |z - z_1| \leq \frac{1}{2} d \left(z_1, \frac{1}{n} \right) = \frac{d}{2}$. Известно, что

$$\begin{aligned} |f(z) - P_n(z)| &\leq |f(z) - f(z_1) - P_n(f-f(z_1); z)| + M d \left(z_1, \frac{1}{n} \right) \\ f(z) - f(z_1) - P_n(f-f(z_1); z) &= -\frac{1}{\pi} \iint_{G_d} N(\xi) d\sigma_\xi + \\ &+ \frac{1}{2\pi^2} \int_{-\pi}^{\pi} j_{nk}(t) dt \iint_{G_d} N(\xi) \left[-2 \sum_{r=2}^m (-1)^r \binom{m}{r} \left(\frac{\bar{\xi} - z}{\bar{\xi}_t - z} \right)^r + \right. \\ &\quad \left. + \sum_{r=2}^{2m} (-1)^r \binom{2m}{r} \left(\frac{\bar{\xi} - z}{\bar{\xi}_t - z} \right)^r \right] d\sigma_\xi + \\ &+ \frac{1}{2\pi^2} \int_{-\pi}^{\pi} j_{nk}(t) dt \iint_{CG \setminus G_d} N(\xi) \left[-2 \left(\frac{\bar{\xi}_t - \xi}{\bar{\xi}_t - z} \right)^m + \left(\frac{\bar{\xi}_t - \xi}{\bar{\xi}_t - z} \right)^{2m} \right] d\sigma_\xi = \sum_{l=1}^3 I_l, \end{aligned}$$

где $G_d = \{ \xi : \xi \in CG; |\xi - z_1| < d \}$ и $\frac{(f_0y)(\xi) - f(z_1)}{(\xi - z)^2} y_\xi = N(\xi)$. При всех $u \in G$ определена функция $F_1(u) = \int_{\text{on}} [f(t) - f(z_1)] dt$. Выполним ее QC-продолжение $\tilde{F}_1(u)$ в расширенную плоскость (см. [4]). Полагая $C_d = \{ \xi : |\xi - z_1| = d \}$, $\forall z \in G, |z - z_1| < \frac{d}{2}$, имеем

$$\begin{aligned} I_1 &= -\frac{1}{\pi} \iint_{G_d} N(\xi) d\sigma_\xi = |f(z) - f(z_1)| - \\ &- \frac{1}{2\pi} \left(\int_{C_d \cap CG} + \int_{C_d \cap \bar{G}} \right) \frac{\tilde{F}_1(\xi) - \tilde{F}_1(z_1)}{(\xi - z)^2} d\sigma_\xi \end{aligned}$$

Пусть $\xi \in C_d \cap \bar{G}$. Соединим ξ и z_1 в области \bar{G} спрямляемой кривой $l(\xi, z_1)$, для которой $\text{mes } l(\xi, z_1) < M |\xi - z_1|$.

$$\begin{aligned} |\tilde{F}_1(\xi) - F_1(z_1)| &= \left| \int_{l(\xi, z_1)} [f(t) - f(z_1)] dt \right| \leq \\ &\leq \int_{l(\xi, z_1)} |t - z_1|^\alpha \cdot \max \{ |t - z_0|^\beta, |z_1 - z_0|^\beta \} dt \end{aligned}$$

Возможные случаи а) $|t - z_0| > |z_1 - z_0|$, б) $|z_1 - z_0| \geq |t - z_0|$. Рассмотрим случай а). Так как $|t - z_0| \leq |t - z_1| + |z_1 - z_0|$, то имеем

$$\begin{aligned} |\tilde{F}_1(\xi) - F_1(z_1)| &\leq \int_{l(\xi, z_1)} |t - z_1|^\alpha (|t - z_1| + |z_1 - z_0|^\beta) dt \leq \\ &\leq \int_{l(\xi, z_1)} |t - z_1|^\alpha (|t - z_1|^\beta + |z_1 - z_0|^\beta) dt \leq \\ &\leq (\text{mes } l(\xi, z_1))^\alpha ((\text{mes } l(\xi, z_1))^\beta + |z_1 - z_0|^\beta) \text{mes } l(\xi, z_1) \leq \\ &\leq M (|\xi - z_1|^{\alpha+\beta} + |\xi - z_1|^\alpha |z_1 - z_0|^\beta) |\xi - z_1| \leq \\ &\leq M \left(d^{\alpha+\beta} \left(z_1, \frac{1}{n} \right) + d^\alpha \left(z_1, \frac{1}{n} \right) |z_1 - z_0|^\beta \right) d \left(z_1, \frac{1}{n} \right) \end{aligned}$$

Очевидно, что в случае б) имеем

$$\begin{aligned} |\tilde{F}_1(\xi) - F_1(z_1)| &\leq d^\alpha \left(z_1, \frac{1}{n} \right) |z_1 - z_0|^\beta d \left(z_1, \frac{1}{n} \right) \leq \\ &\leq M \left(d^{\alpha+\beta} \left(z_1, \frac{1}{n} \right) + d^\alpha \left(z_1, \frac{1}{n} \right) |z_1 - z_0|^\beta \right) d \left(z_1, \frac{1}{n} \right) \end{aligned}$$

Пусть $\xi \in C_d \cap CG$. Учитывая, что $y(\xi) \in G$ (7. 33) (см. [4], стр. 357) и соединяя $y(\xi)$ с точкой z_1 кривой $l(y(\xi), z_1)$, удовлетворяющей условию

$$\text{mes } l(y(\xi), z_1) \leq M |y(\xi) - z_1|$$

аналогично предыдущему, получим

$$|F_1(y(\xi)) - F_1(z_1)| \leq M \left(d^{\alpha+\beta} \left(z_1, \frac{1}{n} \right) + d^\alpha \left(z_1, \frac{1}{n} \right) |z_1 - z_0|^\beta \right) d \left(z_1, \frac{1}{n} \right).$$

Легко видеть, что

$$|f(z) - f(z_1)| \leq M \left(d^{\alpha+\beta} \left(z_1, \frac{1}{n} \right) + d^\alpha \left(z_1, \frac{1}{n} \right) |z_1 - z_0|^\beta \right)$$

Теперь оценим I_1 .

$$|I_1| \leq M \left(d^{a+\beta} \left(z_1, \frac{1}{n} \right) + d^a \left(z_1, \frac{1}{n} \right) |z_1 - z_0|^\beta \right) + \\ + \frac{8 M d \left(z_1, \frac{1}{n} \right) \left(d^{a+\beta} \left(z_1, \frac{1}{n} \right) + d^a \left(z_1, \frac{1}{n} \right) |z_1 - z_0|^\beta \right)}{2\pi d^a \left(z_1, \frac{1}{n} \right)} 2\pi d \left(z_1, \frac{1}{n} \right) \leq \\ \leq M \left(d^{a+\beta} \left(z_1, \frac{1}{n} \right) + d^a \left(z_1, \frac{1}{n} \right) |z_1 - z_0|^\beta \right)$$

Нетрудно получить аналогичную оценку для I_2 и I_3 . Отсюда приходим к неравенству

$$|f(z) - P_n(z)| \leq M \left(d^{a+\beta} \left(z_1, \frac{1}{n} \right) + d^a \left(z_1, \frac{1}{n} \right) |z_1 - z_0|^\beta \right)$$

при всех $z \in G$, $|z - z_1| < d \left(z_1, \frac{1}{n} \right) / 2$, из которого и следует утверждение теоремы.

Литература

1. Мамедханов Дж. И. В сб. Теория кубатурных формул и вычислительная математика.—Новосибирск: Наука, 1980, с. 164—167.
2. Дзядык Б. К. Введение в теорию равномерного приближения функций полиномами.—М.: Наука, 1977.
3. Белинский П. П. Общие свойства квазиконформных отображений.—Новосибирск: Наука 1974.
4. Белый В. И.—Мат. сб., т. 102(144), № 3, 1977, с. 331—351.

АГУ им. С. М. Кирова

Поступило 15. X 1984

Ч. И. Мамедханов, А. А. Мусаев

КВАЗИКОНФОРМ СЭРГЭДЛИ ОБЛАСТЛАРДА ЧОХНЭДЛИЛЭРЛЭ ЛОКАЛ ЯХЫНЛАШМАЛАР

Мэгэлэдэ квазиконформ сэргэдли областларда чохнэдлилэрлэ локал яхынлашма наагында дүз теоремийн исбат схеми верилмишдир.

Dj. I. Mamedkhanov, A. A. Musaev

LOCAL POLYNOMIAL APPROXIMATION IN DOMAINS WITH QUASI-CONFORMAL BOUNDARY

In the article the method of proof of straight local theorem polynomial approximation in domain with quasi-conformal boundary is given.

Чл.-корр. АН Аз ССР М. Г. ГАСЫМОВ

ОБ ОТСУТСТВИИ СОБСТВЕННЫХ ЭЛЕМЕНТОВ ОДНОЙ ДВУПАРАМЕТРИЧЕСКОЙ ЗАДАЧИ

Пусть A_j и B_j , $j = \overline{0, 3}$, являются вполне непрерывными операторами в сепарабельном гильбертовом пространстве H . Пусть для заданных чисел λ и μ следующие уравнения

$$(A_0 + \lambda A_1 + \lambda^2 A_2 + \mu A_3)x = x \quad (1)$$

$$(B_0 + \lambda B_1 + \lambda^2 B_2 + \mu B_3)y = y. \quad (2)$$

одновременно имеют ненулевые решения $x \neq 0$ и $y \neq 0$ из H . Тогда (λ, μ) называется собственным значением, (x, y) —собственным элементом двупараметрической задачи (1)–(2).

При выполнении определенных условий задача (1)–(2) исследована в работе Дж. Э. Аллахвердиева и Р. М. Джабарзаде [1], где утверждается кратная полнота в определенном смысле системы собственных элементов этой задачи. Здесь мы строим пример, который опровергает основные результаты работы [1]. А именно, в нашем примере все условия теоремы из [1] выполняются, однако задача (1)–(2) не имеет ни одного собственного значения, и поэтому нельзя утверждать о какой-нибудь полноте системы собственных элементов задачи (1)–(2).¹

Пример. В пространстве $H \equiv l_2 = \{x/x = (x_1, x_2, \dots)\}$ определим следующие операторы:

$$a) A_2 x = (q^2 x_1, q^4 x_2, \dots, q^{2n} x_n, \dots),$$

$$B_2 x = (\alpha_1^2 q^2 x_1, \alpha_2^2 q^4 x_2, \dots, \alpha_n^2 q^{2n} x_n, \dots)$$

где α_n и q —рациональные числа, $0 < q < 1$, $\alpha_n = 1 + \beta_n$, $0 < \beta_{n+1} < \beta_n$, $n = 1, 2, \dots$

$$\lim_{n \rightarrow \infty} \beta_n q^{-n} = 0; \quad (3)$$

$$b) A_1 = B_1 = 0; \quad e) A_3 = A_2, \quad B_3 = B_2;$$

$$d) A_0 x = (\tau_1 x_1, \tau_2 x_2, \dots, \tau_n x_n, \dots).$$

$$B_0 x = (\gamma_1 x_1, \gamma_2 x_2, \dots, \gamma_n x_n, \dots),$$

где τ_n —иррациональные и γ_n —рациональные числа, а последовательности

$$\{\tau_n q^{-2n}\} \text{ и } \{\gamma_n q^{-2n}\} \quad (4)$$

ограничены. Покажем, что задача (1)–(2) не имеет ни одного собственного значения (λ, μ) .

Предположим противное. Тогда существуют элементы $x \in l_2$ и $y \in l_2$, $x = (x_1, \dots, x_n, \dots)$, $y = (y_1, \dots, y_n, \dots)$, $x_n \neq 0$, $y_m \neq 0$ и (λ, μ)

такие, что выполняются (1)–(2). Следовательно, для λ и μ имеют место следующие соотношения

$$\tau_{n_0} + (\lambda^2 + \mu) q^{2n_0} = 1 \quad (5)$$

$$\gamma_{m_0} + (\lambda^2 + \mu) q^{2m_0} = 1. \quad (6)$$

Отсюда вытекает, что число $\lambda^2 + \mu$ одновременно будет рациональным и иррациональным числом. Получили противоречие.

В обозначениях работы [1] знак $\lambda_k(C)$ обозначает последовательность характеристических чисел оператора $(CC^*)^{1/2}$. Поэтому очевидно, что $\lambda_k(A_2^{1/2}) = q^{-k}$, $\lambda_k(B_2^{1/2}) = \alpha_k^{-1} q^{-k}$.

Предложение. Построенная двупараметрическая задача удовлетворяет всем условиям основной теоремы из работы [1] при $p=1$ и $\delta=1$ (в условиях теоремы из [1] p , δ являются фиксированными числами из $(0, 1]$ и $(0, 2)$, соответственно). Действительно,

1) A_i, B_j ($i=0, 1, 2, 3$) вполне непрерывные операторы, причем $A_2 > 0$, $B_2 > 0$;

2) для любого $x \in L_2$ и $M > 0$ имеют место соотношения:

$$(A_1 x, x) \equiv 0 < M(A_2 x, x),$$

$$(B_1 x, x) \equiv 0 < M(B_2 x, x);$$

3) поскольку $0 < q < 1$, сходятся ряды ($p=1$)

$$\sum_{k=1}^{\infty} \frac{|\lambda_k(A_2^{1/2})|^{2-2p}}{|\lambda_{k+1}(A_2^{1/2}) - \lambda_k(A_2^{1/2})|^2} = \sum_{k=1}^{\infty} (1-q)^{-2} q^{2k+2},$$

$$\sum_{k=1}^{\infty} \frac{|\lambda_k(B_2^{1/2})|^{2-2p}}{|\lambda_{k+1}(B_2^{1/2}) - \lambda_k(B_2^{1/2})|^2} = \sum_{k=1}^{\infty} \alpha_{k+1} \left(1 - \frac{\alpha_{k+1}}{\alpha_k} q\right)^{-2} q^{2k+2} <$$

$$< \frac{\alpha_1}{(1-q)^2} \sum_{k=1}^{\infty} q^{2k+2};$$

4) A_3 и B_3 — одновременно положительные;

$$\lim_{k \rightarrow \infty} \{\lambda_k(A_2^{1/2}) - \lambda_k(B_2^{1/2})\} = \lim_{k \rightarrow \infty} \beta_k q^{-k} = 0,$$

$$\lambda_k(A_2^{1/2}) \neq \lambda_k(B_2^{1/2}), k = 1, 2, \dots;$$

6) операторы ($\delta=1$) $B_3 B_2^{-1} = E$ и $A_3 A_2^{-1} = E$ ограничены, операторы $A_1 A_2^{-1} = 0$, $B_1 B_2^{-1} = 0$, а ограниченность операторов

$$A_0 A_2^{-1} x = (\tau_1 q^{-2} x_1, \dots, \tau_n q^{-2n} x_n, \dots)$$

$$B_0 B_2^{-1} x = (\gamma_1 \alpha_1^{-1} q^{-2} x_1, \dots, \gamma_n \alpha_n^{-1} q^{-2n} x_n, \dots)$$

вытекает из ограниченности последовательностей из (4).

Таким образом приведенная двупараметрическая задача удовлетворяет всем условиям теоремы из [1], однако не имеет ни одного собственного элемента. Поэтому утверждение теоремы из [1] о кратной полноте системы собственных элементов задачи типа (1)–(2) является ошибочным.

Литература

Аллахвердиев Д. Э., Джабар-заде Р. М. Докл. АН АзССР, 1979, т. 35, № 6, с. 16–20.

АГУ им. С. М. Кирова

Поступило 17. VII 1984

М. К. Гасымов

ИКИ ПАРАМЕТРЛИ БИР МЭСЭЛЭНИН МЭХСУСИ ЭДЭДЛЭРИНИН ОЛМАМАСЫ ҺАГГҮНДА

Мэгэлэдэ гурулмуш ики параметрли спектрал мэсэлэдэ [1] ишиний эсас ити-чэсийн сэхн олдуу көстэрлилр.

M. G. Gasimov

ABSENCE OF EIGENELEMENTS OF TWO-PARAMETRIC PROBLEMS

Two-parametric spectral problems indicating the fallibility of the [1] results are constructed.

Р. Б. ШАФИЗАДЕ, К. Р. АЛЛАХВЕРДИЕВ, Ф. И. АЛИЕВ, С. С. БАБАЕВ,
М. А. НУРИЕВ

ДЛИННОВОЛНОВОЙ ИК-СПЕКТР И ФОТОПРОВОДИМОСТЬ МОНОКРИСТАЛЛИЧЕСКИХ ПЛЕНОК CuInSe_2

(Представлено академиком АН Азербайджанской ССР М. И. Алиевым)

В настоящее время большое место в полупроводниковой технике занимают сложные алмазоподобные соединения. К ним относится и соединение CuInSe_2 , которое является перспективным материалом для нелинейной оптики, светодиодов, для видимой и ИК-областей спектра [1], а также преобразователей солнечной энергии, электролюминесцентных диодов и т. д.

Однако все эти свойства относятся к массивным образцам. В тонких пленках свойства соединения CuInSe_2 изучены крайне недостаточно. В частности, не исследованы условия образования тонких пленок ($\sim 1000 \text{ \AA}$) CuInSe_2 и их оптические и фотоэлектрические свойства.

Целью настоящей работы является получение тонких монокристаллических пленок CuInSe_2 , исследование их оптических, фотоэлектрических свойств и сравнение их с данными для объемных образцов.

Соединение CuInSe_2 синтезировалось сплавлением отдельных элементов, взятых в стехиометрическом составе, в эвакуированных и отпаянных кварцевых ампулах. Выращивание монокристаллов осуществлялось методом Бриджмена.

Тонкие пленки CuInSe_2 получались вакуумным осаждением синтезированного вещества. Навеска испарялась в вакууме $\sim 10^{-5} \text{ mm rt. st.}$ из вольфрамовой навитой конической спирали. Скорость осаждения около 20 \AA/sec . Монокристаллические пленки CuInSe_2 образуются на подложках из свежих сколов монокристаллов каменной соли, находящихся при температуре 450°C , при этом плоскость (100) CuInSe_2 ориентируется параллельно (001) NaCl .

Электронограмма (рис. 1), полученная на приборе ЭР-100 при напряжении 75 кВ, индицируется на основе известной тетрагональной решетки с параметрами $a=b=5,77 \text{ \AA}$; $c=11,5 \text{ \AA}$ [2].

Спектры длинноволнового (ИК) отражения для эпитаксиальных пленок CuInSe_2 на подложке NaCl были получены на спектрометре FIS-3 [с разрешением в диапазоне частот $400 - 100 \text{ cm}^{-1}$ не хуже 2 cm^{-1} . Частоты LO и TO фононов определены из анализа спектров отражения с использованием соотношений Крамерса — Кронига

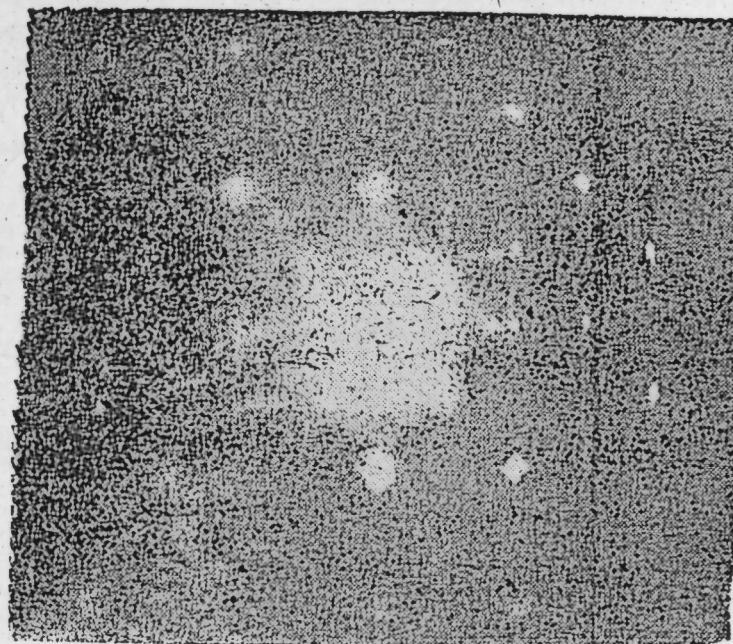


Рис. 1. Электронограмма от монокристаллической пленки CuInSe_2

Спектры ИК-отражения эпитаксиальных пленок CuInSe_2 (рис. 2, б) показали, что помимо полос отражения, присущих CuInSe_2 , наблюдаются еще и дополнительные линии. Для установления природы этих линий были отдельно сняты спектры ИК-отражения массивного монокристаллического CuInSe_2 и NaCl рис. (2 а, в).

Сравнение спектров ИК-отражения (рис. 2а, б, в) позволило установить, что на максимумы ИК-спектра тонких монокристаллических пленок CuInSe_2 , полученных на поверхности монокристалла NaCl , существенно влияет спектр NaCl . Определенные из анализа этих спектров частоты LO и TO фононов показывают, что полосы отражения монокристаллов CuInSe_2 в областях частот 180—190 и $214-230 \text{ cm}^{-1}$ наблюдаются и в спектрах эпитаксиальных слоев (рис. 3), что свидетельствует о совершенстве полученных монокристаллических пленок.

На рис. 4 представлен спектр распределения фоточувствительности пленок CuInSe_2 . Как видно, в широкой области энергий (1,4—0,5 мкм) наблюдается заметная фотопроводимость с максимумом в районе 1 мкм. Если определить ширину запрещенной

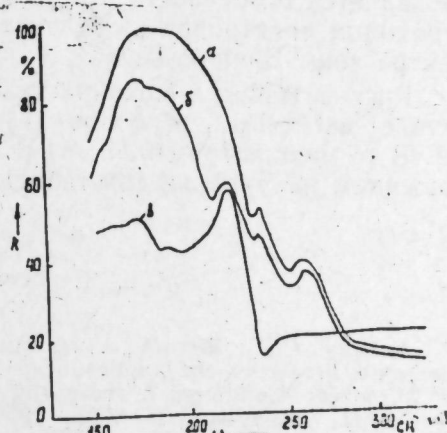


Рис. 2. Спектры длинноволнового ИК-отражения: а — NaCl ; б — эпитаксиальной пленки CuInSe_2 ; в — массивно монокристаллического CuInSe_2

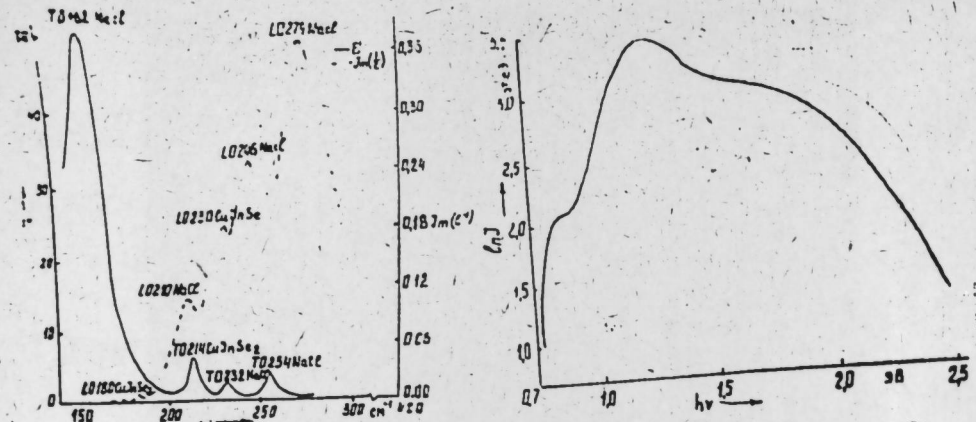


Рис. 3. Спектральная зависимость функции диэлектрических потерь $\text{Im}(-1/\epsilon)$ и минимумов части диэлектрической проницаемости ϵ_2 для эпитаксиальных пленок CuInSe_2 на NaCl подложке.

зоны CuInSe_2 , по максимуму фототока, то $E_d=1,24$ эВ, а по полуспаду в длинноволновой области спектра получается $E_d=1,06$ эВ. Полученные значения E_d удовлетворительно согласуются с литературными данными как для массивного монокристаллического [3], так и для пленочного CuInSe_2 при 300 К [4].

За областью фундаментального поглощения $h\nu > E_d$ с увеличением энергии фотонов, падающих на поверхность кристалла, фоточувствительность заметно падает, что, по-видимому, связано с понижающим вкладом поверхностной рекомбинации. Как видно из рис. 4, в глубине фундаментального поглощения в спектре фотопроводимости проявляется особенность в области 1,5 эВ, которую можно объяснить переходом электронов из валентной подзоны в зону проводимости в центре зоны Бриллюэна [5].

Рост фототока в монокристаллических пленках CuInSe_2 , как и в случае массивных объектов [6], начинается со значения энергии 0,7 эВ (с максимумом 0,85 эВ) и поэтому его можно объяснить поглощением на уровнях собственных дефектов решетки CuInSe_2 .

Литература

1. Shay J. L., Wernik J. H. Ternary Chalcopyrite Semiconductors: Growth, Electronic Properties and Applications.—N. Y., 1976.
2. Hahn H., Frank G., Kliniger W., Meyer A.—Stöger Z. anorg. allg. Chem., 1953, 271, p. 153.
3. Жузе В. П., Сергеева В. И., Штрум Е. Л.—ЖТФ, 1958, т. 28, с. 2093.
4. Kazmerski L. L. and Shieh C. C.—Thin Solid Films, 1977, v. 41, p. 35—41.
5. Shay J. L. and Kasper H. M.—Physical Review Letters, 1972, v. 29, N 17, p. 1162.
6. Mora S. and Romeo N.—Journal of Applied Physics, 1977, v. 48, N 11, p. 4826.

Р. Б. Шәфизадә, К. Р. Аллахвердиев, Ф. И. Элиев, С. С. Баев, М. Э. Нуриев.

CuInSe_2 МОНОКРИСТАЛ НАЗИК ТӘБӘГӘЛӘРИНИН ҮЗҮНДАЛҒАЛЫ ИГ СПЕКТРИ ВӘ ФОТОКЕЧИРИЧИЛИЈИ.

Мәгәләдә CuInSe_2 монокристал назик тәбәгәси бирләшмәнин 450°C температуралу NaCl монокристалы үзәрүі бухарландырма вә чөкдүрмә үсулу илә алымасы көстәрилишdir. NaCl -ла бирликдә бу тәбәгәнин 100—400 cm^{-1} областында спектри алымыш вә уйғын массив монокристал нұмнәләрini спектрләри илә мугаисә едилшишdir. LO вә TO фононларынын тезлиji несабланышдыр.

CuInSe_2 тәбәгәсинин фотопроводимылынын пајланма әжисинидән гадаған олунмуш золагын ени $E_g=1,06$ еВ тәжин едилшишdir.

R. B. Shafizade, K. R. Allakhverdiyev, F. I. Aliyev, S. S. Babayev, M. A. Nuriyev

THE LONG-WAVE INFRA-RED SPECTRUM AND PHOTOCONDUCTIVITY OF MONOCRYSTALLINE FILMS CuInSe_2

The epitaxial monocrystalline films of CuInSe_2 with (100) CuInSe_2 ||(001) NaCl orientation was obtained by the method of vacuum deposition of synthesized CuInSe_2 on single crystals of NaCl at $T_s = 450^\circ\text{C}$.

The long-wave infra-red reflection spectrum form epitaxial films CuInSe_2 within the frequency range of 400—100 cm^{-1} is compared with the spectrum from the bulk CuInSe_2 and NaCl single crystals. The frequencies of LO and TO phonons are determined from the Kramers-Kronig relationship.

From the spectra of photosensitivity the band gap for epitaxial CuInSe_2 films is determined: $E_g=1.06$ eV.

О ПРОХОЖДЕНИИ ТОКА ЧЕРЕЗ ДИСЛОКАЦИОННЫЙ БАРЬЕР

(Представлено академиком АН Азербайджанской ССР Н. А. Гулиевым)

Задача о свойствах вольт-амперной характеристики (ВАХ) при прохождении тока через границу двух зерен полупроводника или границу биокристалла решается обычно в одномерном приближении [1–3]. Такое приближение оправдано, если локализованные электронные состояния на вершине барьера являются двумерными (размазаны вдоль границы). В действительности, эти состояния на обсуждаемых границах часто имеют дислокационное происхождение, возникая на оборванных связях в ядрах краевых дислокаций, сетка которых и образует границу. Двумерная сеть заряженных дислокаций, имеющая характерный масштаб ячейки d , проявляет себя как однородная заряженная плоскость на расстояниях $|x| \gg d$ (ось ox направлена по нормали к границе). Однако при расчете ВАХ приходится использовать информацию не только об асимптотических свойствах поля этой сетки на расстояниях $|x| \gg d$, но и о структуре поля в области $|x| < d$. В связи с этим возникает необходимость обсуждения влияния ячеистой структуры сетки заряженных дислокаций на свойства ВАХ.

Теория ВАХ для барьера, имеющего седловые точки, изложенная в [4] справедлива в определенных пределах, не допускающих, в частности, предельного перехода к одномерной теории ВАХ. В связи с этим представляет интерес несколько иной подход к задаче о свойствах дислокационного барьера в условиях, когда влияние дислокационной структуры на свойства ВАХ можно считать малым. Используемый формализм удобен также для исследований ВАХ при наличии внешнего магнитного поля. Такая задача для барьера, имеющего седловые точки, в литературе обсуждается впервые.

А. Теперь приступим к вычислению ВАХ. Для простоты предположим, что дислокации на вершине барьера расположены равнодistantно и параллельно друг другу. Разложим интересующую нас величину в ряды Фурье.

$$\begin{aligned} n(x; y) &= \sum n_k(x) \cos kqy; \quad j_x = \sum j_{xk} \cos kqy; \\ \varphi(x; y) &= \sum \varphi_k(x) \cos kqy; \quad j_y = \sum j_{yk} \sin kqy. \end{aligned} \quad (1)$$

Здесь: $n(x; y)$ —объемная плотность электронов; j_x и j_y —соответствующие компоненты электронного тока через барьер, $\varphi(x; y)$ —электростатический потенциал системы; $q = 2\pi/d$.

Попробуем теперь удовлетворить уравнению неразрывности

$$\operatorname{div} \vec{j} = 0; \quad \vec{j} = -\mu T \nabla \varphi - e \mu n \nabla \varphi \quad (2)$$

(μ —подвижность электронов, T —температура) приближенно, ограничившись конечным (для простоты двумя) количеством гармоник в разложениях (1). Нулевая гармоника $d\varphi_0/dx = 0$ или

$$j_{x0} = \text{const} = -[T \mu n_0^1 - e \mu (n_0 \varphi_0^1 + \frac{1}{2} n_1 \varphi_1^1)]; \quad n' \equiv dn/dx \quad (3)$$

Влияние конечной скваженности на нулевую гармонику проявляется при наличии слагаемого $n_1 \varphi_1^1$. Первая гармоника

$$\begin{aligned} \partial j_{1x}/\partial x + \partial j_{1y}/\partial y &= 0; \\ \varphi_1^1 - q^2 \varphi_1^0 &= -4\pi e n_1/\epsilon; \\ \varphi_1^1|_{\pm\infty} &= 0; \quad \varphi_1^1|_{+0} - \varphi_1^1|_{-0} = 4\pi e n_1/\epsilon, \end{aligned} \quad (4)$$

где n_{s1} —Фурье коэффициент поверхностной плотности электронов n_s на дислокационном барьере. Нулевые граничные условия для φ_1 на больших расстояниях верны в меру выполнения неравенства $R_0 \gg d$, которое предполагается выполненным (R_0 —радиус Рида отдельной дислокации). Что касается первого из уравнений (4), то записанное в явном виде оно принимает вид:

$$\begin{aligned} -Tn_1'' - en_1'\varphi_0^1 - [en_0'\varphi_1^0 - en_0\varphi_1^1 + q^2(Tn_1 + en_0\varphi_1)] &= 0 \\ n_1|_{\pm 0} &= 0; \quad n_1|_{00} = -[e\varphi_1(0)/T] \cdot n_0(0) \end{aligned} \quad (5)$$

Нулевые граничные условия для n_1 на больших расстояниях $x \gg d$ верны, как и в случае $\varphi_1(x)$ при выполнении условия $R_0 \gg d$. Что касается второго граничного условия и (5), то оно эквивалентно очевидному требованию $J_y|_0 = 0$, которое должно выполняться на вершине барьера.

Полезно отметить, что в отсутствие полного тока через барьер условие $J_y = 0$, выполняющееся теперь тождественно, сводится к требованию

$$n_1(x) = -[e\varphi_1(x)/T] \cdot n_0(x), \quad (6)$$

обращается в ноль и величина $j_x^{(1)} = 0$, причем равенство $j_x^{(1)} = 0$ выполняется автоматически в меру выполнения соотношений (3)–(5).

Система (4)–(5) должна быть дополнена определением коэффициента заполнения f дислокационных уровней на вершине барьера. Однако в омической области, исследованием тока в которой мы ограничимся ниже, влиянием тока j на f следует пренебречь. В омической области можно использовать связь $n_1(x)$ и $\varphi_1(x)$, в результате соотношение (3) для $n_0(x)$ приобретает следующий вид:

$$\begin{aligned} dn_0/dx + [en_0(x)/T] \cdot \left(\varphi_0^1 - \frac{1}{2} \frac{e}{T} \varphi_1^1 \right) + j/e\mu &= 0; \\ n_0|_{x=-R_1} = n_0|_{x=+R_1} &= n_d; \quad \varphi_0|_{x=-R_1} = 0; \quad \varphi_0|_{x=+R_1} = -V; \\ R_{1,2} &= R_0(1 \pm V/4\varphi_{so}); \quad \varphi_{so} = \pi e n_{so}^2 / 2\epsilon n_d, \end{aligned} \quad (7)$$

может быть проинтегрировано (V —разность потенциалов на берегах барьера). Используя в связи с этим стандартные рассуждения, имеющие место в теории ВАХ для одномерного барьера, нетрудно получить следующее выражение для тока:

$$J_{x_0} = e \mu n_a V \int_{-R_0}^{R_0} \exp \left[\frac{e \varphi_0(x)}{T} - \frac{e^2 \varphi_1^2(x)}{T^2} \right] dx \quad (8)$$

$$\varphi_1 = -(4\pi e n_s / e q) \cdot \exp(-|x|q).$$

При определении $\varphi_1(x)$ учтено, что правая часть уравнения (4) для $\varphi_1(x)$ с помощью соотношения (5) приводится к виду $\varphi_1(x) \propto L_D^{-2} \exp\left[-\frac{e \varphi_0}{T}\right]$, ($L_D^{-2} = 4\pi e^2 n_a / e T$) и оказывается малой по сравнению со слагаемым $q^2 \varphi_1$. Таким образом эффективно величина φ_1 описывается уравнением $\psi''_1 - q^2 \varphi_1 = 0$.

Б. ВАХ в магнитном поле вычисляется путем обобщения, развитой в пункте А, теории. Присутствие магнитного поля налагает дополнительные ограничения на исследование поставленной задачи.

Одним из этих ограничений является то, что наряду с четными членами ($\sim \cos kqy$) Фурье разложение $n(x; y)$ и $\varphi(x; y)$ содержит и нечетные члены ($\sim \sin kqy$) разложения, т. е.

$$\begin{aligned} n(x; y) &= \sum [n_k(x) \cos kqy + v_k(x) \sin kqy]; \\ \varphi(x; y) &= \sum [\varphi_k(x) \cos kqy + \psi_k(x) \sin kqy]. \end{aligned} \quad (9)$$

Уравнения диффузии при наличии магнитного поля выглядят как [5]:

$$\vec{j} = -e\mu n(x; y) \nabla \varphi - \mu T \nabla n - \frac{\mu_H}{c} [\vec{j} \vec{H}], \quad (10)$$

где μ_H — подвижность электронов при наличии магнитного поля.

Рассмотрим случай, когда $\vec{H} \parallel OZ$, т. е. направлено по оси дислокации. Как и в случае $H=0$ исследуем условие $\operatorname{div} j = 0$. Нулевая гармоника $\partial j_{x_0} / \partial x = 0$, или

$$\begin{aligned} J_{x_0} = \text{const} &= \left[1 + \left(\frac{\mu_H H}{c} \right)^2 \right]^{-1} \cdot \left\{ -e \mu n_0(x) \varphi_0(x) - \frac{1}{2} e \mu n_1 \varphi_1 - \right. \\ &\left. - \frac{e}{2} \mu v_1 \psi_1 - \mu T n_0'(x) + \frac{e}{c} \mu \mu_H H \left[\frac{1}{2} q n_1(x) \psi_1(x) - \frac{1}{2} q v_1(x) \varphi_1(x) \right] \right\} \quad (11) \end{aligned}$$

Влияние магнитного поля на нулевую гармонику проявляется наличием слагаемых, пропорциональных $v_1(x) \psi_1(x)$ и магнитному полю H .

Действуя аналогично тому, как и в случае $H=0$ для j_{x_0} , получим следующие выражения:

$$\begin{aligned} j_{x_0} &= \frac{e \mu n_a V}{1 + (\mu_H H / C)^2} \times \\ &\times \frac{1 - \left(\frac{e \varphi_1}{T} \right)^2 \cdot \left(\frac{\mu_H H}{c} \right)^2 \cdot (q \cdot L_D)^{-2}}{\int_{-R_0}^{R_0} \exp \left[\frac{e \varphi_0(x)}{T} - \frac{e^2 \varphi_1^2(x)}{4T^2} + \left(\frac{\mu_H H}{c} \right)^2 \frac{e^2 \varphi_1^2}{4T^2} \cdot (q \cdot L_D)^{-2} \left(1 - \exp \left(-\frac{e \varphi_0(x)}{T} \right) \right) \right] dx} \quad (12) \end{aligned}$$

В. Теперь сделаем соответствующие выводы и определим область применения нашей теории.

а. Учет конечной скваженности между дислокациями уменьшает высоту потенциального барьера на величину $(e \varphi_1 / 2T)^2$, т. е. способствует увеличению плотности тока.

20

б. Учет магнитного поля двояко влияет на ВАХ. Во-первых увеличивает высоту потенциального барьера $\left(\frac{e \varphi_1}{2T}\right)^2 (q \cdot L_D)^{-2} \cdot \left(\frac{\mu_H H}{c}\right)^2$ во-вторых, меняет наклон линии ВАХ. Обе эти причины приводят к уменьшению плотности тока.

Заметим, что в пределе $d/R_0 \ll 1$ и $\left(\frac{\mu_H H}{c}\right)^2 \rightarrow 0$ из (12) мы получим результат одномерной теории [1—3].

Область применимости выражений (8) и (12) ограничена требованиями:

$$\varphi_1 \ll \varphi_0; n_1 \ll n_0; e \varphi_1(0)/T \ll 1.$$

В развернутом виде эти неравенства выглядят так:

$$\delta = d/R_0 \ll 1; \quad \delta_1 = d \cdot R_0 / L_D^2 \ll 1.$$

Учитывая неравенство $R_0 \gg L_D$, нетрудно видеть, что соотношение $dR_0 / L_D^2 \ll 1$ нарушается раньше, чем $d/R_0 \ll 1$. Это утверждение имеет простой физический смысл. Как только отношение $e \varphi_1 / T$ начинает превышать единицу, теряется пространственная однородность тока, пересекающего барьер. Токовые линии группируются на перевальных точках потенциального барьера с минимальной высотой и область описания этого эффекта "расслоения" с помощью теории возмущений становится невозможной. В то же время неравенство $\varphi_1 \ll \varphi_0$ может быть выполнено еще с хорошей точностью.

Литература

1. Taylor W. E., Odell N. H., Fan H. Y.—Phys. Rev., v. 88, 1952, № 15, p. 867.
2. Гольдман Е. И., Ждан А. Г.—ФТП, т. 10, вып. 10, 1976, с. 1839. 3. Гольдман Е. И., Ждан А. Г., Гуляев И. Б., Садомирский В. Б.—ФТП, т. 10, вып. 11, 1966, с. 20890.
4. Дошанов Р. М., Шамирзаев С. Х.—ФТП, т. 12, вып. 12, 1978, с. 2328. 5. Бонч-Бруевич В. Л., Калашников С. Г. Физика полупроводников. —М.: Наука, 1977. с. 652.

Поступило 19. II 1984.

ИФАН АзССР

3. А. Валиев, В. Б. Шикин

ДИСЛОКАСИЯ ЧЕПЭРЛЭРИНДЭН ЧЭРЭЈАНЫН КЕЧМЭСИ

Мэгэлэдээ ярымкечиринчи кристалларда дислокацијаларын яратдыгы чепэрлэрдэн чэрэјанын кечмасындæн бæхс едилир.

Чэрэјан сыхлыгы учун аналитик ифадэ алышмышдыр. Алынан ифадэ чэрэјан сыхлыгынын дислокацијалар арасындах мæсафэдэн, харичи электрик ва магнит сахæлэриндæн нечæ дæжишидийни тэдгэс ётмæж имкан верир.

Z. A. Valiev, V. B. Shikin

THE CURRENT PASSING ACROSS THE DISLOCATION BARRIER

The current passing in semiconductors with the charged dislocation is investigated. It is obtained that the current density is a function of a distance among the charged dislocations and the applied electric field. The current density is proportional to the reciprocal of the width of the barrier between the dislocations.

Мэгэлэдээ ярымкечиринчи кристалларда дислокацијаларын яратдыгы чепэрлэрдэн чэрэјанын кечмасындæн бæхс едилир.

А. Г. АБДУЛЛАЕВ, Б. А. ГЕЗАЛОВ, Ф. Д. КАСИМОВ,
В. М. МАМИКОНОВА

ЭЛЕКТРОФИЗИЧЕСКИЕ СВОЙСТВА ПЛЕНОК ПОЛИКРИСТАЛЛИЧЕСКОГО КРЕМНИЯ, СФОРМИРОВАННЫХ В ПРОЦЕССЕ ЭПИТАКСИАЛЬНОГО НАРАЩИВАНИЯ

(Представлено академиком АН Азербайджанской ССР М. И. Алиевым)

В [1] сообщалось об индуктивных эффектах, наблюдаемых в аморфных халькогенидных переключателях вблизи порогового напряжения и в области отрицательного сопротивления. Представляет интерес исследование аналогичных явлений в переключающих элементах на основе пленок поликристаллического кремния (ПК), локально сформированных в едином эпитаксиальном процессе совместно с монокристаллическими пленками [2, 3].

Вольт-емкостные характеристики исследовались на измерителе полных проводимостей транзисторов Л2-7 с генератором ГК3-40 при комнатной температуре в диапазоне частот 0,465–15 МГц.

На рис. 1 представлены типичные кривые зависимостей емкости пленок ПК в высокоомном состоянии от напряжения смещения при различных частотах измерительного сигнала, из которых видно, что при напряжениях, близких к пороговому напряжению переключения при обеих полярностях смещения, величина емкости свой знак с положительного на отрицательный. С увеличением частоты напряжение инверсии знака емкости возрастает. Следует отметить, что при обеих полярностях смещения резкому уменьшению емкости предшествует область напряжений, при которой происходит возрастание емкости.

Исследование $C-V$ характеристик пленок ПК в низкоомном состоянии показало, что во всем исследованном частотном диапазоне емкость имеет отрицательные значения, причем с возрастанием напряжения смещения номиналы ее уменьшаются по модулю (рис. 2).

Полученные экспериментальные результаты объясняются на основе барьерной модели проводимости [4], согласно которой на границах зерен пленок ПК существуют

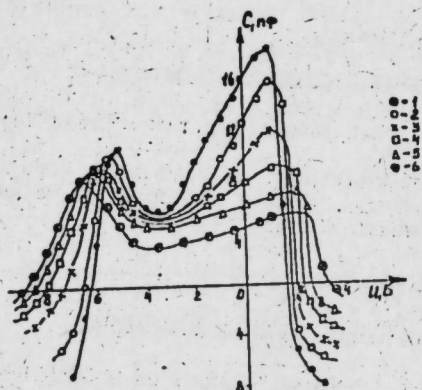


Рис. 1. Вольт-емкостные характеристики переключающих элементов на пленке ПК в высокоомном состоянии на различных частотах: 1–6–0,465; 1; 3; 5; 10 МГц соответственно.

глубокие ловушечные уровни, захватывающие свободные носители из объема зерна, вследствие чего в приграничных областях зерен возникают потенциальные барьеры. В высокоомном состоянии при обратном напряжении смещения емкость пленки ПК определяется емкостью обедненных слоев на границах зерен, которая уменьшается при увеличении смещения за счет их расширения (рис. 1, левая часть). При увеличении напряжения происходит последовательный пробой потенциальных барьеров, что приводит к увеличению емкости за счет вклада емкости подвижных носителей, инжектируемых в области обедненных слоев [5]. Дальнейшее увеличение напряжения приводит к резкому уменьшению емкости и переходу ее к отрицательным значениям.

В [6] было показано, что в обратно смещенных $p-n$ переходах, содержащих глубокие генерационно-рекомбинационные уровни, в пробойной области емкостный характер реактивной составляющей проводимости меняется на индуктивный, что обусловлено захватом и генерацией носителей глубокими уровнями.

В пленках ПК, инжектированных в результате пробоя в область обедненных слоев свободные носители, начинают захватываться глубокими ловушками, согласно модели, предложенной в [6]. Пока частота захвата мала и удовлетворяет условию $1/\tau < \omega$, емкость остается положительной. При повышении уровня инжекции частота захвата увеличивается и приближается к частоте измерительного сигнала ω , что приводит к увеличению количества носителей, захваченных ловушками. Поскольку емкость определяется изменением заряда подвижных носителей с напряжением, захват ловушками уменьшает их концентрацию, а следовательно и емкость. При определенном уровне инжекции частота захвата становится равной частоте измерительного сигнала и реактивная составляющая проводимости в этой точке обращается в нуль. Дальнейшее повышение уровня инжекции приводит к условию $1/\tau > \omega$, при котором величина отрицательной емкости увеличивается. Повышение частоты измерительного сигнала ω увеличивает уровень инжекции, необходимый для достижения резонансной частоты, вследствие чего напряжение инверсии знака емкости возрастает.

Вследствие прямого смещения описанные явления наблюдались при меньших напряжениях, поскольку здесь не происходит расширения барьерных слоев (рис. 1, правая часть).

В низкоомном состоянии потенциальные барьеры в пленке ПК отсутствуют, поэтому уровень инжекции достаточно высок. При этом реактивная составляющая проводимости, по-видимому, обусловлена перезарядкой глубоких ловушек. Согласно графикам, приведенным на рис. 2, емкость пленок в низкоомном состоянии принимает только

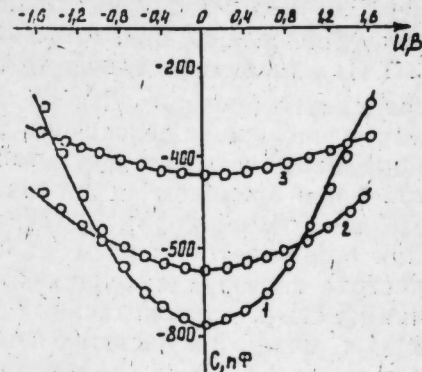


Рис. 2. Вольт-емкостные характеристики переключающих элементов на пленке ПК в низкоомном состоянии: 1–3–0,465; 5; 10 МГц соответственно

отрицательные значения, следовательно, частота перезарядки глубоких уровней $1/\tau$ больше частоты измерительного сигнала ω .

Из измеренных значений отрицательной емкости и активной составляющей проводимости по формуле $C/g = \beta\tau$, приведенной в [7], вычислено время релаксации глубоких уровней, которое оказалось порядка 10 нс. Этот результат находится в хорошем согласии с собственным временем переключения из высокоомного состояния пленок ПК в низкоомное [3]. Коэффициент β при высоких уровнях инжекции принимается равным единице, что соответствует максимальной частоте перезарядки уровней. Следовательно, в низкоомном состоянии достичь положительных значений емкости, согласно условию $\omega > 1/\tau$, можно на частотах выше 20 МГц.

Отрицательная емкость полупроводниковых структур является эквивалентом индуктивности L , согласно [6], связана с последней соотношением $C = 1/\omega^2 L$, где ω — круговая частота, равная $2\pi f$. Вычисления показывают, что значения индуктивностей в пленке ПК с площадью $3 \cdot 10^{-3}$ мм² на частоте 10 МГц находятся в диапазоне 20–170 мкГн, что на два порядка выше, чем индуктивность спиральной тонкопленочной катушки на основе серебра с площадью 50 мм².

На основании проведенных исследований можно сделать вывод, что переключающие пленки ПК представляют собой функциональный элемент, обладающий нелинейной вольт-емкостной характеристикой управляемой напряжением и частотой.

Литература

1. Гасанов Л. С., Дешевой А. С., Петровский В. И.—Электронная техника, серия VI, 1971, № 3, с. 31–34.
2. Касимов Ф. Д., Исхендер-заде З. А., Абдуллаев А. Г., Мамиконова В. М.—Изв. АН АзССР, серия физ.-тех. и матем. наук, 1982, № 4, с. 76–79.
3. Abdullaev A. G., Kasimov F. D., Veltkov V. A., Mamikonova V. M.—Thin Solid Films, 1984, 112, № 2, p. 121–125.
4. Mandurah M. M., Saraswat K. C., Kamins T. I.—IEEE Trans. Electron Devices, 1981, ED-28, p. 1163–1171.
5. Абдуллаев Г. Б., Исхендер-заде З. А. Некоторые вопросы физики электронно-дырочных переходов.—Баку: Элм, 1971, 216 с.
6. Авакянц Г. М., Гринберг И. С., Мурыгин В. И.—Радиотехника и электроника 1962, № 7, с. 1214–1222.
7. Агаев А. М., Захваткин Г. В., Иглицын М. И., Первова Л. Я., Фистуль В. И.—Материалы конференции «Физика р-п переходов».—Рига, 1966, с. 7–13.

Поступило 16. IV. 1984

А. Г. Абдуллаев, Б. А. Кезэлов, Ф. Ч. Гасымов, В. М. Мамиконова

ЕПИТАКСИЯ ПРОСЕСИНДЭ ФОРМАЛАШАН ПОЛИКРИСТАЛ СИЛИСИУМ НАЗИК ТӘБӘГӘЛӘРИНИН ЕЛЕКТРОФИЗИКИ ХАССӘЛӘРИ

Мәгәләдә монокристал тәбәгәләрин епітаксија процесинде локал јетишдирилмиш поликристал силисиум назик тәбәгәсі әсасында назырланыш чөвирічиләрин волт-фарад характеристикаларының тәндгүйндән бәләе олунур.

Поликристал силисиумун дәнәләре сәрнәддинде дәрени сәвијәләрни кенерасија вә рекомбинасија процессләри илә бағлы олан тутумун ишарасиниң ийверсија урамасы еффект ашқар едилмишидир.

Нәтичә чыхарылмышдың ки, поликристал силисиум локал тәбәгәсі кәркинилек риңгүләр нәлшина малик фүнкционал элементидir.

A. G. Abdullaev, B. A. Gezalov, F. D. Kasimov, V. M. Mamikonova

ELECTROPHYSICAL PROPERTIES OF THE POLYCRYSTALLINE SILICON FILMS FORMED IN A PROCESS OF THE EPITAXIAL GROWTH

The volt-capacitance characteristics of switches on the base of poly-Si films locally prepared in a process of epitaxial growth of mono-Si films were investigated. It is found, that poly-Si films exhibit an inductive behaviour due to recharge of deep traps of grain boundaries.

Conclusion was made that poly-Si film represents functional elements with two stable states of conductivity, volt-capacitance characteristics of which depended on the voltage and frequency.

Ш. В. МАМЕДОВ, Э. Ш. НУРИЕВ, Я. Г. РАГИМОВ, В. А. АЛЕКПЕРОВ,
С. А. АБАСОВ

ВЛИЯНИЕ ЭЛЕКТРИЧЕСКИХ РАЗРЯДОВ НА МЕХАНИЧЕСКУЮ ПРОЧНОСТЬ ШЕЛКОВЫХ НИТЕЙ

(Представлено академиком АН Азербайджанской ССР Ч. М. Джуварлы)

В работах [1, 2] изучено влияние селена на свободнорадикальные процессы в натуральном шелке. Показано, что селен, входя в структуру фиброна шелка, приводит как к замедлению процессов образования свободных радикалов и окислительной деструкции в нем, так и к изменению его молекулярной и надмолекулярной структуры. Также установлено, что введение селена приводит к замедлению скорости диффузии кислорода в фиброне шелка при старении под действием электрического разряда и УФ-облучения и он действует как превентивные антиоксиданты при высоких температурах. Известно, что натуральный шелк как прекрасный электроизоляционный материал, используется в высоковольтной технике. При эксплуатации, он подвергается одновременному воздействию электрических полей, разрядов, механических напряжений, кислорода и влаги—происходит старение и разрушение изоляции. Поэтому, изучение механической и электрической прочности натурального шелка при условиях, близких к эксплуатационным и нахождение способов упрочнения его представляет большую практическую ценность. В литературе имеется ряд работ, где приводятся данные об измерении механической прочности натурального шелка, однако об изучении ее изменений при модифицировании фиброна и под действием разрядов, фактически, нет сведений.

В данной работе изложены результаты изменения механической прочности и долговечности коконной нити под действием разрядов, полученной от гусениц, подкормленных селеном (опытные) и не-подкормленных (контрольные), в зависимости от времени воздействия и напряжения разряда.

Воздействие электрических разрядов на шелковые нити осуществлялось в атмосфере воздуха при комнатной температуре в специальной ячейке, описанной в [3].

После того, как шелковая нить подвергалась воздействию поля, снимали временную зависимость механической прочности. Толщина нити варьировалась в пределах от 60 до 85 мкм.

Измерение временной зависимости прочности как состарившейся, так и не состарившейся нити было проведено на разрывной установке, которая позволяла в течение всего опыта поддерживать постоянство механического напряжения. Для каждого отдельного измерения

температура поддерживалась постоянной с помощью терморегулятора.

Для выяснения влияния длительности воздействия электрического разряда на временную зависимость механической прочности, проводились измерения зависимости долговечности от механического напряжения опытных и контрольных образцов, предварительно подвергнутых воздействию электрических разрядов при $U_{ст} = 4$ кВ в течение $t_{ст} = 1 \div 4$ ч.

На рис. 1 показана зависимость механической прочности опытного и контрольного образцов от времени старения при $U_{ст} = 4$ кВ и $\tau = 1$ с. Как видно, с увеличением времени старения, происходит уменьшение прочности. Для опытного образца прочность всегда больше, чем у контрольного, т. е. скорость изменения прочности для опытного образца, в зависимости от времени старения, меньше, чем у контрольного. Прочность при $t_{ст} = 4$ ч уменьшилась

на 80 % для контрольного, и на 45% для опытного образца, при прочих равных условиях ($\tau = \text{const}$ и $T = \text{const}$).

На рис. 2 показана зависимость механической прочности указанных нитей от напряжения разряда $U_{ст}$ при $t_{ст} = 1$ ч, при прочих равных условиях ($\tau = \text{const}$, $T = \text{const}$). Как видно, при постоянном времени электрического старения, с увеличением величины электрического напряжения $U_{ст}$ прочность падает. Если относительное уменьшение механической прочности контрольных образцов, после воздействия разрядов, напряжением $U_{ст} = 7$ кВ составляет 85%, прочность опытных образцов при том же условии уменьшается только на 50%.

Зная величину α из временных зависимостей прочности и используя соотношение $\alpha = \gamma / R\tau$ [4] (γ —структурно-чувствительный коэффициент, α —угол наклона в зависимости $\tau = f(\alpha)$), вычислили значения параметра γ для опытных и контрольных шелковых нитей, предва-

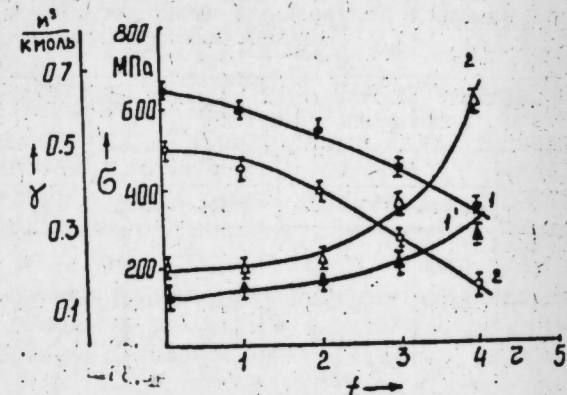


Рис. 1. Зависимость механической прочности опытного (1) и контрольной (2) шелковой нити и структурно-чувствительного коэффициента (1'—опытный, 2'—контрольный) от времени электрического старения $U_{ст} = 4$ кВ

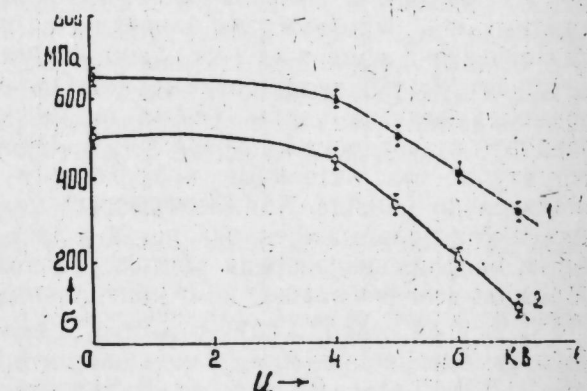


Рис. 2. Зависимость механической прочности опытной (1) и контрольной (2) шелковой нити от напряжения разряда $t_{ст} = 1$ ч.

Значения структурно-чувствительного коэффициента γ и параметра α для опытов и контрольных шелковых нитей, предварительно подвергнутых воздействию электрических разрядов

Воздействие электрических разрядов при напряжении $U_{ct} = 4$ кВ					Воздействие электрических разрядов в течение $t_{ct} = 1$ ч				
t_{ct} , ч	α , МПа $^{-1}$		γ , м 3 /кмоль		Напряжение разряда, U_{ct} , кВ	α , МПа $^{-1}$		γ , м 3 /кмоль	
	опыт.	конт.	опыт.	конт.		опыт.	конт.	опыт.	конт.
0	0,060	0,079	0,14	0,20	0	0,06	0,079	0,14	0,20
1	0,065	0,086	0,16	0,21	4	0,065	0,086	0,16	0,21
2	0,070	0,096	0,17	0,23	5	0,078	0,119	0,19	0,29
3	0,086	0,145	0,21	0,36	6	0,09	0,200	0,22	0,49
4	0,112	0,253	0,27	0,62	7	0,12	0,490	0,29	1,19

рительно подвергнутых воздействию электрических разрядов при различных значениях t_{ct} и U_{ct} (см. таблицу).

Из таблицы и рис. 1, 2 видно, что изменения прочностных свойств опытных и контрольных шелковых нитей после электрического старения связаны с изменением структурно-чувствительного коэффициента γ , характеризующегося равномерностью распределения напряжения по молекулярным цепям. Также видно, что прочность опытных образцов (без воздействия разрядов) больше чем контрольных, так как структурно-чувствительный коэффициент γ для опытного образца значительно меньше. Ход зависимостей механической прочности опытных и контрольных шелковых нитей в зависимости от времени старения и напряжения разряда почти одинаковый, но прочность опытных образцов всегда больше, чем контрольных.

С другой стороны, для опытных образцов скорость относительного изменения прочности уменьшается при электрическом старении (рис. 1, 2). Следовательно, на основе рис. 1, 2 и данных, приведенных в таблице, можно заключить, что стойкость опытных шелковых нитей к воздействию электрических разрядов увеличивается.

Из таблицы также видно, что изменение механической прочности при воздействии электрических разрядов связано с изменением γ . Для наглядности, на рис. 1 показана также зависимость структурно-чувствительного коэффициента от продолжительности воздействия разрядов.

Видно, что уменьшение механической прочности в зависимости от времени воздействия разрядов коррелирует с увеличением γ . Аналогичная картина будет наблюдаться и в случае зависимости этих параметров (α , γ) от величины напряжения разряда. Уменьшение γ связано с увеличением неоднородности материала.

Увеличение механической прочности шелковой нити при введении селена в структуру шелка (при $U_{ct} = 0$; $t_{ct} = 0$) связано с тем, что [5] образуются химические связи в цепях и межмолекулярные связи между цепями полимера на границе агрегатов, образованных регулярным расположением групп макромолекул фиброна. Это приводит к уменьшению коэффициента перенапряжения, а следовательно,

структурно-чувствительного коэффициента γ . Можно предположить, что при этом также образуются межмолекулярные диселенидные связи, где, по аналогии с функцией серы в белках, миграция энергии и заряда. Активные частицы захватываются атомами селена и останавливается дальнейшее течение процесса разрушения. С другой стороны, диселенидные мостики дают дополнительный вклад в энергию связи макромолекул фиброна.

Известно, что под действием электрических разрядов в полимерах, в том числе натуральном шелке, происходят окислительно-деструктивные процессы.

Наблюдаемое в данном случае за медление скорости окислительно-деструктивных процессов и скорости убывания механической прочности опытных образцов (образцы с селеном) согласуется с предыдущими данными [1, 2] из ЭПР исследований, где было установлено, что скорость накопления свободных радикалов для опытных образцов существенно меньше по сравнению с контрольными.

Таким образом, при введении селена в структуру фиброна шелка, он становится более устойчив к действию электрических разрядов т. е. замедляется развитие окислительных реакций. Такое антиокислительное действие селена связано с характером его распределения в окисляющемся полимере и с изменением его надмолекулярной структуры. Кроме этого, селен образует дополнительные боковые разветвления в аморфных прослойках фиброна шелка и приводит к замедлению скорости диффузии кислорода, что отражается на темпе уменьшения механической прочности действием разрядов.

Литература

- Абдуллаев Г. Б., Бакиров М. Я., Мамедов Ш. В., Халилов З. М., Шукюров Ю. Г., Юсифов Э. Ю.—Докл. АН АзССР, т. XXXIV, 1978, 11, 20. 2. Шукюров Ю. Г.—Дисс... канд. физ.-матем. наук АГУ, 1934. 3. Багиров М. А., Малин В. П., Абасов С. А. Воздействие электрических разрядов на полимерные диэлектрики.—Баку: Элм, 1975, 293 с. 4. Регель В. Р., Слуцкер А. И., Томашевский Э. Е. Кинетическая природа прочности твердых тел.—М.: Наука, 1974, 560 с. 5. Абдуллаев Г. Б., Бакиров М. Я., Мамедов Ш. В., Абасов С. А., Шукюров В. Г.—Изв. АН АзССР, серия физ.-тех. и матем. наук, 1980, № 12.

Институт физики АН АзССР

Поступило 29. III 1985

Ш. В. Мамедов, Е. Ш. Нуриев, Я. Г. Рагимов, В. Э. Элекберов,
С. А. Абасов

ЕЛЕКТРИК БОШАЛМАСЫНЫН ИПЭК САПЫН МӨҮКӘМЛИИНӘ ТӘСИРИ

Мәгәләдә селенолла модификасија олунуш ипэк сапын механик мөүкәмлииниң вә Ҙашама мүддәттинин электрик бошалмасының тәсириндең дағышмаси гејд едилир. Көстәрилмишdir ки, ипэк сапын тәркиби һиссәсимиң тәшкил едән фиброна селенол вурулдуугда, онун электрик бошалмасының тәсиринә гарыш давамлылығы артыр вә оксидләшмә просеси зәйфләйр.

Sh. V. Mamedov, E. Sh. Nuriev, Ya. G. Ragimov, V. A. Alekperov, S. A. Abasov

ELECTRIC DISCHARGE EFFECT ON SILK MECHANICAL DURABILITY

Alterations in mechanical durability and life-time of selenol-modified silk thread under the electrical discharge effect are studied in the article. Selenum introduction into silk fibroin structure is shown to make it more discharge-proof, i. e. oxidative process is retarded.

Т. С. АХУНДОВ, М. В. ИМАНОВА, А. Д. ТАИРОВ

ТЕРМИЧЕСКИЕ СВОЙСТВА ВОДНЫХ РАСТВОРОВ ХЛОРИСТОГО НАТРИЯ ПРИ КОНЦЕНТРАЦИЯХ 20 и 50 г/л

(Представлено академиком АН Азербайджанской ССР А. А. Эфендизаде)

Анализ потребностей современной науки и техники выявил необходимость в наличии данных по термическим свойствам высокотемпературных водных растворов электролитов.

Настоящая работа является продолжением экспериментальных исследований термических свойств водных растворов электролитов [1] и посвящена измерению плотности и давления насыщенных растворов хлористого натрия, содержащего 20 и 50 г соли в 1 л раствора. Экспериментальная установка представляет собой метод пьезометра постоянного объема.

Терmostатирование пьезометра осуществляется в жидкостном терmostате, снабженном осевым насосом, регулировочным нагревателем и регулятором температуры, обеспечивающим постоянство регулирования температуры с погрешностью $\pm 0,02^\circ$.

Для измерения температуры использовался образцовый платиновый термометр сопротивления конструкции ВНИИФТРИ. Сопротивление термометра измерялось компенсационным методом с применением потенциометра Р 363/2. Максимальная погрешность измерения температуры до 600 К не превышает $\pm 0,02^\circ$.

Давление в установке измерялось грузопоршневыми манометрами МП-600 и МП-60, класса 0,05%.

Удельный объем исследуемой жидкости определяется как частное от деления объема пьезометра на количество исследуемой жидкости, заполняющей пьезометр при измеренных давлении и температуре. Объем пьезометра с учетом всех необходимых поправок определяется погрешностью не более $\pm 0,02\%$.

Максимальная суммарная относительная ошибка определения плотности на экспериментальной установке не превышает $\pm 0,01\%$. Более подробно о экспериментальной установке, методике измерений основных опытных величин и введении поправок, присущих данному методу, сказано в [1, 2].

Таблица 1

T, K	293,15	298,15	313,15	323,15	333,15	348,15	353,15	
P, kg/m³	20 г/л	1012,5	1011,2	1005,9	1001,7	996,5	987,9	985,0
	50 г/л	1032,5	1031,2	1025,8	1021,5	1016,4	1007,6	1004,7

Таблица 2

T, K;	P, MPa;	$\rho, \text{kg/m}^3$	20 г/л				T = 423,15				T = 448,15				T = 498,15				T = 523,15			
			P	P	P	P	P	P	P	P	P	P	P	P	P	P	P	P	P	P	P	P
T = 298,15	T = 323,15	T = 348,15	T = 373,15	T = 398,15	T = 423,15	T = 448,15	T = 473,15	T = 498,15	T = 523,15	T = 548,15	T = 573,15	T = 598,15	T = 623,15	T = 648,15	T = 673,15	T = 698,15	T = 723,15	T = 748,15	T = 773,15	T = 803,15	T = 833,15	T = 863,15
39,902	1028,8	39,799	1019,2	1007,1	991,6	973,8	955,9	935,9	915,5	895,0	875,9	855,9	835,9	815,0	795,0	775,0	755,6	735,6	715,5	695,0	675,0	655,0
30,921	1024,7	30,401	1015,2	1003,5	986,5	970,0	950,0	930,0	910,0	890,0	870,0	850,0	830,0	810,0	790,0	770,0	750,0	730,0	710,0	690,0	670,0	650,0
21,699	1020,9	22,140	1011,8	1000,1	983,2	965,9	945,6	925,0	905,7	886,4	866,1	846,8	826,5	806,2	786,0	766,0	746,0	726,0	706,0	686,0	666,0	646,0
13,400	1017,0	13,601	1007,9	1006,0	996,5	980,0	961,6	941,9	922,5	903,8	884,5	865,2	845,9	826,6	807,3	788,0	768,0	748,0	728,0	708,0	688,0	668,0
9,277	1015,1	9,502	1006,1	1005,0	994,9	977,5	958,8	939,1	920,2	901,5	882,8	863,5	844,8	825,1	805,4	786,0	766,0	746,0	726,0	706,0	686,0	666,0
5,147	1013,2	4,901	1004,1	1003,0	991,8	975,6	956,5	937,8	919,1	899,4	880,7	861,6	842,9	823,5	804,8	785,5	766,0	746,0	726,0	706,0	686,0	666,0
9,822	1011,5	0,600	1002,2	1,823	939,3	973,2	953,6	933,9	914,1	894,5	874,8	855,2	835,5	815,8	796,1	776,4	756,7	736,0	716,3	696,0	676,0	656,0
0,1004	0,1004	0,1004	0,1004	0,1004	0,1004	0,1004	0,1004	0,1004	0,1004	0,1004	0,1004	0,1004	0,1004	0,1004	0,1004	0,1004	0,1004	0,1004	0,1004	0,1004	0,1004	

Таблица 3

	T, K	P, MPa	ρ	20 g/dm³
T = 298,15	T = 323,15	T = 348,15	T = 373,15	T = 398,15
39,902 30,789	1047,0 1044,2	39,811 31,138	1038,6 1035,0	1026,2 1021,1
22,217 14,699	1040,6 1037,5	20,960 15,139	1031,5 1028,4	20,899 12,653
10,710 5,724	1035,7 1033,6	11,073 6,240	1026,5 1024,5	1013,9 1011,7
1,251	1031,9	0,822	1022,6	0,99
T = 473,15	T = 498,15	T = 523,15	T = 548,15	T = 573,15
39,901 36,613 32,900	931,5 929,2 926,9	39,999 36,440 32,776	908,0 905,1 902,3	880,1 870 873,9
24,089 13,701	921,0 914,1	23,322 15,833	894,9 888,7	866,6 858,7
6,075 2,251	908,9 906,1	7,557 3,258	881,7 878,5	17,260 4,600
1,507	905,7	2,470	877,9 877,5	846,6 846,0

	T, K	P, MPa	ρ	T = 398,15	T = 423,15	T = 448,15
				39,902 31,121 23,079	39,902 31,199 22,067	39,751 32,002 24,242
				990,2 990,1 986,0	974,0 970,0 965,0	953,7 949,0 944,4
				981,3 14,164 999,0	959,6 12,732 978,8	939,1 15,550 936,6
				997,1 995,1 992,9	977,2 8,651 977,0	930,5 11,222 933,2
				981,9 0,872 0,922	955,1 1,203 0,464	931,1 1,687 0,8654
				974,4 0,2255	952,4	

	T, K	P, MPa	ρ	T = 593,15
				39,893 37,323 34,422
				816,8 813,4 810,0
				782,5 777,9 773,0
				39,850 37,246 34,610
				801,4 828,129 21,260
				27,277 761,1 792,3
				748,5 740,0 15,401
				748 781,0 9,02
				733,5 12,059 11,708
				773,5 8,341 732,7

Количество исследуемой жидкости, заполняющей пьезометр перед началом опытов, определялось по пикнометрическим данным, измеренным с погрешностью $\pm 0,03\%$ (табл. 1).

Измерения $P_s - T_s$ зависимости указанных растворов производились на экспериментальных изотермах при входе в двухфазную область параметров состояния. Экспериментальные данные приведены в табл. 2, 3. Там же приведены давления насыщенных паров и значения плотностей насыщенной жидкости, полученные графической экстраполяцией экспериментальных изотерм на соответствующие давления насыщения при температурах $373,15 \div 598,15$ К (последняя строка).

Анализ полученных данных показал, что изотермы плотностей растворов в зависимости от концентрации (до 50 г/л), включая плотности чистой воды [3] (нулевая концентрация), представляют собой прямые линии до температуры 448 К. С увеличением температуры, изотермы имеют слабую кривизну. При более высоких концентрациях эта зависимость может измениться и выявление ее требует проведения дополнительных исследований.

Термические свойства водных растворов хлористого натрия исследованы различными авторами [4, 5, 6].

В [6] исследование плотности производили при $25 \div 200^\circ\text{C}$ только при 20 атм и концентрации 0,1—1 моль/л. Сопоставление наших данных с данными [6] показало хорошее совпадение. Максимальное расхождение составляет $+0,3\%$ при 200°C и $C=1$ моль/л.

В [4, 5] исследовались входные растворы при концентрациях $C = (2 \div 24)$ (вес. %), при $25 \div 350^\circ\text{C}$ и до давлений 1000 атм. До температур $\sim 150^\circ\text{C}$ и концентраций до 50 г/л расхождение с нашими данными лежит в пределах до $\pm 0,2\%$.

С увеличением температуры и давления расхождения увеличиваются и доходят до $0,7\%$.

Указанные расхождения побудили нас провести контрольные опыты по определению плотности на прецизионной установке [7]. Контрольные измерения при концентрации 200 г/л в интервале температур $175 \div 325^\circ\text{C}$ до 400 бар полностью совпали с полученными ранее данными в пределах погрешности двух экспериментальных установок ($\pm 0,1\%$).

Авторы [4, 5] повторили свои измерения по определению плотности концентратов хлористого натрия на прецизионной установке [7]. Сопоставление наших данных с новыми данными [7] показало очень хорошее согласование. Расхождение во всем исследованном интервале температур, давлений и концентраций до 50 г/л составляет не более $\pm 0,3\%$.

Литература

1. Ахундов Т. С., Иманова М. В., Таиров А. Д.—Докл. АН АзССР, 1983, № 7.
2. Ривкин С. Л., Ахундов Т. С.—Теплоэнергетика, 1962, № 1, с. 57—65.
3. Вукалович М. П., Ривкин С. Л., Александров А. А. Таблицы теплофизических свойств воды и водяного пара.—М.: Изд-во стандартов, 1969, 408 с.
4. Зарембо В. И., Федоров М. К.—ЖПХ, 1975, XL VIII, № 8, с. 1745—1749.
5. Зарембо В. И., Федоров М. К.—ЖПК, 1975, XL VIII, № 9, с. 1949—1953.
6. Ellis A. J. Partial model of alkali chlorides in aqueous solution to 200.—J. chem. Soc., 1936, p. 1579—1584.
7. Львов С. Н., Зарембо В. И., Голяров В. Н.—Геохимия, 1931, № 4, с. 505—516.

Азербайджанский институт нефти и химии им. М. Азизбекова

Поступило 27. X 1983

Т. С. Ахундов, М. В. Иманова, А. Ч. Таиров

НАТРИУМ-ХЛОРУН 20 вә 50 г/л КОНСЕНТРАСИЈАЛЫ СУЛУ
МӘҢЛҮЛЛАРЫНЫН ТЕРМИКИ ХАССӘЛӘРИ

Мәгәләдә бир литр мәңлүлуда 20 вә 50 г натриум-хлор дузу олан сулу мәңлүлүн сыйлыгынын вә дојмуш бухар тәэзигинин тәчрүби үсүлла тәдгигинин иетищеләри верилмишdir. Өлчмәләр 598,15 K вә 40 MPa тәэзигә гәдәр апарылышдыр.

T. S. Akhundov, M. V. Imanova, A. D. Tairov

THERMAL PROPERTIES OF AQUEOUS SOLUTIONS OF SODIUM CHLORATE AT CONCENTRATION OF 20 AND 50 g/l

The results of experimental density and pressure studies of saturated vapour of aqueous sodium chlorate solution containing 20 and 50 gr of salt in a litre of solution are delivered. The measurements are carried on up to 598,15 K and pressure 40 MPa.

АЗӘРБАЙЧАН ССР ЕЛМЛӘР АКАДЕМИЯСЫНЫН МӘРҮЗӘЛӘРИ
ДОКЛАДЫ АКАДЕМИИ НАУК АЗЕРБАЙДЖАНСКОЙ ССР

ТОМ XLII ЧИЛД

№ 1

1986

УДК 678 : 624. 074. 4. 001

БИОМЕХАНИКА

Р. Ю. АМЕНЗАДЕ, А. Н. АЛИЗАДЕ

К ПРОБЛЕМЕ ПОСТРОЕНИЯ ГИДРОДИНАМИЧЕСКОЙ МОДЕЛИ КРУПНЫХ КРОВЕНОСНЫХ СОСУДОВ

(Представлено оакадемиком АН Азербайджанской ССР Ф. Г.Максудовым)

Проблеме математического моделирования динамики крупных кровеносных сосудов как деформируемых оболочек с протекающей жидкостью посвящена довольно обширная литература [1, 2, 3]. Стимулом для исследования являются те обстоятельства, которые могут помочь понять нормальные функции сердечно-сосудистой системы, предсказать реакцию на их изменения и предложить методы хирургического вмешательства. Для этого необходимо создать соответствующую исчерпывающую модель, являющуюся довольно точным имитатором кровеносных сосудов. В этой связи целью данного сообщения является попытка предложить модель участка сосуда, рассматриваемого как неоднородная по толщине замкнутая толстостенная деформируемая оболочка с протекающей в ней жидкостью.

Уравнения движения стенки. Из обширного экспериментального материала следует, что отношение толщины сосудов h к ее максимальному радиусу R порядка $1/6 \div 1/10$, т. е. строго говоря теория тонких оболочек в этом случае непригодна. Поэтому представляется целесообразным вектор перемещения задавать следующими соотношениями

$$\tilde{u}_a = u_a(x^1, x^2, t) + z\psi_{0a}(x^1, x^2, t) + z^2\psi_{1a}(x_1, x^2, t) \quad (1,1)$$

$$\tilde{u}_3 = w(x^1, x^2, t) + z\psi_3(x^1, x^2, t) \quad (1,2)$$

При написании (1, 1) и (1, 2) введены координаты (x^1, x^2, z) , где z —координата по толщине, а x^1 и x^2 —криволинейные координаты срединной поверхности. Знак \sim относится к величинам, определенным в любой точке оболочки, а без \sim к ее срединной поверхности; ψ_{0a} , ψ_{1a} и ψ_3 —сдвиги. Здесь и в дальнейшем будет использована тензорная запись, которая позволит довольно просто получать конкретные уравнения, учитывающие различного рода геометрические несовершенства сосудов, такие, как, например, овальность, искривление, сужение и др. Греческие индексы будут принимать значения 1 и 2. Принято считать, что при пульсации радиальные перемещения стенок сосудов порядка $R/20$, или $R/20h \sim \tilde{u}_3/h \sim 0,3 \div 0,5$. Таким образом, для описания ряда эффектов, связанных с интенсивным увеличением расхода крови, необходим также учет геометрической нелинейности в радиальном направлении, что эквивалентно следующему неравенству $|\tilde{u}_3| \gg |\tilde{u}_a|$. Прейдем теперь к обсуждению вопроса,

связанного с выводом соответствующих компонентов тензора деформации. Эта необходимость вызвана тем, что в случае толстостенности недопустимо введение предположения о неизменности метрики $zb_{\alpha\beta} \ll 1$, $b_{\alpha\beta}$ — коэффициенты второй квадратичной формы) по координате z для базиса криволинейной системы координат, связанной с оболочкой. Иными словами, базис рассматриваемой оболочки не деформирован базису его срединной поверхности. Это разносильно тому, что базис произвольной точки оболочки должен быть определен через базис его срединной поверхности следующим векторным уравнением

$$\vec{R}_a = \vec{r}_a + z\vec{n}, \quad \vec{R}_3 = \vec{n}, \quad (1, 3)$$

где \vec{r} — вектор точки срединной поверхности, а \vec{n} — нормаль. В отличие от теории тонких оболочек, величина z в (1, 3) сохраняется. Однако последнее, в силу разложений (1, 1) и (1, 2) не исключает правомочности представления вектора перемещения произвольной точки оболочки в виде

$$\vec{u} = u^1 \vec{r}_a + u^3 \vec{n} \quad (1, 4)$$

Далее, произведя выкладки, аналогичные [4], после ряда преобразований для компонент тензора деформации будем иметь

$$\begin{aligned} \epsilon_{\alpha\beta} &= \frac{1}{2} \left[(\tilde{u}_{,\beta} - u^3 b_{\beta}) (q_{\gamma\alpha} - z b_{\alpha}^1 q_{\gamma\alpha}) + (\tilde{u}_{,\alpha} - u^3 b_{\alpha}) (q_{\beta\alpha} - z b_{\beta}^1 q_{\gamma\alpha}) + \right. \\ &\quad \left. + \left[(\tilde{u}^3)^2 b_{\alpha}^1 b_{\beta} + \frac{\partial \tilde{u}^3}{\partial x^2} \frac{\partial \tilde{u}^3}{\partial x^3} \right] \right] \quad (1, 5) \\ \epsilon_{32} &= \frac{1}{2} \left[\frac{\partial \tilde{u}^1}{\partial z} (q_{\gamma\alpha} - z b_{\alpha}^1 q_{\gamma\alpha}) + b_{\gamma\alpha} u^1 + \frac{\partial \tilde{u}^3}{\partial x^2} + \left(\frac{\partial \tilde{u}^3}{\partial z} \frac{\partial \tilde{u}^3}{\partial x^2} \right) \right] \\ \epsilon_{33} &= \frac{1}{2} \left[2 \frac{\partial \tilde{u}^3}{\partial z} + \left(\frac{\partial \tilde{u}^3}{\partial z} \right)^2 \right] \end{aligned}$$

Здесь и в дальнейшем запятая означает ковариантную производную. Теперь необходимо в полученные соотношения подставить разложения (1, 1) и (1, 2) и удерживать члены со степенями z^3 , так как линейные части (1, 5) определены с той же точностью. Окончательно получаем, что, хотя вектор перемещения определен с точностью до z^2 , компоненты тензора деформации определяются с точностью до z^3 . Последнее обстоятельство предопределялось равенством (1, 3). Полученные разложения по z приводят к необходимости для физически линейных законов компоненты тензора напряжения записывать в виде

$$\begin{aligned} \sigma^{33} &= N_0^{33} + z N_1^{33} + z^2 N_2^{33} + z^3 N_3^{33} \\ \sigma^{32} &= Q_0^{32} + z Q_1^{32} + z^2 Q_2^{32}; \quad \sigma^{33} = \sigma = \text{const} \end{aligned}$$

Для получения физических соотношений и уравнений движения воспользуемся вариационным принципом [5], возможность применения которого для расчета неоднородных по толщине оболочек показана в [9]. В этом функционале независимыми варьируемыми величинами являются u_a , w , ψ_{0a} , ψ_{1a} , ψ_3 , N_0^{33} , N_1^{33} , N_2^{33} , Q_0^{32} , Q_1^{32} и Q_2^{32} . Известно [7], что нелинейность упругих свойств материала стенки в физиоло-

гическом диапазоне незначительно сказывается на поведении сосуда при распространении пульсовой волны. Поэтому закон упругости запишем в виде

$$\epsilon_{ij} = A_{ijklm}(x^1, x^2, z) \sigma^{lm},$$

а плотность материала оболочки ρ также будем считать функцией x^1, x^2, z . Отметим, что нейрогенные и гуморальные факторы в данной модели не учитываются, так как они в конечном итоге влияют на механические параметры системы.

Наконец, проделав выкладки, подобные [8], можно получить нелинейные уравнения движения и физические соотношения для неоднородной линейно-упругой анизотропной толстостенной оболочки. Следует заметить, что даже в случае тонкостенности они имеют весьма сложный вид [8]. Используя функционал [9], аналогично можно вывести физические соотношения для неоднородной линейно вязко-упругой оболочки, что весьма важно, так как вязко-упругие свойства стенок оказывают большее влияние, чем вязкость жидкости, на скорость затухания импульса, расход жидкости, перемещения стенок и давление. Необходимо подчеркнуть, что при получении физических соотношений указанными вариационными методами от механических характеристик требуется их интегрируемость. Таким образом, случай кусочного включения (в частности, многослойности оболочки [7]) нужно моделировать введением функций с интегрируемыми особенностями.

Уравнения движения жидкости. Исследования показали, что кровь является суспензией форменных элементов — эритроцитов, лейкоцитов и тромбоцитов, находящихся в биологической плазме. Однако механическое поведение крови определяется эритроцитами, составляющими почти половину ее объема, и плазмой. В прупых кровеносных сосудах при малых скоростях течения влияние неоднородной структуры незначительно, что объясняется малым размером включений [10]. В этой связи обычно кровь моделируют однородной несжимаемой ньютоновой жидкостью. С увеличением скорости течения начинает играть роль не только размер включений, но и их плотность, что приводит к „расслоению“ в области движения. Поэтому в качестве физической модели крови уместно принять неоднородную несжимаемую вязкую ньютонову жидкость, а ее течение считать ламинарным. Для описания движения жидкости введем криволинейную систему координат y^i ($i=1, 3$). Здесь y^1 и y^2 — соответственно продольная и азимутальная координаты, а y^3 — от оси течения. Заметим, что координаты x^1 и x^2 совпадают с y_1 и y^2 только в том случае, когда линии тока параллельны координатным осям оболочки (например, в слабоискривленной цилиндрической [11]). Используя общепринятые обозначения, во введенной системе координат определяющие соотношения и уравнения движения неоднородной среды запишем в виде [12]

$$p^{kj} = -pg^{kj} + \mu(y^1, y^2, y^3) g^{kp} g^{jm} (v_{m,n} + v_{n,m})$$

* Модели жидкости с моментными напряжениями не привели к качественному новым результатам, а эффекты от них для крупных кровеносных сосудов [2] незначительны.

$\rho_0(y^1, y^2, y^3) \frac{dv^k}{dt} = p_k$; $d/dt = \partial/\partial t + v^k \Delta_k$ — производная Стокса. В этом случае полная система уравнений гидродинамики примет вид

$$\rho_0 \frac{dv^k}{dt} = -g^{kj} \nabla_j p + \mu \Delta v^k + \frac{\partial \mu}{\partial y^l} (\nabla^k v^l + \Delta^j v^k)$$

$$\nabla_m v^m = 0; \quad \frac{d\rho_0}{dt} = 0.$$

Кинематические граничные условия. На границе раздела жидкости и оболочки необходимо задавать условия сопряжения, которые заключаются в равенстве скоростей движения стенки и жидкости. В силу (1, 1) и (1, 2) они записутся следующим образом:

$$\frac{du_a}{dt} \Big|_{z=-h/2} = \left(\frac{du_a}{dt} - \frac{h}{2} \frac{d\psi_{02}}{dt} + \frac{h^2}{4} \frac{d\bar{\psi}_{12}}{dt} \right) \Big|_{z=-\frac{h}{2}} = v_a|_{y^3=f(y^1, y^2)}$$

$$\frac{du_3}{dt} \Big|_{z=-h/2} = \left(\frac{dw}{dt} - \frac{h}{2} \frac{d\psi_3}{dt} \right) \Big|_{z=-h/2} = v_3|_{y^3=f(y^1, y^2)}.$$

Здесь $y^3=f(y^1, y^2)$ — уравнение поверхности $z=-h/2$ в системе координат y^i . Кроме того, на оси $y^3=0$ должно выполняться условие ограниченности искомых гидродинамических величин.

Усилия, действующие на стенку. На оболочку вдоль осей x^1 , x^2 и z действуют усилия T^1 , T^2 и T^3 , наличие которых обусловлено гидродинамическим воздействием. Они определяются через вычисленные на поверхности контакта P^{ij} по формулам

$$T^i = P^{ij} e_i, \text{ где } e_i = \cos(\bar{n}, \bar{e}_i), \text{ а } e_i — \text{орт оси } y^i.$$

Действие окружающей среды можно моделировать системой сил, заданных на внешнем контуре оболочки $z=h/2$.

Заключение. Таким образом, уравнения движения оболочки и жидкости с учетом кинематических граничных условий и усилий, действующих на оболочку, описывают динамическое поведение крупных кровеносных сосудов. Отметим, что абсолютное большинство моделей сосудов являются частными случаями предложенной здесь модели. Совместное решение уравнений гидроупругости может быть осуществлено применением комбинации численных и аналитических методов. Понимая, что вследствие замкнутости артериальной системы в ней существуют волны, распространяющиеся в обоих направлениях, и имея в виду экспериментальные данные о характере изменения осредненного пульсирующего давления и расхода жидкости в начальном сечении сосуда, можно проследить за распространением пульсовой волны, определить давление, расход и перемещения стенок в любом фиксированном сечении. Как было отмечено в [7, 13, 14], для космической физиологии представляет интерес выявить влияние длительных или ударных нагрузок на процесс кровообращения. В этом случае в уравнения движения необходимо ввести массовые силы. Дальнейшие исследования должны проводиться совместно с проведением соответствующих экспериментов с целью выявления механических и реологических свойств крупных сосудов и крови.

Литература

1. Педли Т. Гидродинамика крупных кровеносных сосудов. —М.: Мир, 1933, с. 400.
2. Гидродинамика кровообращения.—М.: Мир, 1971, с. 269.
3. Каро К. Педли Т. и др. Механика кровообращения.—М.: Мир, 1931, с. 624.
4. Вольмир А. С. Нелинейная динамика пластинок и оболочек.—М.: Наука, 1972, с. 432.
5. Амензаде Р. Ю., Асланов Г. М.—Докл. АН СССР, 1978, т. 239, № 6, с. 1302—1304.
6. Амензаде Р. Ю., Ализаде А. Н., Преображенский И. Н.—МКМ, № 3, 1983, с. 546—548.
7. Вольмир А. С., Герштейн М. С.—МП, № 2, 1970, с. 373—379.
8. Амензаде Р. Ю., Ализаде А. Н., Дамиров Н. Г.—В кн.: Материалы второй Всесоюзной научно-технической конф. «Прочность, жесткость и технологичность изделий из композиционных материалов», т. 1, 1934, с. 35—40.
9. Амензаде Р. Ю., Ализаде А. Н.—Докл. АН СССР, т. 30, 1976, № 6, с. 1303—1305.
10. Бранков Г. Основы биомеханики.—М.: Мир, 1981, с. 254.
11. Амензаде Р. Ю.—Докл. АН АзССР, т. 30, 1974, № 10, с. 12—16.
12. Седов Л. И. Механика сплошной среды.—М.: Наука, т. I, 1970, с. 492.
13. Перин В. В., Баевский Р. М., Волков Ю. Н., Газенко О. Г. Космическая кардиология.—Л., 1967.
14. Амензаде Р. Ю.—Докл. АН СССР, т. 241, 1978, № 1, с. 44—47

АГУ им. С. М. Кирова

Поступило 19. IV 1985

Р. Ю. Эмэнзадэ, А. Н. Элизадэ

БЕЙҮК ГАН ДАМАРЛАРЫНЫН ҚИДРОДИНАМИК МОДЕЛИНИН ГУРУЛМАСЫНА ДАИР

Бейүк ган дамарларынын бир ғиссәсінде сұхылмаған гејри-бирчынсі Нұјтон маңесінде ахан вә деформасияланан галындиварлы өртүк кими баҳараг қидромеханик модели тәкеліп едилір.

Бу модель әсасан кинематик сәрігед шәртләри айдашылыштырылып вә ган дамарынын диварына тә'сир едән гүввәләр үчүн дүстүрлар чыгарылып.

R. Yu. Amenzade, A. N. Alyzade

TO THE CONSTRUCTION PROBLEM OF THE BIG BLOOD VESSELS HYDRODYNAMICAL MODEL

The model of big blood vessels considered as nonhomogeneous thick deformable shell with flowing nonhomogeneous nonsqueezable Newtonian liquid is proposed. On base of this model the kinematic boundary conditions are discussed and formulas for efforts acting to the wall are deduced.

Акад. Г. Б. ШАХТАХТИНСКИЙ, Р. Н. ЮСУБОВ, Ф. А. ГАДЖИЕВ,
Г. М. РЗАЕВ, Ч. Д. ЭФЕНДИЕВ, Ф. Г. АЛИЕВ

ВЫЩЕЛАЧИВАНИЕ ОБОЖЖЕННОГО КОЛЛЕКТИВНОГО КОНЦЕНТРАТА РУД

Гидрометаллургическая технология имеет большие возможности при решении проблемы комплексного использования сырья и охраны окружающей среды, особенно при переработке полиметаллического сырья [1, 2]. В этом отношении целесообразно перерабатывать полиметаллические руды по этому направлению.»

Полиметаллические руды относятся к труднообогатимым, поэтому предпочтение при его переработке отдается коллективному концентрату или самой руде.

Работ, посвященных переработке коллективного концентрата, в литературе мало. В зависимости от характера исходного сырья применяют различные методы: электротермический, вельцевания, взвешенной плавки, а в гидрометаллургии — сульфатизация, автоклавный и солянокислый методы переработки коллективных концентратов [1, 3]. Из указанных методов предпочтение отдается гидрометаллургической технологии переработке этого сырья при атмосферном давлении в обычной аппаратуре. Процесс выщелачивания проводился раствором разбавленной серной кислоты и по классификации Е. В. Маргулиса он относится к обычному выщелачиванию [5].

Данная работа посвящена изучению условий извлечения основных компонентов в раствор, из ранее гранулированного обожженного коллективного концентрата руд [4] с последующим установлением оптимального режима процесса выщелачивания.

Первая серия опытов посвящена изучению влияния концентрации серной кислоты (50—200 г/л) на степень извлечения меди, цинка и железа в раствор. Результаты анализов приведены на рис. 1. Как видно из кривых, при переходе концентрации серной кислоты с 50 на 1000 г/л, степень извлечения цинка и меди в раствор повышает-

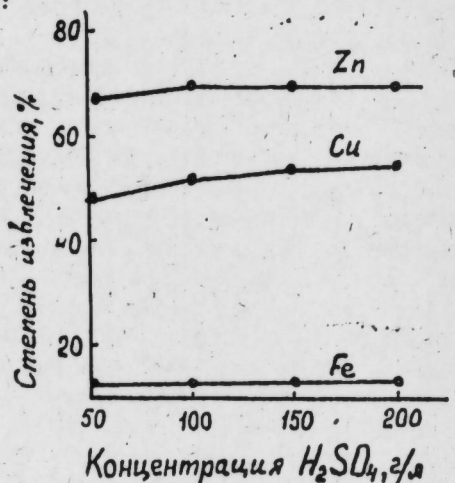


Рис. 1. Влияние концентрации серной кислоты на степень извлечения компонентов в р-р (т-ра—25°C; время—60 мин, Т:Ж=10).

ся незначительно, а при 200 г/л почти не влияет. Она остается на том же уровне.

На основе этих опытов можно сказать, что увеличение концентрации серной кислоты от 100 до 200 г/л при комнатной температуре почти не влияет на степень извлечения основных компонентов в раствор. Исходя из этого, далее изучалось влияние температуры на степень извлечения металлов в процессе выщелачивания. Сначала изучалось влияние нагрева раствора при концентрации кислоты 150 г/л. Результаты этих исследований (рис. 2, кр. 1, 2, 3), показали, что с повышением температуры до 90°C степень извлечения Cu, Zn, Fe увеличивается и достигает 68, 72 и 35% соответственно.

Таким образом, предварительными опытами установлено, что при выщелачивании обожженного концентрата раствором серной кислоты концентрацией 150 г/л, с повышением температуры до 90°C не удается достичь высокого извлечения меди и цинка в раствор. В этой связи нами исследовалось влияние температуры при выщелачивании обожженного материала более концентрированным раствором серной кислоты, т. е. с 200 г/л. Из кр. 4, 5, 6 (рис. 2) видно, что при выщелачивании раствором кислоты указанной концентрации степень извлечения металлов после температуры 60°C сильно увеличивается и при 90°C достигает 88% Cu, 82% Zn, 50% Fe. Однако повышение концентрации кислоты больше 200 г/л при температуре 90°C увеличивает переход железа в раствор, что является нежелательным, поэтому 200 г/л серной кислоты в наших случаях считаем оптимальными.

Далее исследовалось влияние продолжительности выщелачивания на степень извлечения меди и цинка в раствор. Опыты проводились при кислотности раствора 200 г/л, т-ре 90°C, отношении Т:Ж смеси 1:10. Результаты этих исследований приведены на рис. 3. Из кривых видно, что с повышением времени в интервале 60—180 мин степень извлечения меди, цинка и железа увеличивается, при 120 мин достигает 98% Cu, Zn, а железа—60%. При дальнейшем продлении продолжительности выщелачивания степень извлечения указанных металлов почти не изменяется (кроме железа, а это не желательно), поэтому 120 мин является оптимальным временем.

Наконец, изучалось влияние отношения Т:Ж смеси на степень перехода компонентов в раствор. Исследование проводилось при найденных оптимальных условиях и результаты приведены на рис. 4.

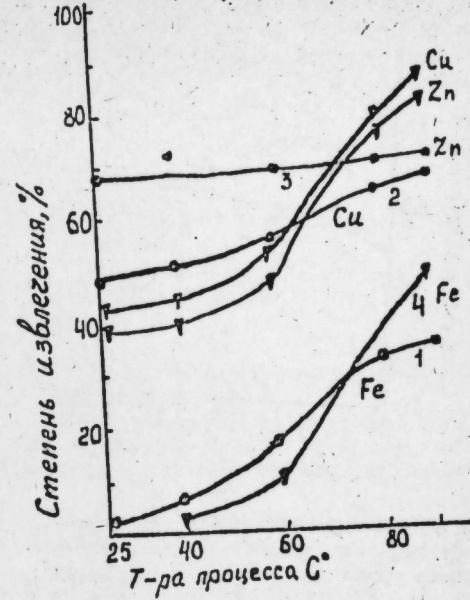


Рис. 2. Зависимость степени извлечения меди, цинка и железа от т-ры при выщелачивании р-ром серной к-ты 100 и 200 г/л.
Время выщелачивания—60 мин.

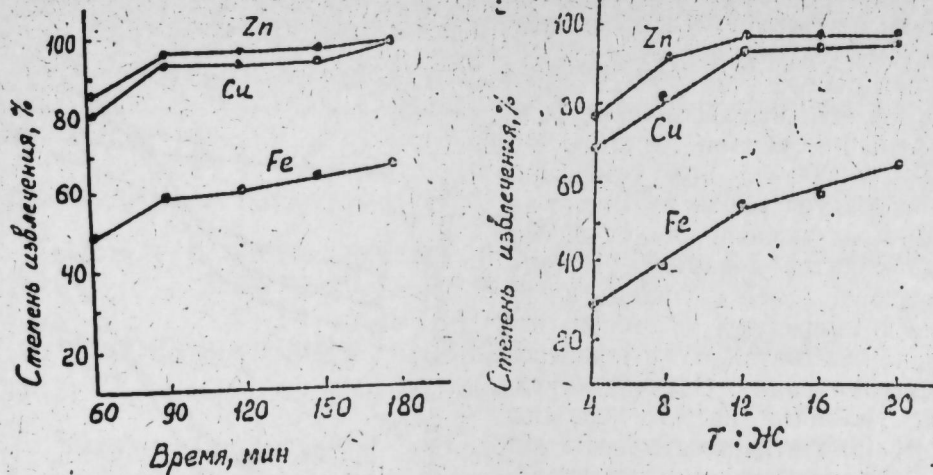


Рис. 3. Влияние времени выщелачивания на степень извлечения меди, цинка и железа (т-ра р-ра 90°C, конц. к-ты 200 г/л, Т:Ж=10)

Рис. 4. Влияние соотношения Т:Ж на степень извлечения цинка, меди и железа (т-ра р-ра 90°C, конц. к-ты 200 г/л, время—120 мин) в р-р.

Отношение Т:Ж смеси изменялось от 1:4 до 1:20 и выяснилось, что при отношении 1:10÷12 происходит максимальный переход меди и цинка в раствор.

В результате выщелачивания обожженного коллективного концентрата руд при оптимальных условиях (концентрация серной кислоты — 200 г/л, т-ра р-ра — 90°C, продолжительность выщелачивания — 120 мин, отношение Т:Ж 1:10) получен сернокислотный раствор, содержащий (г/л): меди — 2,55, цинка — 21,68, железа — 16,35. Степень извлекаемости указанных компонентов составляет: меди — 98,4%, цинка — 98,2%, железа — 74,3%.

Таким образом, установлено, что сернокислотным выщелачиванием при найденных оптимальных условиях медь и цинк практически полностью извлекаются из обожженного коллективного концентрата в раствор. Это в целом положительно сказывается на конечных результатах переработки с извлечением ценных компонентов.

Выводы

1. Определены условия выщелачивания обожженного коллективного концентрата раствором серной кислоты 200 г/л, т-ра р-ра 90°C, продолжительность выщелачивания — 120 мин, соотношение Т:Ж 1:10.
2. Установлено, что при оптимальных условиях степень извлечения Cu, Zn достигает соответственно 98,41, 98,24%.

Литература

1. Снурников А. П. Комплексное использование сырья в цветной металлургии.—М.: Металлургия, 1977, 271 с.
2. Цветная металлургия.—М.: Наука, 1976, с. 224—227.
3. Цефт А. Л., Ермилов В. В., Тараскин Д. А. и др. Технологическая схема гидрометаллургической переработки сульфидного коллективного концентрата.—

Труды Ин-та металлургии и обогащения АН Каз. ССР, т. XXX, 1969, с. 65—72.
4. Маргулис Е. В.—Изв. вузов "Цветная металлургия", 1983, №1, с. 44—54. 5. Шахтахтинский Г. Б., Юсубов Р. Н., Гаджиев Ф. А., Рзаев Г. М., Эфендиев Ч. Д.—Тез. республиканск. научно-технич. конференции по охране окружающей среды, 1982, с. 15—16.

Институт неорганической и физической химии АН АзССР

Поступило 23. I 1985

h. Б. Шахтахтински, Р. Н. Юсубов, Ф. А. һачыјев, h. М. Рзаев,
Ч. Ч. Эфэндиев, Ф. Г. Элиев

КОЛЛЕКТИВ КОНСЕНТРАТЫ ІАҢЫҒЫНЫН МӘЙЛУЛА ЖҮҮЛМАСЫ

Мәгаләдә җандырылымыш коллектив концентратынын сульфат туршусу илә мәйлұла жүүлуб чыгарылмасынын оптималь шәралитидән даңышылып.

Мүәjjән олумышшудур ки, йаңығы 200 г/л сульфат туршусу мәйлұлу илә, 90°C температурда, 2 saat мүддәтиндә, бәрк вә маје гарышыларынын 1:10 нисбәти шәралитидә е'мал етдикдә, мис 98,4%, синк 98,2%, дәмир исә 60,0% мәйлұла кечир.

H. B. Shakhtakhtinski, R. N. Yusubov, F. A. Hajiyev,
H. M. Rzayev, Ch. Dj. Afandiyev, F. C. Aliyev

LEACHING OF ROASTED COLLECTIVE CONCENTRATE

The optimum conditions of leaching of collective concentrate of sulphuric acid are stated in this article.

It is found that at processing of the roasted concentrate by the concentration of 200 gr/l of sulphuric acid at the temperature of 90°C during 2 hours the conditions of solid-to-liquid ratio are 1:10, 98.4% Cu.

Ю. А. ЛАЙНЕР, Т. Д. ИСРАФИЛОВ, Ф. Г. ГАХРАМАНОВ, И. З. ЗАКИЕВ

КОНВЕРСИЯ СУЛЬФАТНЫХ СОЛЕЙ РАСТВОРОМ АЛЮМИНАТА КАЛИЯ

(Представлено академиком АН Азербайджанской ССР Т. Н. Шахтахтинским.

Алунит—комплексное сырье, целесообразность использования которого зависит от экономичности переработки и использования продуктов. В экономическом балансе технологии комплексной переработки алунитов существенное место занимает экономика использования и переработки щелочных сульфатов алунита. От того, насколько экономически эффективно перерабатываются и используются щелочные сульфаты алунита в народном хозяйстве в значительной степени зависит технико-экономическая эффективность комплексной переработки алунита в целом.

Смесь щелочных сульфатов алунита, выделяемая при упарке оборотных алюминатных растворов глиноземного производства, на Кировабадском алюминиевом заводе используется в двух целях: одна часть щелочных сульфатов идет для компенсации потерь каустической щелочи в технологическом цикле глиноземного производства путем термической каустификации во вращающихся печах по методу Пенякова, остальная часть сульфатной смеси перерабатывается на сульфат калия и раствор NaOH методом конверсии в KOH



Каустификация сульфатов по методу Пенякова экономически не оправдана и связана с большими производственными и энергетическими затратами. Кроме того, она способствует накоплению калийной щелочи в алюминатных растворах, что приводит к целому ряду дополнительных осложнений в технологических процессах глиноземного цеха.

1. Уменьшается растворимость сульфатных солей в алюминатных растворах, что приводит к выпадению последних вместе с гидратом при выкручивании. Поэтому алюминатные растворы разбавляют на КирАзе до 95 г/л Na₂O_k вместо проектной концентрации 125 г/л Na₂O_k. Это приводит к увеличению потоков растворов глиноземного производства на всех основных гидрохимических переделах по сравнению с проектной схемой, а также к росту количества упариваемой воды.

2. В результате увеличения удельного потока растворов мощность технологических переделов глиноземного производства уменьшается по сравнению с проектной.

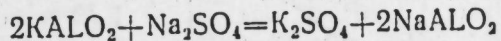
3. Увеличивается растворимость SiO₂ в алюминатных растворах. По сравнению с чисто натриевым алюминатным раствором, присутст-

вие в растворе до 30% калийной щелочи повышает равновесную концентрацию SiO₂ в 1,5 раза, а накопление ее в растворе до 60%—повышает концентрацию в 2 раза.

Щелочные сульфаты, выделяемые из алюминатного раствора при комплексной переработке алунитов, содержат до 60—70% сульфата калия, что предопределяет целесообразность переработки этих сульфатов полностью на сульфат калия, являющийся хорошим удобрением для сельского хозяйства, особенно для ценных субтропических культур.

Наша страна располагает запасами природного сырья для производства сульфата калия (на Западной Украине—полиминеральные сульфатно-калийные руды Прикарпатья и полигалиты). Однако переработка этих руд связана со значительными эксплуатационными затратами. Наиболее перспективными источниками сырья, из которых может быть организовано производство самого дешевого сульфата калия в нашей стране, являются щелочные сульфаты алунитов, выделяемые из упаренных алюминатных растворов глиноземного производства при комплексной переработке алунитов.

При усовершенствованном варианте, разработанном Московским институтом стали и сплавов и Институтом металлургии им. А. А. Байкова АН СССР, где предусматривается сернокислотная ветвь, после выщелачивания квасцовог спека получается раствор алюмината калия, который направляют на конверсию сульфата натрия из основной ветви



Переработка сульфатной смеси на сульфат калия по этому способу сводится к двухкратной конверсии сульфатной смеси раствором алюмината калия из сернокислотной ветви путем репульпации в мешалках по противоточной схеме при температуре около 60°C.

Раствор NaOH (с содержанием 78,5% Na₂O), полученный в результате конверсии сульфатной смеси раствором KALO₂ из сернокислотной ветви, используется в глиноземном цехе для компенсации производственных потерь каустической щелочи. Сульфат калия после второй стадии конверсии с целью отмычки от щелочи промывается путем орошения горячим раствором сульфатных солей при фильтрации. Отмытый сульфат калия после фильтрации сушится и поступает на склад как готовый продукт с содержанием 95,5—98,5%.

Для определения оптимальных условий переработки сульфатов по этому методу нами были выполнены лабораторные исследования по изучению закономерности замещения калия в растворе натрием из сульфатной смеси в зависимости от перечисленных факторов:

1. Влияние количества молей K₂O в исходном растворе KALO₂ (K₂O_p) на 1 моль Na₂O в исходной сульфатной смеси (рис. 1)

$$K = \frac{\text{K}_2\text{O}_p}{\text{Na}_2\text{O}_{\text{сси}}},$$

где K₂O_p—количество молей K₂O в исходном растворе
Na₂O_{сси}—количество молей Na₂O_{сси} в исходной сульфатной смеси.

2. Влияние изменения молярного соотношения Na₂O и K₂O в исходном растворе (рис. 2) [1].

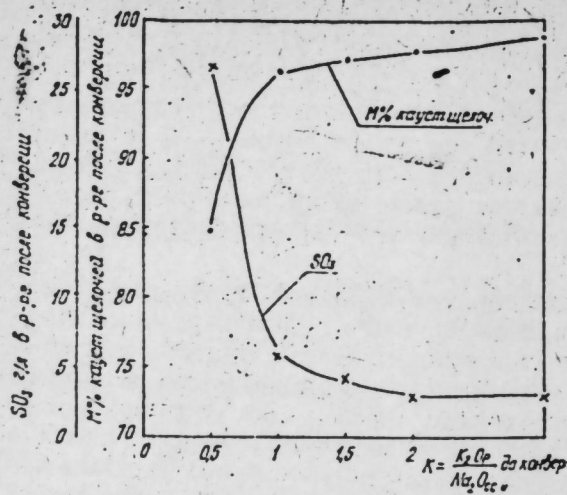


Рис. 1. Влияние исходного отношения $K = \frac{K_2O_p}{Na_2O_{cc}}$ на молярную долю каустической щелочи и количество SO_3 после конверсии.

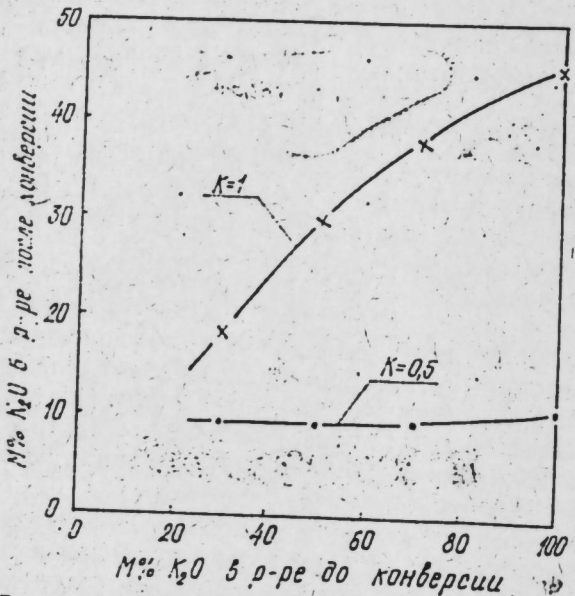


Рис. 2. Влияние молярной доли K_2O в исходном р-ре на молярную долю K_2O в р-ре после конверсии.

При исследовании перечисленных факторов на результат конверсии кроме изучаемого фактора, все остальные остаются постоянными и имеют следующие значения:

1. Отношение $K = \frac{K_2O_p}{Na_2O_{cc}} = 1$
2. Концентрация K_2O в исходном растворе — 200 г/л.
3. Т-ра обработки — 60°C.
4. Продолжительность конверсии — 60 мин.
5. Каустический модуль исходного раствора $\alpha = 2$.
6. Молярная доля K_2O в исходном растворе — 100%.

В результате исследований влияния перечисленных факторов на степень замещения калия в растворе натрием из сульфатной смеси получены данные, показывающие, что двухстадийной конверсии сульфатной смеси КирАза раствором алюмината калия получен практически чистый сульфат калия и раствор алюмината, содержащий 78,5% Na_2O и 21,5% K_2O .

Литература

Лайнер А. И., Лайнер Ю. А., Исрафилов Т. Д. Конверсия сульфата натрия раствором алюмината калия. — Изв. высших учебн. заведений. Цветная металлургия 1976, № 5.

АЗПИ им. Ч. Ильдрыма

46

Ж. А. Лайнер, Т. Д. Исрафилов, Ф. Г. Гәһрәманов, И. З. Зәкиев

СУЛФАТ ДҮЗЛАРЫНЫН КАЛИУМ-АЛУМИНАТ МӘҢЛУУЛУ ИЛЭ КОНВЕРСИЯСЫ

Мэгалаадэ Кировабад алуминиум заводунда аралыг мәңсул кими алынаш Na_2SO_4 вә K_2SO_4 дүзлары гатышыбыдан калиум-алуминат мәңлүлүк илэ конверсија етмәккө гәләви ($NaOH$) вә күбәр (K_2SO_4) алмаг үсүлүнүн арашдырылмасындан данышылым. Апарталан арашдырмалар көстәрир ки, бу үсүлла тәмиз күбәр вә 78,5% Na_2O , 21,5% K_2O тәркиби гәләви мәңлүлүк алмаг олар.

Yu. A. Lainer, T. D. Israfilov, F. G. Gahramanov, I. Z. Zakiyev

THE CONVERSION OF SULFATES WITH POTASSIUM ALUMINATE

By the conversion of potassium aluminate with the mixtures of sodium sulfates, the way of obtaining acrimonious ($NaOH$) and potash fertilizers (K_2SO_4) is studied in Kirovabad aluminum plant. Na_2SO_4 (sodium sulfate) and K_2SO_4 (potassium sulfate) are obtained here as the intermediate products.

The investigations show that it is possible to obtain the pure and acrimonious (78.5% Na_2O , 21.5% K_2O) fertilizers by this way.

Поступило 4. 1 1983

Ф. В. АЛИЕВ, Э. Н. АМИРБЕКОВ, А. Д. КУЛИЕВ, В. Я. ДАНИЮШЕВСКИЙ,
В. И. ЯКЕРСОН

ИССЛЕДОВАНИЕ ФАЗОВЫХ ПРЕВАРАЩЕНИЙ В МАГНИЙ-ЦИНК-ФЕРРИТНЫХ, МАГНИЙЖЕЛЕЗОАЛЮМИНИЕВЫХ И ЦИНКЖЕЛЕЗОАЛЮМИНИЕВЫХ КАТАЛИЗАТОРАХ

(Представлено зәйнәткүй АН Азәрбайджанской ССР Т. Н. Шихматинским)

Железосодержащие катализаторы, в частности ферритные, обладают высокой активностью в реакциях парциального окисления.

В настоящей работе была поставлена задача изучения механизма формирования магний и цинкжелезосодержащих катализаторов и изменений, происходящих в процессе реакции.

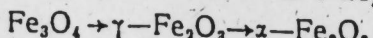
Магний- и цинкферритные катализаторы синтезированы для процесса окислительного дегидрирования бутенов и обладают в данной реакции гораздо большей активностью и селективностью, чем другие окисные контакты.

Исследование, проведенное методом рентгенофазного анализа и ИК-спектроскопии [1], показывает, что свежеприготовленные магний и цинкжелезные катализаторы без носителя, полученные совместным осаждением оксалатов соответствующих металлов [2], состоят из ферритов Mg или Zn, α -Fe₂O₃ (в случае катализатора ZnO-Fe₂O₃) и MgO (в случае катализатора MgO-Fe₂O₃).

Для выявления фазовых превращений, происходящих в Mg и Zn-ферритных катализаторах при обработке их в реакционной (смесь бутенов + O₂+H₂O с объемным отношением 1:1:20 в течение 3 ч при 400–500°C) и восстановительной средах (смесь бутенов—3 ч при 400–500°), был проведен термографический анализ.

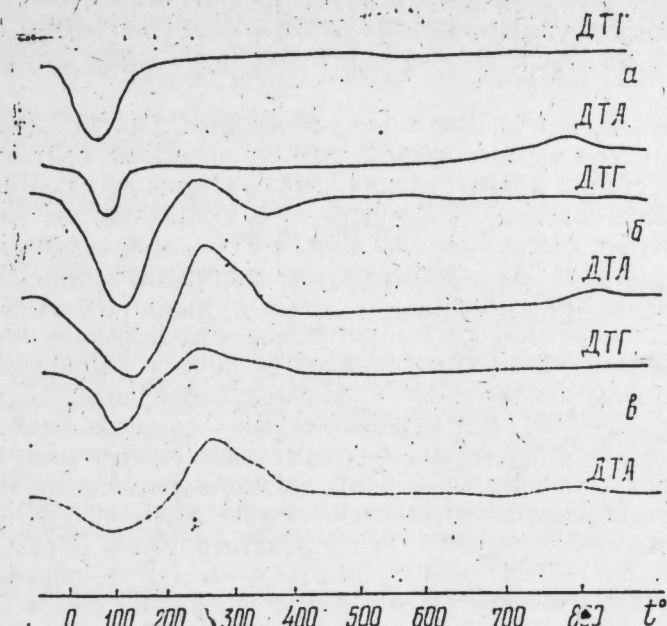
На дериватограммах катализаторов ZnO-Fe₂O₃ (рис. 1), обработанных реакционной смесью, проявляются экзоэффекты при 250–270° (с увеличением веса), 340–360° (с потерей веса) и 520° (без изменения веса образца).

Эффекты при 250–270 и 520° связаны с переходами:



соответственно [3], а эффект при 340–360°—с удалением кокса, образующегося в результате обработки катализатора реакционной смесью

Обработка образцов MgO-Fe₂O₃ и ZnO-Fe₂O₃ смесью бутенов приводит к появлению на дериватограммах этих образцов дополнительного экзотермического пика при 340°, сопровождающегося увеличением веса. Этот интенсивный пик может быть связан с окислением восстановленного при обработке бутенами железа, входящего в состав ферритной фазы.



Дериватограммы ZnO-Fe₂O₃: а—до обработки; б—после обработки реакционной смесью; в—после оработки смесью бутенов.

В ИК-спектре катализатора ZnO-Fe₂O₃ присутствуют полосы поглощения 338, 420 и 555 см⁻¹, а в ИК-спектре MgO-Fe₂O₃-полосы при 440 и 595 см⁻¹.

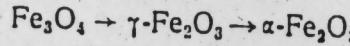
Согласно [4, 5], полосы поглощения 420, 555 и 440, 595 см⁻¹ следует отнести к колебаниям в [MO₆], соответственно в ферритах цинка и магния, а полосу 338 см⁻¹—к колебаниям [MO₄] в феррите цинка. После обработки катализаторов смесью бутенов полосы поглощения в ИК-спектре при 420, 555 см⁻¹ (ZnO-Fe₂O₃) и 440 и 595 см⁻¹ (MgO-Fe₂O₃) смещаются в низкочастотную область на 20 см⁻¹, а полоса при 338 см⁻¹ не меняет своего значения. Такое смещение может быть связано с восстановлением железа, находящегося в ферритах магния и цинка в октаэдрической координации. Действительно, поскольку ионный радиус Fe³⁺ (0,67 Å) меньше ионного радиуса Fe²⁺ (0,83 Å), то при замене в структуре феррита Fe³⁺ на Fe²⁺ полосы поглощения, соответствующие колебаниям связи Fe—O, должны сдвигаться в сторону меньших частот.

Таким образом, в состав магний- и цинкжелезных катализаторов, полученных осаждением через оксалаты с последующим прокаливанием при 500° и характеризующихся составом MgO-Fe₂O₃=2,65:1 и ZnO-Fe₂O₃=0,86:1 (мольные отношения), входят шпинельные фазы. Избыток окиси магния в магнийжелезных по сравнению со стехиометрическим предопределяет появление фазы MgO, а избыток Fe₂O₃ в цинкжелезных катализаторах—фазы α -Fe₂O₃. В восстановительных условиях фаза α -Fe₂O₃ переходит в фазу Fe₃O₄. Восстановительная среда в первую очередь затрагивает ионы трехвалентного

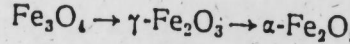
железа, находящиеся в ферритах магния и цинка в октаэдрической координации по кислороду с переходом их в ионы двухвалентного железа.

В случае магний- и цинкжелезалюминиевых катализаторов, полученных пропиткой промышленной $\gamma\text{-Al}_2\text{O}_3$ нитратами соответствующих металлов на стадии приготовления, наблюдаются фазы $\alpha\text{-Fe}_2\text{O}_3$, MgO , MgAl_2O_4 и ZnO , ZnAl_2O_4 . Обработка этих катализаторов реакционной смесью приводит к исчезновению фазы $\alpha\text{-Fe}_2\text{O}_3$ и появлению шпинельной фазы, которой в данном случае могут быть $\gamma\text{-Fe}_2\text{O}_3$, Fe_3O_4 и ферриты магния или цинка.

На дериватограммах свежеприготовленных образцов наблюдаются эндоэффекты при $110\text{--}130^\circ$, сопровождающиеся уменьшением веса, которые связаны с удалением адсорбированной воды, и экзоэффект в интервале $600\text{--}800^\circ$ без изменения веса, существование которого можно объяснить образованием алюминатов цинка или магния. На это указывают и проведенные нами рентгенографическое и дериватографическое исследования систем $\text{MgO}-\text{Al}_2\text{O}_3$ и $\text{ZnO}-\text{Al}_2\text{O}_3$ [4]. Следует особо отметить, что на дериватограммах образцов $\text{MgO}-\text{Fe}_2\text{O}_3-\text{Al}_2\text{O}_3$, $\text{ZnO}-\text{Fe}_2\text{O}_3-\text{Al}_2\text{O}_3$ и $\text{Fe}_2\text{O}_3-\text{Al}_2\text{O}_3$ до обработки реакционной смесью и в восстановительной среде нет пиков, связанных с переходом



Следовательно, фаза Fe_3O_4 в свежеприготовленных образцах отсутствует. После обработки реакционной смесью катализатора $\text{ZnO}-\text{Fe}_2\text{O}_3-\text{Al}_2\text{O}_3$ на дериватограмме проявляется экзоэффект при 260° , сопровождающийся увеличением веса, и очень слабый эффект при 520° без изменения веса. Эти экзоэффекты относятся к переходам



Для образцов $\text{Mg}-\text{Fe}_2\text{O}_3-\text{Al}_2\text{O}_3$ и $\text{Fe}_2\text{O}_3-\text{Al}_2\text{O}_3$ на кривых ДТА наблюдаются аналогичные экзоэффекты, кроме того, там же обнаруживается сильный экзоэффект в области $300\text{--}400^\circ$, который связан с выгоранием углистых отложений. В последнем случае практически не удается наблюдать увеличения веса, связанного с переходом $\text{Fe}_3\text{O}_4 \rightarrow \gamma\text{-Fe}_2\text{O}_3$, так как для этих образцов потеря веса, связанная с этим фактом весьма значительна ($\sim 40\%$ от общей потери веса) и превышает увеличение веса за счет окисления Fe_3O_4 . Следует отметить, что количество углистых отложений на образцах $\text{MgO}-\text{Fe}_2\text{O}_3-\text{Al}_2\text{O}_3$ и $\text{Fe}_2\text{O}_3-\text{Al}_2\text{O}_3$ больше, чем на $\text{ZnO}-\text{Fe}_2\text{O}_3-\text{Al}_2\text{O}_3$, хотя условия обработки для всех образцов были одинаковыми. Обработка этих катализаторов смесью бутенов приводит к увеличению интенсивности пиков, связанных с выгоранием углистых отложений. Потеря веса в этом случае для $\text{MgO}-\text{Fe}_2\text{O}_3-\text{Al}_2\text{O}_3$ и $\text{Fe}_2\text{O}_3-\text{Al}_2\text{O}_3$ составляет 50%, а для $\text{ZnO}-\text{Fe}_2\text{O}_3-\text{Al}_2\text{O}_3$ — 20—25%. На фоне сильных экзоэффектов от горения коокса не удается наблюдать более слабые экзоэффекты, связанные с окислением железа, входящего в состав ферритной фазы.

Литература

- Алиев Ф. В., Амирбеков Э. Н., Кулев А. Д., Данюшевский В. Я., Ниссенбаум В. Д., Якерсон В. И., Рубинштейн А. М.—Кинетика и катализ, 1981, т. 22, № 5 50
- Кулев А. Д. Дисс. канд. хим. наук.—Баку: ИНХП АН АзССР

1978, с. 133. 3. Иванова В. П., Касатова Б. К., Красавина Т. Н., Розанова Е. Л., Термический анализ минералов и горных пород.—Л.: Недра, 1974, с. 48. 4. Амирбеков Э. Н., Алиев Ф. В., Данюшевский В. Я., Кулев А. Д. Якерсон В. И., Рубинштейн А. М.—Кинетика и катализ, 1981, т. 22, № 5, с. 1317—1323.

Институт теоретических проблем химической технологии АН АзССР

Поступило 27. VII 1983

Ф. В. Элиев, Е. Н. Эмирбеков, А. Д. Гулиев, В. Ј. Данюшевски, В. И. Якерсон

МАГНЕЗИУМ, СИНК-ДЭМИР ВЭ МАГНЕЗИУМ, СИНК-ДЭМИР-АЛУМИНИУМ КАТАЛИЗАТОРЛАРЫНДА ФАЗА ЧЕВРИЛМЭЛЭРИНИН ТЭДГИИ

Мэггалэдэ магнезиум, синк-дэмир вэ магнезиум, синк-дэмир-алуминиум катализаторларында реаксија мүһитинин вэ бутенлэрин гарышыгынын тэ'сириндэй асылы слараг баш верэн фаза чеврилмэлэри һагында мэлумат верилир ($\text{C}_4\text{H}_8 + \text{O}_2 + \text{H}_2\text{O}$)

Кестэрилмийшидир ки, феррит фазасы магнезиум вэ синк-дэмир катализаторларында синтез мэрнэлэснэдэ эмэлэ кэлир. Бутенлэрин мүһитиндэ бу фазаны тэркибиндэки Fe^{2+} ионларынын мигдары артыр.

Магнезиум вэ синк-дэмир-алуминиум катализаторларында реаксија мүһитинин тэ'сир алтында чохкомпонентли шпинел фазасы яраныр.

F. V. Aliev, E. N. Amirbekov, A. D. Kuliev, V. Ya. Danyushevski, V. I. Yakerson

STUDY OF PHASE CONVERSIONS IN MAGNESIUM-, ZINC-FERRITE, MAGNESIUM-IRON-ALUMINA AND ZINC-IRON-ALUMINA CATALYSTS

Phase conversions in magnesium-, zinc-ferrite, magnesium-iron-alumina and zinc-iron-alumina catalysts were studied in interaction with the reaction medium of $\text{C}_4\text{H}_8 + \text{O}_2 + \text{H}_2\text{O}$ and the mixture of C_4H_8 . The ferrite phase is formed at the synthesis stage in the case of $\text{MgO}-\text{Fe}_2\text{O}_3$, $\text{ZnO}-\text{Fe}_2\text{O}_3$ catalysts and interaction with the mixture of butenes leads to increase in Fe^{2+} content in the phase. In interaction with the reaction medium spinel phase is formed in the case of magnesium- and zinc-iron-alumina catalysts and is multicomponent.

Ф. Д. ГАСАНОВ

О ХАРАКТЕРЕ РАСПРЕДЕЛЕНИЯ НЕКОТОРЫХ МАЛЫХ ЭЛЕМЕНТОВ В СРЕДНЕПЛИОЦЕНОВЫХ ОТЛОЖЕНИЯХ ЮЖНО-КАСПИЙСКОЙ ВПАДИНЫ

(Представлено академиком АН Азербайджанской ССР Ш. Ф. Мехтиевым)

Геохимические исследования среднеплиоценовых отложений Южно-Каспийской впадины и, в частности, изучение распределения в них малых элементов, выполненные нами, позволяют детальнее рассмотреть особенности их формирования, характер процессов, происходящих на водосборных площадях, распределение сносимого материала в областях аккумуляции в зависимости от фациальных условий и учесть роль второстепенных источников питания.

Для выяснения этих вопросов использованы данные по количественному определению ряда химических элементов методом рентгеноспектрального анализа. Были определены Sr, Ba, Fe_2O_3 (общ.), Mn, Sr и V в породах отдельных стратиграфических горизонтов и в целом по ПТ из нефтегазовых и газоконденсатных месторождений Апшеронского и Бакинского архипелагов и КТ из месторождения б. Жданова и б. ЛАМ. Нами рассмотрено распределение этих элементов по типам пород и горизонтам. Как видно из табл. 1, часть из указанных элементов (Sr, Ba, Fe_2O_3 (общ.), V) на площадях Нефтяные Камни представлена в больших количествах в песчаниках и убывает в глинистых алевролитах, а Mn наоборот, уменьшается в песчаниках. Упорядоченно ведут себя Sr и Ba, уменьшаясь от глинистых алевролитов к алевролитовым глинам и суглинкам, а Fe_2O_3 (общ.), Mn, Sr, Ba, V уменьшается от алевролитовых глин к суглинкам.

Общий характер изменения содержания этих элементов показан в табл. 1 и на рис. 1, 2.

Таблица 1

Элементы	Песчаники	Глинистый алевролит	Алевроловая глина	Суглинок
Sr	0,041	0,074	0,032	0,029
Ba	0,247	0,306	0,161	0,060
V	0,010	0,071	0,004	0,014
Fe_2O_3 (общ.)	0,099	1,898	6,907	0,930
Mn	0,042	0,033	0,057	0,026
Cr	0,008	0,008	0,009	0,012

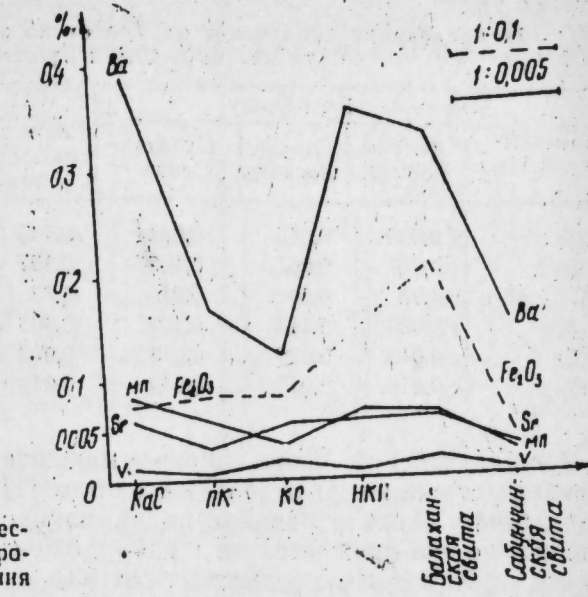


Рис. 1. Распределение химических элементов в отложениях продуктивной толщи месторождения Нефтяные Камни

Распределение отмеченных элементов по разрезу ПТ месторождения Нефтяные Камни показано в табл. 2, из которой видно, что содержание Sr уменьшается от КаC и ПК, а затем возрастает к балаханской свите.

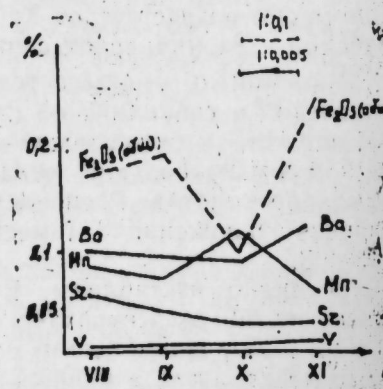


Рис. 2. Распределение химических элементов в отложениях красноцветной толщи месторождения б. Жданова

Таблица 2

Элементы	КаC	ПК	КС	НКП	Балаханская	Сабунчинская
Sr	0,059	0,034	0,052	0,058	0,058	0,036
Ba	0,394	0,173	0,125	0,353	0,334	0,152
V	0,010	0,007	0,016	0,008	0,020	0,005
Fe_2O_3 (общ.)	1,45	1,53	1,52	2,67	4,02	0,82
Mn	0,062	0,048	0,027	0,052	0,046	0,021
Cr	0,008	0,007	0,006	0,006	0,008	0,008

Таблица 3

Распределение химических элементов по разрезу и типам пород
в месторождении Булла-море

Элементы	По разрезу			По типам пород			
	Свита пе- рерыва	Сабун- чинская	Сурахан- ская	Глинистый алев- ролит	Глина	Хлидолит	Суглинок
Sr	0,030	0,046	0,044	0,043	0,032	0,050	0,038
Ba	0,067	0,267	0,109	0,197	0,065	0,071	0,161
Fe ₂ O ₃ (общ.)	4,26	6,80	6,91	5,63	7,21	7,91	8,48
Mn	0,030	0,114	0,122	0,103	0,101	0,108	0,101
Cr	0,010	0,009	0,010	0,009	0,009	0,011	0,010
V	0,010	0,013	0,012	0,012	0,013	0,012	0,012

От балаханской свиты вновь уменьшается к сабунчинской. Содержание стронция по отдельным свитам ПТ большей частью составляет 0,058%. Лишь в породах подкирмакинской и сабунчинской свит содержание его снижается до 0,034—0,036%. Содержание Ba уменьшается от КаC к КС, возрастает от КС к НКГ и уменьшается от НКГ в сабунчинской свите. В целом по разрезу барий подвержен более резким изменениям. Несколько иначе ведет себя Mn. Его содержание уменьшается от КаC к КС, а потом возрастает к балаханской свите и опять уменьшается от балаханской к сабунчинской свите. А в целом распределение марганца несколько сходно с распределением стронция. В отличие от указанных элементов содержание Fe₂O₃ (общ.) закономерно возрастает от КаC к балаханской и уменьшается от балаханской к сабунчинской свите.

Закономерно уменьшается V от КаC к ПК, от КС к НКГ, от балаханской к сабунчинской свите. Возрастает его содержание от ПК к КС, от НКГ к балаханской свите.

В целом наибольшие концентрации ванадия наблюдаются в глинистых алевролитах. Распределение некоторых химических элементов в разрезе отложений ПТ месторождения Булла-море представлено в табл. 3.

Как видно из таблицы, Fe₂O₃ (общ.) закономерно сверху—вниз убывает от 6,91% в сураханской свите до 4,26% в свите "перерыва" (VII горизонт). Наименьшим содержанием при этом отличаются глинистые алевролиты, а наибольшим—суглинки! В распределении других элементов четкая закономерность не наблюдается. По сравнению с разрезами месторождения Нефтяные Камни здесь ванадия, стронция, бария меньше, а марганца—больше.

На площади б. Жданова (табл. 4) содержание V, Mn, Ba, Fe₂O₃ (общ.) возрастает от глинистых алевролитов к песчанисто-алевритовым глинам и уменьшается от песчанисто-алевритовых глин к пескам. Поведение Mn полностью отличается от этих элементов и в тех породах, где содержание их высокое, Mn представлен в минимальных количествах.

По отдельным горизонтам КТ площади б. Жданова содержание Sr, Ba уменьшается от VIII к X горизонту, а от X к XI горизонту возрастает.

Таблица 4

Распределение химических элементов в месторождении б. Жданова, %

Элементы	По разрезу				По типам пород		
	VIII	IX	X	XI	Глинистый алевролит	Песчано-алевритовая глина	Песок
Sr	0,060	0,040	0,030	0,032	0,038	0,030	0,083
Ba	0,100	0,095	0,080	0,130	0,087	0,182	0,087
V	0,010	0,010	0,007	0,010	0,009	0,014	0,012
Fe ₂ O ₃ (общ.)	3,505	3,807	1,910	4,860	3,055	6,83	5,24
Mn	0,069	0,059	0,093	0,043	0,048	0,062	0,057
Cr	0,007	0,007	0,005	0,008	0,057	0,009	0,007

Содержание Fe₂O₃ (общ.) возрастет от VIII к IX, уменьшается от IX к X и возрастает от X к XI горизонту. Содержание Mn уменьшается от VIII горизонта к IX, возрастает от IX к X и уменьшается от X к XI.

В отложениях КТ содержание Fe₂O₃ (общ.) обратно пропорционально содержанию Mn. По мере увеличения Mn убывает содержание Fe₂O₃ (общ.), и наоборот.

Из всего изложенного материала видно, что в распределении малых элементов в различных стратиграфических комплексах и типах пород продуктивной толщи приапшеронского шельфа и красноцветной толщи притуркменского шельфа имеются некоторые отличия. Стронция, бария и марганца в породах VIII—XI горизонтов КТ несколько меньше, чем в породах ПТ. Содержание общего железа в породах КТ месторождения б. Жданова несколько выше, чем в породах ПТ приапшеронского шельфа.

Концентрация стронция по отдельным горизонтам среднеплиоценовых отложений в разрезе месторождений, расположенных по обоим бортам впадины, несколько колеблется, что связано с условиями осадконакопления.

Накопление бария на площади б. Жданова приурочено к песчано-алевролитовым глинам и песчаникам. Максимум же накопления стронция сдвинут к глинисто-алевролитовым породам, отлагавшимся вдали от прибрежной зоны.

Коэффициенты концентрации бария на площадях Нефтяные Камни и Булла-море в различных типах пород выражаются более высокими значениями для песчаников и алевролитовых глин и меньшими—для суглинков. Глинисто-алевролитовые породы Нефтяных Камней характеризуются еще более высокими концентрациями бария, что связано с повышенным накоплением его в прибрежных частях водоемов. Эти данные могут быть использованы для корреляции разрезов отложений ПТ и КТ.

Судя по распределению малых элементов, можно сделать вывод, что в целом песчаники во всех районах распространения отложений ПТ и КТ образовались в прибрежных или мелководных частях бассейна осадконакопления. Алевролиты по сравнению с песчаниками несколько богаче малыми элементами, но все же в целом и они от-

лагались в мелководных частях бассейна. Глинистые алевролиты более обогащены малыми элементами, в частности, стронцием и барием. Судя по всему, песчаники и алевролиты отлагались в пресноводном бассейне, но в окислительных условиях.

Институт геологии

Поступило 4. VI 1985

Ф. Д. Җәсәнов

**ЧЭНУБИ ХӘЗӘР ЧӨКӘКЛИИНДӘ ОРТА ПЛЮСЕН ЧӨКҮНТҮЛӘРИНДӘ
БӘ'ЗИ НАДИР ЕЛЕМЕТЛӘРИН ПАЛАНМА СӘЧИЛЛӘСИ ҖАГГЫНДА**

Мәгәләдә Нефт дашлары, Булла-дәніз, Жданов банкасы жатагларындан көтүрүлмүш сұхур нұмұнәләріндә стронциум, бариум, ванадиум кимі тәләви торпаг әзидир елементтер вә дәмір оксиди, мангандың, хромкими дәмір айләви елементләрін тәжірибелінән бәһс едилір, онларын орта плюсен чөкүнтүләріндә кәсилиш үзрә вә сұхурларын литологи тәркибинә көрә паланмасы изаһ едилір. Бунун әсасында мүәллиф ба'зи палеоографик нәтижеләр чыгарыр.

F. D. Gasanov

**ON THE CHARACTER OF SOME SMALL ELEMENTS DISTRIBUTION
IN MIDDLE PLIOCENE DEPOSITS OF SOUTH-CASPAN DEPRESSION**

On the basis of the study of Neftyanе Kamni, Bulla-sea, b. Zhdanov core samples the character of some small elements distribution (strontium, barium and vanadium) and elements of ferrum family (manganese, chromium, ferrum) in Middle Pliocene deposits of South-Caspian depression is revealed and paleogeographic conclusions are made.

АЗӘРВАЙЧАН ССР ЕЛМЛӘР АКАДЕМИЯСЫНЫН МӘРУЗӘЛӘРИ

ДОКЛАДЫ АКАДЕМИИ НАУК АЗЕРБАЙДЖАНСКОЙ ССР

ТОМ XLII ЧИЛД

№ 1

1986

УДК 541. 427

ХИМИЯ НЕФТИ И НЕФТЕХИМИЧЕСКИЙ СИНТЕЗ

Чл.-корр. АН АзССР К. И. САДЫХОВ, А. Н. АГАЕВ, С. М. ВЕЛИЕВА

**СИНТЕЗ И ИССЛЕДОВАНИЕ АЛКИЛФЕНОЛСУЛЬФОНАТОВ
КАЛЬЦИЯ И МАГНИЯ**

Для улучшения эксплуатационных свойств моторных масел широко применяют сульфонатные присадки. Определенное влияние на физико-химические и функциональные свойства указанных присадок оказывает природа катиона, содержащегося в их структуре [1]. Так магнийсодержащие сульфонаты по сравнению с кальциевыми и барийевыми имеют пониженную зольность, что в свою очередь позволяет снизить зольность смазочных масел, предназначенных для двигателей внутреннего сгорания [2].

Данная статья посвящена получению кальций- и магнийсодержащих сульфонатных присадок и исследованию их функциональных свойств. В качестве исходного сырья для синтеза присадок использован алкилфенол, полученный алкилированием фенола фракцией альфа-олефинов $C_{20}-C_{28}$ высокотемпературной олигомеризации этилена. Сульфированием алкилфенола олеумом с последующей нейтрализацией продукта сульфирования гидратом окиси кальция или магния получены соответствующие нейтральные сульфонаты. Физико-химическая характеристика полученных присадок представлена в табл. 1, из данных которой видно, что при близком содержании активного компонента зольность сульфоната магния ниже зольности сульфоната кальция.

Таблица 1

**Физико-химическая характеристика алкилфенолсульфонатов
кальция и магния**

Показатели	Присадка	
	кальциевая	магниевая
Вязкость при 100°C, мм ² /с	48,7	46,3
Шелочное число, мг KOH/г	20,0	17,0
Содержание активного компонента, масс. %	82,1	83,3
Зольность сульфатная, масс. %	12,0	9,2
Содержание, масс. %	3,3	—
кальция	—	1,49
магния	240	210
Степень чистоты, мг/100 г	—	—
Растворимость в масле	—	—
Содержание механических примесей, масс. %	0,06	0,02
Полиая	—	—

Таблица 2
Функциональные свойства алкилфенолсульфонатов кальция и магния

Показатели	Масло М-11 с 5%-ной присадкой	
	кальциевой	магниевой
Моющие свойства на установке ПЗВ (ГОСТ 5726—53), баллы	0	0
Диспергирующие свойства при 250°C [3], отн. ед.	55	62
Коррозия свинца в приборе ДК-2 (ГОСТ 20502-75), г/м ²	75	58
Стабильность по индукционному периоду осадкообразования (ГОСТ 11063-77), ч	35	38
Защитные свойства, % пораженной поверхности пластин из стали Ст. 10	0,5	0,5
термовлагокамера Г-4, 200 ч	2,0	2,5
морская вода, 20 ч	2,0	3,0
вытеснение НВч, 4 ч		

Присадки также различаются по содержанию металла и вязкости. Изучение функциональных свойств проведено для 5%-ных растворов сульфонатов в масле М-11. Защитные свойства присадок оценивали по коррозии пластинок из стали Ст. 10, покрытых пленками 5%-ных растворов в масле М-6 в агрессивных средах (термовлагокамера Г-4 морская вода, бромистоводородная кислота) по ГОСТу 9.054-75.

Результаты испытаний представлены в табл. 2. Из данных таблицы видно, что алкилфенолсульфонаты кальция и магния обладают хорошими функциональными свойствами, хотя и наблюдаются некоторые различия.

Так, алкилфенолсульфонат магния по моющим, диспергирующим анткоррозионным свойствам несколько превосходит алкилфенолсульфонат кальция, а по антиокислительным и защитным уступает последнему.

Таким образом, синтезированные алкилфенолсульфонаты кальциевого и магниевого я являются эффективными присадками к смазочным маслам, обладающим моющими, диспергирующими, антиокислительными, антикоррозионными и защитными действиями.

Литература

1. Милованов В. Д., Карельский В. И., Шехтер Ю. Н., Школьников В. М., Шаринова Л. М.—Нефтепереработка и нефтехимия, № 7, 1977, с. 12. 2. Монин С. В., Павлов Т. В.—Химия и технология топлив и масел, № 3, 1978, с. 61. 3. Главати Е. В., Рабинович И. Л., Главати О. Л.—Химия и технология топлив и масел, № 3, 1976, с. 60—62.

Институт химии присадок АН АзССР

Поступило 5. XII 1983

К. И. Садыхов, Э. Н. Агаев, С. М. Вэлиева

КАЛСИУМ ВЭ МАГНЕЗИУМ АЛКИЛФЕНОЛСУЛЬФОНАТЛАРЫНЫН СИНТЕЗИ ВЭ ТЭДГИИ

Магаләдә фенолун C_{20} — C_{28} фракциялары α -олефиниләрлә алкилләшмәсендән алынан алкилфенол эсасында нефтрал калсиум вэ магнезиум сульфонатларынын синтези вэ

тәдгигиппин нәтижәләри верилмишdir. Мүэллән едилмишdir ки, алымыш ашгарлар йүксәк јујучу, оксидаләшмәјә гарыш мұнағизәедиң хассәләринә маликdir.

K. I. Sadykhov, A. N. Agaev, S. M. Velieva

SYNTHESIS AND INVESTIGATION OF Ca AND Mg ALKYLPHENOLSULPHONATES

This article presents the results of research on synthesis of neutral Ca and Mg sulphonates based on alkylphenol obtained by alkylation of phenol with C_{20-28} α -olefins.

It is found that the additives possess high detergent, antioxidant and anticorrosive properties.

С. Г. РУСТАМОВ

МОРФОМЕТРИЧЕСКИЕ ХАРАКТЕРИСТИКИ
МИНГЕЧАУРСКОГО ВОДОХРАНИЛИЩА

(Представлено академиком АН Азербайджанской ССР Г. А. Алиевым)

Основными морфометрическими элементами, характеризующими любой водоем, являются его геометрические размеры, а именно: площадь зеркала, длина береговой линии и ее извилистость, длина и ширина водохранилища, объем воды, средний уклон дна между изобатами и средний уклон склонов.

Для определения морфометрических характеристик требуется наличие батиметрической карты, составленной на основании типографической съемки и промеров глубин. Все эти показатели не остаются постоянными, в зависимости от режима уровней изменяются. Для каждого водоема существуют определенные зависимости между уровнем (или глубиной), площадью зеркала и объемом водной массы. Эти графические зависимости в науке получили название кривые площадей и объемов или батиграфические кривые. При этом форма кривых определяется формой котловины водоема. Батиграфические кривые позволяют оценить площадь зеркала и объем воды или объем отдельных ее слоев для любого уровня. Такие кривые имеют большое практическое значение и используются при различных гидрологических и водно-балансовых расчетах.

Точность определения морфометрических характеристик зависит от масштаба плана или карты, степени подробности съемки, планиметрирования, раствора измерителя и т. п.

Первые кривые объемов и площадей Мингечаурского водохранилища на р. Куре построены в 1932 г. по данным мезузульной съемки, а в 1945 г. путем планиметрирования крупномасштабной карты подвергались окончательному уточнению (рис. 1). До настоящего времени эти кривые использовались при практических расчетах. Однако, учитывая протекающие в водохранилище процессы, т. е. его заливание и динамику переработки берегов, они должны пересоставляться и уточняться на основе данных последних съемок.

Известно, что для создания Мингечаурского водохранилища в его чаще располагалось более 20 населенных пунктов, озера-старицы, возвышенности, впадины леса и др. В 1953—1955 гг., в связи со строительством водохранилища, все они были затоплены. Безусловно, они в известной мере оказывали влияние как на глубины водохранилища, так и на его емкость.

Первая батиметрическая карта Мингечаурского водохранилища была составлена институтом географии АН АзССР в 1957 г. при от-

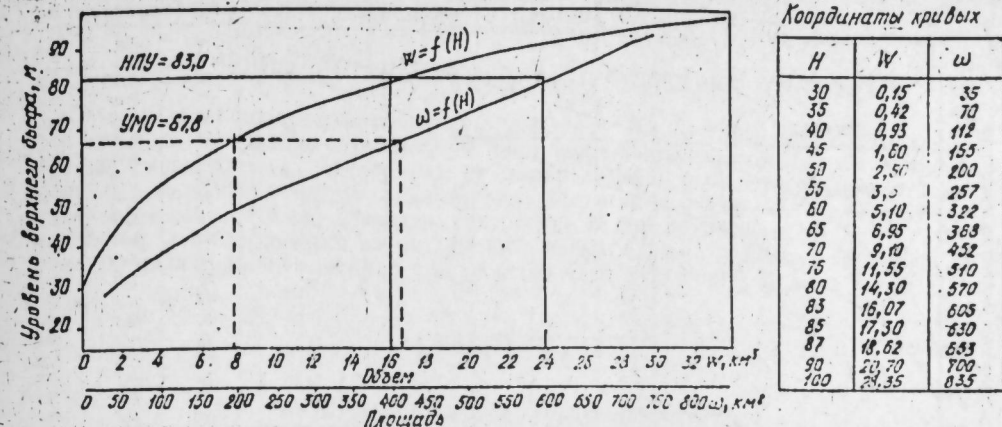


Рис. 1. Кривые объемов и площадей Мингечаурского водохранилища (1945 г.)

метке уровня 80 м с дальнейшим ее пересоставлением для отметки НПУ, равной 83 м. Она была составлена на основе промеров глубин, произведенных через каждые 2 км в 25 створах, включающих 168 промерных точек [1].

На этой карте обращает на себя внимание наличие двух впадин, расположенных в центральной части—первая, а вблизи плотины водохранилища—вторая. Глубины в обоих впадинах были более 50 м. Вторая впадина являлась наиболее глубокой, глубина ее превышала 75 м. Мелководье и отмели характерны для устьевых участков, впадающих в водохранилище рек Куры, Алазани и Иори. Здесь глубины преимущественно были меньше 10 м и наблюдались процессы дельтообразования и появления баров. Особенно следует отметить, что если глубина р. Алазани в приустьевой части превышала 2 м, то в ее дельте она едва достигала 0,5 м. Средняя глубина в начальный период становления водохранилища равнялась 26 м при полном объеме его 16,07 км³ (полезный объем—7,4 ом³) и площади 605 км².

В целях выявления происходивших изменений за период эксплуатации водохранилища (16 марта—3 апреля 1982 г.) производилась повторная батиметрическая съемка. Промерные работы при этом производились в 26 створах, включающих 331 промерную точку. На основе полученных данных составлены две карты, отражающие глубины водохранилища и отметки дна.

Сопоставление карт глубин 1957 и 1982 гг. показывает, что за прошедшие 30 лет изменились все основные морфометрические элементы водохранилища. За истекший период площадь его увеличилась до 620 км² (на 15 км²), а объем уменьшился до 14,5 км³, т. е. на 1,5 км³. В среднем ежегодное уменьшение объема водохранилища вследствие его заливания составляло 50 млн м³. Если процесс заливания продолжится с такой же интенсивностью, то примерно через

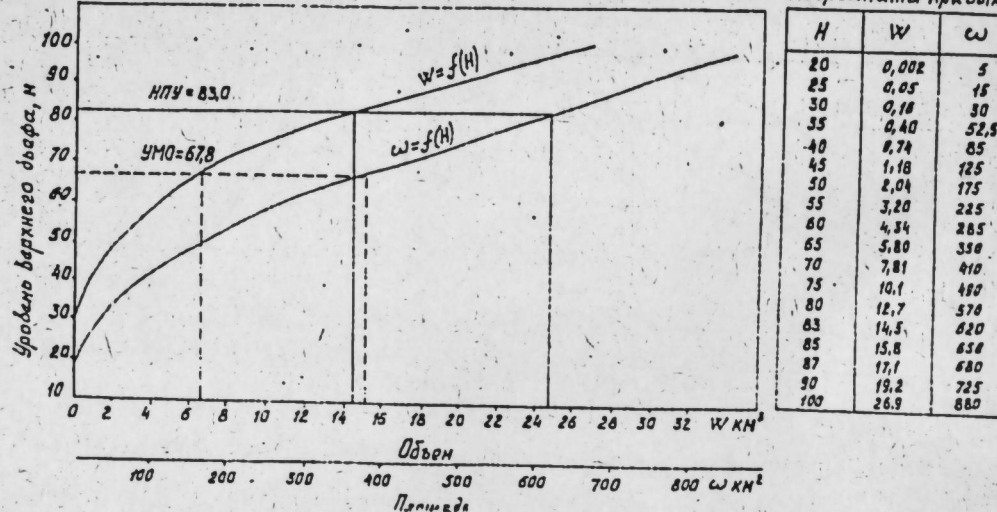


Рис. 2. Кривые объемов и площадей Мингечаурского водохранилища (1982 г.)

300 лет водохранилища не будет. Однако создаваемые выше Мингечаура, на Куре и ее притоках—Алазани и Иори, гидроузлы окажут существенное влияние на процессы заилиения в сторону его уменьшения за счет ограничения поступающих в него наносов. Это приведет к значительному продлению сроков заилиения водохранилища.

На основе результатов съемки 1982 г. построены новые кривые объемов и площадей водохранилища (рис. 2), которые должны быть положены в основу дальнейшего планирования использования его вод, а также при производстве гидрологических расчетов и составлении прогнозов.

В соответствии с новой батиметрической картой при НПУ наибольшая глубина, достигающая 69 м, расположена по-прежнему вблизи плотины. Средняя глубина водохранилища в настоящее время равна 23 м. Наибольшая ширина, достигающая почти 20 км, расположена по створу р. Алазани. Наибольшая длина от Ханабадской дамбы до устья Куры равна 75, от плотины до устья р. Алазани—46, до устья Куры—63 и до устья Иори—58 км. Длина береговой линии равна 210 км, а коэффициент извилистости ее—2,38.

Литература

Рустамов С. Г., Заманов Х. Д. Режим глубин Мингечаурского водохранилища.—Докл. АН АзССР. 1958, № 11.

Институт географии

Поступило 1. II 1984

С. Г. Рустамов

МИНГЕЧЕВИР СУ АНБАРЫНЫН МОРФОМЕТРИК ҮНСҮРЛЭРИ

Мэглэдэ су анбарынын истисмари дэврүүдэ (193—1982) морфометрик үнсүрлийн дэшишмэсн изэн олонур. 1982-чи илин март—апрел айларында апарылмыш дэдэрийлийн хэрэгтэлэри тэртиб едилмишдир. Тэдгигат көстөрүр ки, 30 ил эрзиндэ су анбарынын һечми 1,5 км³ азалмыш, саһеси исэ 15 км² артмышдыр.

Назырда су анбарынын һечми 14,5 км³, саһеси 620 км², максимал үэрнүүлийн 69 м² орта дэринлийн 23 м, максимал ени (Алазан чая хэтти боу) 20 км-э чатыр.

S. G. Rustamov

MORPHOMETRICAL CHARACTERISTICS OF THE MINGECHAUR RESERVOIR

On the basis of making a survey in March—April 1982 the present batigraphic curve and morphometric characteristics of reservoir are given.

УДК 575. 24 : 581. 6

ГЕНЕТИКА

А. М. РУСТАМОВА, Д. Д. АХУНДОВА,
чл.-корр. АН АзССР У. К. АЛЕКПЕРОВ, Р. А. БАБАЕВАНТИМУТАГЕННЫЙ ЭФФЕКТ ЭКСТРАКТА
ПРОРОСТКОВ ПШЕНИЦЫ

В связи с наличием в окружающей среде мутагенов и канцерогенов особую актуальность приобретают исследования по antimутагенезу как одному из реальных путей нейтрализации генетических последствий загрязнения среды обитания. Практические разработки показали принципиальную возможность antimутагенной модификации действия средовых промышленных продуктов на модели лабораторных животных и пестицидов—на сельскохозяйственные растения [1].

Особый интерес представляют данные по наличию antimутагенных свойств у различных растений, в том числе используемых в пищу. Так, Т. Када с сотрудниками [5] исследовали генетический эффект экстрактов из 59 видов овощей и фруктов в условиях индукций мутаций, образующихся в пище различными пиролизатами. Результаты исследований показали, что antimутагенное действие с высокой эффективностью проявляют экстракты 11 из 59 продуктов: капусты, зеленого перца, баклажан, яблок, лопуха, лука, имбиря, мяты, ананаса, брокколи. На примере экстракта капусты установлено, что antimутагенный фактор имеет молекулярный вес 43000 и обладает пероксидазной активностью. Приведенные данные свидетельствуют о широком распространении antimутагенных свойств у компонентов различных пищевых продуктов. Эти свойства могут быть характерны и для злаков, имеющих высокое содержание токоферолов, обладающих antimутагенной активностью [3]. Экспериментально это подтверждено в опытах с микроорганизмами [10], однако влияние их на эукариоты не изучено.

В связи с этим исследовано влияние водного экстракта проросших семян пшеницы (сорт Бол-Бугда) на индуцированную мутабильность хромосом в клетках костного мозга белых беспородных крыс. Индукцию мутаций проводили фтористым натрием, являющимся распространенным средовым мутагеном. Животные со средним весом 180–200 г были разделены на 6 групп. В течение 21 дня крысы содержались на общеварварном рационе. В дополнение к последнему 2 группы ежедневно в течение двух недель получали водный экстракт проросших семян пшеницы сорта Бол-Бугда рег ос (1 мл на крысу). На 14-й день крысам 3–4 групп был введен химический мутагенфтористый натрий (20 мг F⁻ на крысу). Забивку животных с соблюдением норм инвазии производили через 24 ч. после воздействия испытуемого вещества. Результаты экспериментов при-

Действие экстракта пшеницы на индуцированную мутабильность хромосом

№ п/п	Варианты опыта	Кол-во изу- чен. крыс	Кол-во изу- чен. анафаз	Нормальн. анафазы	Изменение анафазы		
					число	%	fd
1	Контроль	10	2367	2260	107	4,52±0,42	
2	Контроль-экстракт	10	2387	2310	77	3,22±0,35	2,36
3	NaF	10	2313	1920	893	16,99±0,77	
4	NaF + экстракт	10	2079	1901	178	8,56±0,61	8,60

ведены в таблице, из которой видно, что однократное острое воздействие фтористым натрием приводит к существенному увеличению уровня мутабильности. В частности, в этом варианте опыта доля клеток с аберрациями хромосом составила 16,99 ± 0,24% по сравнению с 4,52 ± 0,42% в контроле, что свидетельствует о мутагенности фтористого натрия.

Профилактическое введение экстракта из проростков пшеницы с высокой достоверностью снижает частоту индуцированных мутаций.

В настоящее время существуют различные точки зрения на формирование термина antimutagen. Первоначально antimutagenами предлагали считать агенты, обладающие способностью снижать частоту индуцированных мутаций [4]. В более поздней редакции те же авторы определяют в качестве antimutagenных агентов те, которые снижают уровень не только индуцированных, но и спонтанных мутаций [8], выделяя таким образом в качестве основного отличительного признака antimutagenов способность этих модификаторов подавлять спонтанное мутирование. Указанное свойство antimutagenов представляется весьма важным, хотя условие появления antimutagenами спонтанного мутирования не всегда выдерживается, в некоторых работах в качестве antimutagenов классифицируются агенты, подавляющие лишь индуцированную мутабильность [6].

Принимая во внимание изложенное, представлялась необходимой оценка влияния исследуемого экстракта на спонтанную мутабильность крыс. В связи с этим в экспериментах были использованы крысы, имеющие высокий уровень спонтанной мутабильности, поскольку показано, что это условие является важным для проявления antimutagenных свойств [2]. Эксперименты показали, что экстракт из проростков семян пшеницы достоверно снижает также спонтанную мутабильность, хотя в этом случае эффективность модификатора значительно ниже.

Анализ спектра структурных аберраций хромосом показал, что мутагенное действие фтористого натрия не сопровождается изменением относительной доли отдельных категорий аберраций. Antimutagenное действие экстракта проростков семян пшеницы также не вызывает заметных изменений в спектре аберраций (рисунок).

В настоящее время показано, что значительное число продуктов питания и их компонентов обладают мутагенными свойствами [9]. По приведенным подсчетам, человек с пищей получает натуральные "пестициды", являющиеся нормальными метаболитами растений в количестве, в 10 тыс. раз превышающем поступление синтетических пестицидов. В связи с этим, дальнейшее выявление компонентов пищи,

ANTIMUTAGENIC EFFECT OF EXTRACT OF GERMINATED WHEAT SEEDS

The effect of germinated wheat seeds (Bol-Bugda variety) extract on spontaneous and NaF-induced mutability of chromosomes in marrow cells of white mongrel rat high bones is studied. Preventive treatment with the given extract is obviously shown to reduce frequency of spontaneous and induced mutations.



Спектр структурных aberrаций хромосом в клетках костного мозга крыс при действии экстракта пшеницы: 1—контроль; 2—контроль + экстракт; 3—химический мутаген NaF; 4—химический мутаген NaF + экстракт

обладающих антимутагенными свойствами и способностью нейтрализовать эффект генотоксичных продуктов, содержащихся в них, представляет большой интерес.

Литература

1. Алеңперов У. К. Антимутагены и проблема защиты генетического аппарата.—Баку: Элм, 1979, 114.
2. Алеңперов У. К. Антимутагены: теоретический и практический аспекты.—М: Наука, 1984.
3. Алеңперов У. К., Ахундова Д. Д.—Генетика, 1974, 10, № 7, с. 12—17.
4. Ригр Р., Михаэлис А. Генетический и цитогенетический словарь.—М: Колос, 1967, с. 607.
5. Када Т. —Environmental Cleaning by Micro-organisms, 1974—1977, 1978, р. 695—698.
6. Када Т. —In: Environmental Mutagens and Carcinogens /Ed. Sugimura T., Kondo S., Takebe H.). Tokyo, New York, 1982, p. 355—359.
7. Морита Р., Хара М., Када Т.—Agric. Biol. Chem., 1978, 42, № 6, р. 1235—1238.
8. Риегер Р., Михаэлис А., Грун М. Glossary of Genetics and Cytogenetics: VEB Gustav Fisher Verlag.—Jena, 1976, р. 647.
9. Стич Н. Ф., Ву Ч., Поррис В.—In: Environmental Mutagens and Carcinogens /Ed. Sugimura T., Kondo S., Takebe H.). Tokyo, New York, 1982, p. 347—355.
10. Здзленьска М., Гриневіз М., Піенковська та Т. Шумецьк.—Mutation Research, 1982, 97, № 3, р. 236.

Институт ботаники

Поступило 23. V 1984

А. М. Рустамова, Д. Д. Ахундова, У. К. Элекперов, Р. А. Бабаев

БУГДАНЫН ЧҮЧЭРТИСИНДӘН АЛЫНЫШ ЕКСТРАКТЫН
АНТИМУТАКЕН ТӘСИРИ

Мәгәләдә «Бол-Бурда» сортундан алымыш екstractын чынс олмајан ағ сично-вулларын буд сүмујүнүн, сүмүк илини һүчөрәләринде спонтан вә натриум фторла индуксија едилмиш хромосом дәјишмәләрине тәсириндей баһс олунур.

Тәчүрүбәнин нәтижәсендә мәлүм олмушшур ки, истифадә олунан екstract спонтан вә индуксија едилмиш һүчөрәләрдән хромосом дәјишмәләринин мигдарыны јүксәк сәвијјәдә ашағы салыр.

Р. А. ФАТАЛИЕВ

РОД *FICUS* В САРМАТСКОЙ ФЛОРЕ АЗЕРБАЙДЖАНА

(Представлено академиком АН Азербайджанской ССР В. И. Ульянищевым)

В семействе Moraceae род *Ficus* L.—самый крупный. Он насчитывает 700—800 (по некоторым данным до 1000) видов вечнозеленых, реже листопадных деревьев, кустарников и лиан, из которых преобладающее большинство произрастает на низменности и только несколько видов поднимается по склонам гор тропической зоны до высоты 2000 м [1, 9, 13].

Листья фикусов цельные и лопастные, цельнокрайные и пильчато-зубчатые, большей частью на толстых коротких черешках. Пластика листа симметричная, редко асимметрическая, чаще эллиптическая с округлым, округло-клиновидным и клиновидным, реже с яйцевидным и сердцевидным основанием. Верхушка острая, часто оттянутая в длинный кончик и округлая. Для всех видов характерно наличие, по крайней мере, одной пары супротивных (у асимметрических листьев—слегка смещенных) вторичных жилок, отходящих от самого основания и достигающих следующей пары. Главная жилка толстая у основания, быстро утончающаяся к верхушке. От нее (кроме вторичных) отходят также от 1 до 8 промежуточных жилочек [2].

Ареал рода *Ficus* охватывает тропические и субтропические области всего земного шара и ограничен 35° северной и южной широт, простираясь от Азии, Южного Китая и Японии до архипелага Туамоту и от юга США через Центральную Америку до Аргентины. Немногие виды встречаются и в более высоких широтах—Китае, Южной Африке [1, 9, 13]. За пределы указанного ареала далеко выходит листопадный *F. carica* L.—единственный представитель рода, входящий в состав природной флоры СССР (Закавказье и Средняя Азия).

Ископаемые остатки рода *Ficus* (отпечатки листьев и соплодия) в основном свойственны тропическим и субтропическим флорам позднемеловой и палеогеновой эпох Евразии и Северной Америки. В СССР принадлежность большинства находок к этому роду сомнительна [2].

В третичной флоре Азербайджана род *Ficus* представлен тремя олигоценовыми видами [4], из которых только *F. arcinervis* сохранился до позднего миоцена и обнаружен автором в составе сарматской флоры—Казахский район, гора Катар, южный склон, отложения среднего (херсонского) горизонта верхнего сармата [5—8].

Следует отметить, что *F. arcinervis* является новым видом для неогеновой флоры СССР.

Нами приводится описание листового отпечатка этого вида фикуса, которое дополняет иллюстративный материал, опубликованный в издании „Ископаемые цветковые растения СССР“ [4, с. 37, рис. 20, фиг. 2; табл. 13, фиг. 2—4].

Семейство Moraceae

Ficus arcinervis (Rossm.) Heer

1840. *Phyllites arcinervis* Rossmässler, p. 29, tab. 3, fig. 15.
 1856. *F. arcinervis* (Rossm.) Heer, p. 64, tab. LXX, fig. 24 e;
 tab. LXXXII, fig. 4.
 1866. Ettingshausen, p. 70, tab. XXI, fig. 6.
 1872. Ettingshausen, p. 185, tab. VI, fig. 5—7.
 1943. Weyland, p. 106, tab. XVIII, fig. 5; tab. XIX, fig. 1.
 1966. Касумова, стр. 33, табл. VII, фиг. 4.

Тип: отпечаток листа из отложений аквитана (верхний эоцен?—нижний олигоцен) Старе Седло (Altsattel) на р. Влтаве в Чехословакии, описанный и изображенный Россмеслером [14].

Исследованный материал: отпечаток листа на образце №К/807 А с противоотпечатком 807 Б.

Описание. Сохранился отпечаток и противоотпечаток нижней половины кожистого листа шириной 1,8 и длиной—2,7 см, достигавшего в полном виде, вероятно, 5,5—7,5 см. Лист линейнопродолговатый, цельнокрайний, постепенно суживающийся (до 0,5 см) к вытянутому, клиновидному основанию с черешком 0,4 см длины.

Жилкование брахиодромное. Главная жилка мощная, прямая, вдавленная в пластинку. От нее отходят 8 пар вторичных жилок. Первые две пары базальных жилок супротивные, а остальные преимущественно очередные. Вторичные жилки тонкие и одинаковые по всей длине, прямые или слегка дуговидные, расположенные на расстоянии 0,2—0,6 см друг от друга. Угол их отхождения колеблется от 25° (базальная пара) до 90° и уменьшается до 75° в средней части отпечатка. От главной жилки (между вторичными) отходят также 1—2 очередных, слегка извилистых и ветвящихся у окончания промежуточных жилочек. Базальная пара, остальные вторичные жилки, а также промежуточные жилочки примерно на расстоянии 0,1—0,2 см от края соединяются дуговидными анастомозами. Дуги анастомозов не сплошные и в зависимости от числа промежуточных жилочек расходятся на 2—3 части. Далее следует один ряд отчетливо выраженных полигональных ячеек неправильной формы, наиболее крупные из которых располагаются в углах между дугами вторичных жилок. За ячейками первого ряда иногда развиты едва заметные ячейки второго ряда, вытянутые вдоль края и заполняющие все оставшееся пространство. Третичные жилки нежные, перпендикулярные вторичным и промежуточным, образуют в соединении с ними крупные полигональные ячейки неправильной формы, внутри которых заметна более мелкая сеть жилочек последующего порядка (рисунок).

Сравнение. Несмотря на неполноту описанного отпечатка листа, сохранившаяся нижняя половина с деталями третичного жилкования характеризуется достаточными диагностическими признаками, свойственными виду *F. arcinervis*. Достоверные находки этого вида известны из палеогеновых отложений Западной Европы (Швейцария, ФРГ, Югославия, ЧССР) и только в аквитанской флоре Загорья в Югославии он представлен полными отпечатками, на крупном из которых заметны детали жилкования [11, т. VI, фиг. 6], а меньшие по размерам [11, т. VI, фиг. 5, 7] соответствуют катарской форме.

Литература

- Груздинская И. А. Семейство Морасеae. В кн.: Жизнь растений, т. 5(1).—М.: Просвещение, 1980.
- Ильинская И. А. Род *Ficus* L. В кн.: Основы палеонтологии, голосеменные и покрытосеменные.—М., 1963.
- Касумова Г. М. Флора олигоценовых отложений северо-восточных предгорий Малого Кавказа (Азербайджан) и ее стратиграфическое значение.—Баку: Изд-во АН Азерб. ССР, 1966.
- Кутузкина Е. Ф. Род *Ficus* L. В кн.: Ископаемые цветковые растения СССР, т. 2.—Л.: Наука, 1982.
- Фаталиев Р. А. Верхнесарматская флора горы Катар в междуречье Куры и Иори.—Дисс. канд. биол. наук. Л., 1964.
- Фаталиев Р. А.—Докл. АН АзССР, 1969, № 11, 49–52.
- Фаталиев Р. А. Докл. СССР, 1970, т. 190, № 1, с. 198–199.
- Фаталиев Р. А. Бот. ж. АН СССР, № 1, 1975, с. 84–86.
- Corner E. J. H.—Reinwardtia, 1958, v. 3, part 3.
- Ettingshauser C.—Denkschr. Kaiser. Akad. Wissensch., mathem. naturw. Kl., Theil I, Bd XXVI, 1866.
- Ettingshausen C.—Denkschr. Kaiser. Akad. Wissensch., mathem.-naturw. Kl.; Bd XXXII, 1872.
- Heer O. Flora tertiaria Helvetica. Die tertäre Flora des Schwellz, Bd II.—Winterthur, 1856.
- Krüssler E. A. Die Verstrelungen des Braunkohlensteins aus der Gegend von Altsattel in Böhmen.—Dresden und Leipzig, 1840.
- Weyland H. Paläontographica, Bd LXXXVII, Abt. B., 1943.

Институт ботаники

Поступило 10. II 1984

Р. А. Фаталиев

FICUS ЧИНСИ АЗЭРБАЙЧАНЫН САРМАТ ФЛОРАСЫНДА

Республикамызын Үчүнчү дөврү флорасында *Ficus* чинсинин үч олигосен нөвү мәлүмдүр. Бунлардан *F. arcinervis* сармат флорасынын тәркибиндә дә ашкар едилмишdir. Мәгаләдә Күр вә Иори چајлаарасы саңадә тапталыш бу нөвүн ярпаг изинин тәсвири вә шекли верилир. Морфология хүсусијәтләринә көрә, *F. arcinervis* мәсир *F. cuspidata* Reinh. нөвүнә жаһындыр.

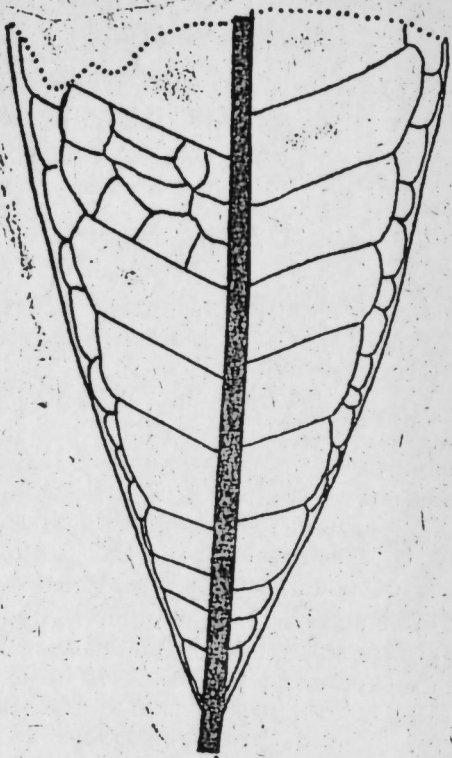
R. A. Fataliev

THE GENUS FICUS IN THE SARMATIAN FLORA OF AZERBAIJAN

In the Tertiary flora of Azerbaijan three oligocene *Ficus* species are known. Among them *F. arcinervis* in Sarmatian flora (Kura-Iori Interstream region) is found. Description and illustration of leaf impression are given. Morphologically *F. arcinervis* is very similar to modern species *F. cuspidata* Reinh.

Геер [12], впервые установивший принадлежность этой ископаемой формы к роду *Ficus* считает, что она наиболее близка к современному виду *F. cuspidata* Reinw. (горные леса Суматры и Явы). Изучение современных фикусов по материалам гербарий и оранжерей Ботанического института АН СССР (Ленинград) показало, что *F. arcinervis* проявляет сходство с *F. cuspidata* только по форме и размерам листовой пластинки, а сильные вторичные жилки последнего, отходящие под углом 90°, соединяются почти прямыми анастомозами [4, табл. 13, фиг. 5]. В то время как другой азиатский вид *F. elastica* Roxb. (по характеру вторичных жилок, углам их отхождения и об разованными ими дуговидным анастомозам) стоит гораздо ближе к *F. arcinervis*, хотя имеет иную сеть третичного жилкования. Возможно, что существует и более близкий в морфологическом отношении вид, но фрагментарность ископаемого отпечатка и недостаточность сравнительного материала по роду *Ficus* не позволяют ответить на этот вопрос более конкретно.

Установление рода *Ficus* в сарматской флоре западного Азербайджана представляет значительный палеоботанический и историко-географический интерес. Этот факт свидетельствует о том, что в позднемиоценовое время на территории Восточного Закавказья, еще существовали благоприятные условия, позволявшие фикусам и другим вечнозеленым древесным растениям сохраняться в некоторых лесных фитоценозах.



Отпечаток листа *Ficus arcinervis* (Rossm.) Heer (обр. № K/807A, ×3). Казахский р-н, гора Катар, верхнесарматские отложения

М. А. КАСУМОВ

ФЛОРИСТИЧЕСКИЙ СОСТАВ КРАСИЛЬНЫХ РАСТЕНИЙ АЗЕРБАЙДЖАНА

(Представлено академиком АН Азербайджанской ССР Г. А. Алиевым)

Одной из актуальных задач остается изыскание новых источников растительного сырья для использования в различных отраслях народного хозяйства. Чем разнообразнее условия произрастания растений, а следовательно, чем богаче флора, тем большее число видов может быть использовано человеком. Из свыше 4000 видов высших растений Азербайджана более 1500 обладают красильными свойствами. Выявленное нами число видов красильных растений составляет 36% всех видов флоры Азербайджана [1–6]. Ими приводятся се-

Таблица 1
Количество видов, родов и семейств красильных растений во флоре Азербайджана

Название крупных семейств родов	Число видов	% к общему числу видов
ROSACEAE	33	183
ASTERACEAE	57	150
LABIATAE	20	101
FABACEA	33	79
RANUNCULACEAE	13	73
RUBIACEAE	5	58
POLYGONACEAE	3	49
EUPHORBIACEAE	5	42
LILIACEAE	9	37
SCROPHULARIACEAE	5	37
MALVACEAE	7	30
PAPAVERACEAE	6	28
CAPRIFOLIACEAE	6	27
SALICACEAE	2	24
SOLANAACEAE	9	24
CHENOPODIACEAE	3	24
GERANIACEAE	1	23
VIOLACEAE	1	22
SAXIERAGACEAE	6	21
ONAGRACEAE	3	20
UMBELLIFERAE	6	19
BORAGINACEAE	10	17
ERICACEAE	4	16
BETULACEAE	3	15
GUTTIFERAE	1	15
Остальные семейства (86)	251	1129
		75,59

72

Таблица 2

Жизненные формы красильных растений, распространенных в пределах Азерб. ССР

Жизненные формы	Число видов	% к общему к-ву видов
Деревья	120	8,0
Кустарники	262	17,5
Полукустарники	122	8,1
Травянистые многолетники	690	46,0
Двулетники	70	4,0
Однолетники	236	15,7
ИТОГО: 1500		100,0

мейства, в которых встречаются красильные растения (всего сто одиннадцать). Наибольшее количество родов и видов красильных растений встречается в 25 семействах (табл. 1). Кроме того, изучены жизненные формы указанных растений (табл. 2).

Суммируя изложенное, можно сказать, что на долю этих 25 семейств приходится 75,3% всех красильных растений флоры Азербайджана, на остальные 86 семейств приходится 371 вид, т. е. 24,7%. Некоторые роды (*Rosa* L., *Salix* L., *Quercus* L., *Rumex* L., *Polygonum* L., *Ranunculus* L., *Papaver* L., *Potentilla* L., *Geranium* L., *Erophogia* L., *Hypericum* L., *Salvia* L., *Gallium* L., *Artemisia* L.) содержат более 10 видов красильных растений. Другие—всего лишь один вид, но имеющий широкий ареал и большие запасы. К таковым относятся: *Pinica granatum* L., *Juglans regia* L., *Peganum harmala* L., *Cotinus coggygria* Scop, *Rhus coriaria* L., *Glycyrrhiza glabra* L., *Oriaganum vulgare*, др. Одни виды красильных растений имеют обширные ареалы, другие—встречаются в узких пределах.

1. Cem. POLYPODIACEAE (в. 2) род 1
2. Cem. GINKGOACEAE (в. 2) род 1
3. Cem. TAXACEAE (в. 1) род 1
4. Cem. PINACEAE (в. 5) род 2
5. Cem. CUPRESSACEAE (в. 18) род 5
6. Cem. LYEOPODIACEAE (в. 3) род 2
7. Cem. COMMELINACEAE (в. 1) род 1
8. Cem. LILIACEAE (в. 37) род 9
9. Cem. AMARYLLIDACEAE (в. 4) род 3
10. Cem. DIOSCOREACEAE (в. 1) род 1
11. Cem. IRIDACEAE (в. 13) род 2
12. Cem. ORCHIDACEAE (в. 11) род 4
13. Cem. SALICACEAE (в. 24) род 2
14. Cem. JUGLANDACEAE (в. 4) род 3
15. Cem. BETULACEAE (в. 15) род 3
16. Cem. FAGACEAE (в. 14) род 3
17. Cem. ULMACEAE (в. 10) род 3
18. Cem. MORACEAE (в. 6) род 3
19. Cem. CANNABACEAE (в. 3) род 2
20. Cem. URTICACEAE (в. 8) род 3
21. Cem. LORANTHACEAE (в. 1) род 1
22. Cem. SANTALACEAE (в. 4) род 1
23. Cem. ARISTOLOCHIACEAE (в. 3) род 1
24. Cem. POLYGONACEAE (в. 49) род 3

25. Сем. CHENOPODIACEAE
 26. Сем. AMARANTHACEAE
 27. Сем. NYCTAGINACEAE
 28. Сем. PHYTOLACCEACEAE
 29. Сем. CERATOPHYLLACEAE
 30. Сем. RANUNCULACEAE
 31. Сем. BERBERIDACEAE
 32. Сем. MAGNOLIACEAE
 33. Сем. CALYCINACEAE
 34. Сем. LAURACEAE
 35. Сем. PAPAVERACEAE
 36. Сем. CRUCTFERAE
 37. Сем. CAPPARIDACEAE
 38. Сем. RESEDAEAE
 39. Сем. CRASSULACEAE
 40. Сем. SAXIFRAGACEAE
 41. Сем. EUCOMMIAEAE
 42. Сем. PLAMANACEAE
 43. Сем. ROSACEAE
 44. Сем. FABACEAE
 45. Сем. GERANIACEAE
 46. Сем. OXALIDACEAE
 47. Сем. TROPAEOLACEAE
 48. Сем. ZUDOPHYLLACEAE
 49. Сем. RUΤACEAE
 50. Сем. SIMARUBACEAE
 51. Сем. MELLACEAE
 52. Сем. POLYGALACEAE
 53. Сем. EUPHORBIACEAE
 54. Сем. CALLITRICHACEAE
 55. Сем. BUXACEAE
 56. Сем. EMPETRACEAE
 57. Сем. ANACARDIACEAE
 58. Сем. AGULFOLIACEAE
 59. Сем. ACERACEAE
 60. Сем. SAPINDACEAE
 61. Сем. HIPPOCASTANACEAE
 62. Сем. BALSAMINACEAE
 63. Сем. RHAMNACEAE
 64. Сем. VITACEAE
 65. Сем. TILIACEAE
 66. Сем. MALVACEAE
 67. Сем. BOMBACACEAE
 68. Сем. THEACEAE
 69. Сем. GUTTIFERACEAE
 70. Сем. ELATINACEAE
 71. Сем. FRANKENIACEAE
 72. Сем. TAMARICACEAE
 73. Сем. CISTACEAE
 74. Сем. VIOLACEAE
 75. Сем. PASSIFLORACEAE
 76. Сем. DATISCACEAE
 77. Сем. THYMELAEACEAE
 78. Сем. ELAEAGNACEAE
 79. Сем. LYTHRACEAE
 80. Сем. MYRTACEAE
 81. Сем. PUNICACEAE
 82. Сем. ONAGRACEAE
 83. Сем. ARALIACEAE
 84. Сем. UMBELLIFERAЕ
 85. Сем. CORNACEAE
 86. Сем. PYROLACEAE
 87. Сем. ERICACEAE
- (в. 24) род 3
 (в. 2) род 2
 (в. 2) род 1
 (в. 1) род 1
 (в. 1) род 1
 (в. 73) род 13
 (в. 44) род 2
 (в. 1) род 1
 (в. 1) род 1
 (в. 1) род 1
 (в. 28) род 6
 (в. 13) род 4
 (в. 1) род 1
 (в. 6) род 1
 (в. 1) род 1
 (в. 21) род 6
 (в. 1) род 1
 (в. 1) род 1
 (в. 183) род 33
 (в. 79) род 33
 (в. 23) род 1
 (в. 2) род 1
 (в. 1) род 1
 (в. 3) род 2
 (в. 7) род 4
 (в. 1) род 1
 (в. 1) род 1
 (в. 1) род 1
 (в. 45) род 5
 (в. 2) род 1
 (в. 1) род 1
 (в. 4) род 3
 (в. 6) род 1
 (в. 9) род 1
 (в. 1) род 1
 (в. 1) род 1
 (в. 2) род 1
 (в. 10) род 5
 (в. 4) род 2
 (в. 4) род 1
 (в. 30) род 7
 (в. 4) род 1
 (в. 1) род 1
 (в. 15) род 1
 (в. 1) род 1
 (в. 2) род 1
 (в. 10) род 3
 (в. 7) род 2
 (в. 22) род 1
 (в. 1) род 1
 (в. 1) род 1
 (в. 6) род 1
 (в. 5) род 1
 (в. 2) род 1
 (в. 12) род 2
 (в. 1) род 1
 (в. 20) род 3
 (в. 3) род 1
 (в. 19) род 6
 (в. 4) род 2
 (в. 62) род 1
 (в. 16) род 4

88. Сем. PHYMBAGINACEAE
 89. Сем. ERENACEAE
 90. Сем. OLEACEAE
 91. Сем. GENTIANACEAE
 92. Сем. APOCYNACEAE
 93. Сем. ASCLEPIADACEAE
 94. Сем. CONVOLVULACEAE
 95. Сем. BORAGINACEAE
 96. Сем. VERBENACEAE
 97. Сем. LABIATAE
 98. Сем. SOLANACEAE
 99. Сем. SCROPHULARIACEAE
 100. Сем. BIGNONIACEAE
 101. Сем. PEDALIACEAE
 102. Сем. MARTYNIACEAE
 103. Сем. ORBANENACEAE
 104. Сем. RUBIACEAE
 105. Сем. GLOBULARIACEAE
 106. Сем. CAPRIFOLIACEAE
 107. Сем. VALERIANACEAE
 108. Сем. DIPSACACEAE
 109. Сем. CUCURBITACEAE
 110. Сем. CAMPANULACEAE
 111. Сем. ASTERACEAE
- (в. 7) род 3
 (в. 2) род 1
 (в. 9) род 5
 (в. 2) род 2
 (в. 5) род 3
 (в. 7) род 3
 (в. 4) род 3
 (в. 17) род 10
 (в. 1) род 1
 (в. 115) род 20
 (в. 24) род 9
 (в. 37) род 5
 (в. 2) род 2
 (в. 1) род 1
 (в. 1) род 1
 (в. 1) род 1
 (в. 53) род 5
 (в. 4) род 1
 (в. 27) род 6
 (в. 30) род 5
 (в. II) род 2
 (в. 4) род 2
 (в. 61) род 7
 (в. 150) род 57

Красильные растения встречаются во всех типах растительности: на лугах (пойменных и горных), в лесах (горных), степях (равнинных и горных); нередко можно встретить в садах и парках или как сорняки (среди посевов и посадок).

Выводы

1. Растения, используемые для изготовления красок, принадлежат к различным семействам, родам и видам высших (цветковых) и низших растений.
2. Из 1500 изученных нами видов 157 являются эндемиками Кавказа, 81—эндемиками Азербайджана, 176—культурными видами, 1324—дикорастущими, относящимися к 111 семействам и 358 родам.
3. К семействам, имеющим большое число видов красильных растений, относятся: Rosaceae, Asteraceae, Labiateae, Fabaceae, Ranunculaceae, Rubiaceae, Polygonaceae, Euphorbiaceae, Liliaceae, Serophylaceae, Malvaceae, Papaveraceae и др.
4. Нами установлено, что более 100 видов имеют в Азербайджане промышленные запасы.
5. По жизненным формам красильных растений Азербайджана на первом месте стоят травянистые многолетники (690 видов), на втором—кустарники (262 вида), на третьем—однолетники (236 видов), затем—полукустарники (122 вида) и деревья (120 видов). На долю двулетников приходится 70 видов.

Литература

1. Касумов М. А. Красильные растения Азербайджана и их использование в ковровом производстве. Дисс. канд. бiol. наук.—Баку, 1973. 2. Касумов М. А. Красильные растения Азербайджана и применение их в народном хозяйстве.—Баку: Элм, 1974. 3. Касумов М. А. Перспективные красильные растения Азербайджана. у Изв. АН АзССР, серия бiol. наук, 1978, № 5. 4. Касумов М. А. Красильные раст

ния Нахичеванской АССР.—Баку: Элм, 1981. 5. Касумов М. А. Красильные растения Азербайджана.—Баку: Азеришр, 1980 (на азерб. яз.). 6. Касумов М. А. Красильные растения Азербайджана и их использование в ковровом производстве. Тез международного симпозиума по искусству восточных ковров.—Баку: Элм, 1983.

Нах. КЗОС

Поступило 20. V 1985

М. Э. Гасымов

АЗЭРБАЙЧАНЫН БОЈАГ БИТКИЛӘРИНИН ФЛОРА ТӘРКИБИ

Азэрбајҹан флорасында йајылан 4200 или биткиләр нөвүн, и 1500-дән чоху бојаг тәбиэтли хүсусијәтэ маликдир. Бүилардан 1324 нөвү йабаны, 176 нөвү мәдәни, 157 нөвү Гафгaz, 81 нөвү Azәrbaјҹan үчүн ендемик олуб, III фәсилә вә 358 чинс дахи-линдә бирләшәрәк үмуми флораны 36%-ни тәшкил едиր.

M. A. Kasumov

FLORISTIC COMPOSITION OF THE TINTORIAL PLANTS OF THE AZERBAIJAN SSR

Among 4200 species of higher plants of Azerbaijan more than 1500 species possess tintorial properties. Out of 1500 species studied 1324 are wild plants, 176 are cultured species, 157 are Caucasus endemics and 81 are endemics of Azerbaijan. All species belong to III families and 358 genera.

АЗЭРБАЙЧАН ССР ЕЛМЛӘР АКАДЕМИЈАСЫНЫН МӘРҮЗӘЛӘРИ
ДОКЛАДЫ АКАДЕМИИ НАУК АЗЕРБАЙДЖАНСКОЙ ССР

ТОМ XLII ЧИЛД

№ 1

1986

ЭДӘБИЈАТШУНАСЛЫГ

3. ЭСКӘРЛИ

„НАДАНЛЫГ“ ПЛЕСИННИН ЖАНРЫ

(Azәrbaјҹan CCP EA академики M. Ч. Чәфәров тәгдим етмишdir)

Азэрбајҹан драматуркијасынын тәшәккул вә инкишаф тарихи, ајры-ајры классик драматургларын јарадычылыг јолу, бәдии-естетик баҳышлары вә сәнәткарлыг хүсусијәтләри барәдә бир сырға санбаллы монографик тәдгигатларын йазылмасына баҳмајараг, М. Ф. Ахундов, Н. Вәзиров, Э. Һәгвердијев, Ч. Мәммәдгулузадә кими сәнәткарларын бәдии-драматуржи ирсийн бир чох аспектләри јенә дә өјәнилмәмиш галыр. Бу йазычыларын јарадычылығы, хүсусилә әдәби-тарихи истигамәтдә даһа әтрафлы тәдгиг олундуғу налда, поетика, жанр баҳымындан нәзәри-естетик тәһилинә чох аз вә надир налларда фикир верилмишdir. Нәтичәдә исә драматуркија тарихиндә хүсуси мөвгеји олан бир сырға әсәрләrin драматик жанры мүәјјәнләшдирилмәмишdir. Тәсадуфи дејил ки, Ч. Җаббарлынын „Севил“, „Алмаз“, „Јашар“, „1905-чи илдә“, М. Ибраһимовун „Һәјат“, „Мадрид“, „Мәнәббәт“, С. Вурғунун „Фәрһад вә Ширин“, „Инсан“, И. Эфәндијевин „Баһар сулары“, „Мәһв олмуш күндәликләр“ кими драматик әсәрләри чох заман конкрет жанры илә јох, үмуми шәкилдә пјес адландырылыш вә айрылыгда онлардан, мәсәлән, „драм“, јаҳуд „фаҹиә“ кими дејил, үмуми налда „пјес“ вә ja „әсәр“ кими данышылыш. Белә әсәрләрдән бири дә көркәмли йазычы вә ичтимай хадим Нәriman Нәrimanovun „Наданлыг“ пјесидир.

Әсәр һаггында индијә гәдәр аз йазылмамышдыр. Көркәмли әдәбијатшұнас Ф. Көчәрлидән башланмыш бу құнә кими бир сырға драматуркија мутәхәссисләри, хүсусилә нәrimanovun алимләр „Наданлыг“ын идеја-мәзмун хүсусијәтләри барадә кениш сөһбәт ачмышлар. Бунунла белә әсәрин жанры әтрафында һәлә дә ихтиляфлар мөвчуддур. Бир гисм тәдгигатчылар ону „гарышыг нөвдән олан бир драм әсәри“ [1] „заязкасы вә развязкасы трактик олан гарышыг вә мүрәккәб бир жанрда йазылмыш пјес“ адландырыр [2], бағалары комедија кими тәһлил едирләр [3]. Нәтта Н. Нәrimanovun драматуркијасы һаггында ән јаҳши монографик тәдгигатын мүәллифи Т. Эһмәдов да „Наданлыг“а бир дәфә драм демәјинә баҳмајараг, бүтөвлүкдә ону комедија кими тәһлил едир [4]. Әсәрин жанры барадә үчүнчү фикир исә бундан ибартыл ки, „трактик вә комик үңсүрләри олса да, жанр мүрәккәблиji ашқар дујулса дә әсәр жанрча даһа чох (курсив бизимдир—З. Э.) драмдыр“ (Б. Мәммәдзәдә) [5]. Айдан көрүнүр ки, нисбәтән ирәли кетмәјинә баҳмајараг, әслиндә бу фикир дә „Наданлыг“ы комедија кими тәһлил едәнләре бир күзәштедир. Бүилардан башта, әсәрин жанры үзәриндә кениш дајанмадан ону гејдиз-шәртсiz сурәтдә драм сајан [6], үмуми шәкилдә

„пјес“ адландыран [7], набелә тамамилә әсассыз оларғ, „диалог вә монолог формасында жазылмыш һекај“ [8] несаб едән мүэллифләр дә олмушшур.

„Наданлыг“ комедијадырым? Комедија дејилсә нә үчүн? Мә'лум дур ки, драматик нөвүн жанларыны әсасән конфликт тә'жин едир вә драматуркијанын жанлары да „драматик конфликтин хүсусијәтләриндән асылы“ сурәтдә йараңыр: конфликтсиз драматик әсәрин мәниј-јәтини ачан һәрәкәтии инициафы јохлур [9]. Бәдии конфликтин һәлли үсулуңдан асылы оларғ, драматик нөвүн жанлары — комедија, драм, фачиә, фарс, водевил вә с. йараңыр. Демәли, „Наданлыг“ын жанларыны дүзкүн тә'жин етмәк үчүн илк нөвбәдә онун конфликтини дүзкүн мүэлләштирмәк лазым кәлир. Әсәрдәки мүнағишә вә наразылыглар мүхтәлиф олса да, умуми мәнзәрә айдындыр вә бу айлылыгда конфликт чох тез сечилир: кеһнәлән адәт вә бу адәтлә јашамаг истәмәјен кәнчлек арасындалкы тоггушма пјесдә әсас эндиј-јәт кими тәсвири олунур. Әлбәттә, белә бир зиддијәт башга драматик жанларыны да конфликтиниң әсасында дајана биләр вә мәсәлән, М. Ф. Ахундовун „Мүсје-Жорлан вә дәрвиш Мәстәли шаһ“, Н. Вәзировун „Мисибәти-Фәхрәддин“ әсәрләrinin конфликтини үмуми налда „чүрүмүш адәтлә чәмијәтдәki Јенилик арасында мубаризә“ [10] шәклиндә тәзәнүр едир. Бу әсәрләrinin конфликтини бир-бириндән аյыран спесифик чәһәт онларын мәркәзинде дајанан зиддијәтләrin бәдии-драматик һәлли формасындалыр. „Наданлыг“ да тәсвири олунан авамлыг, маарифә лагејдлик нә М. Ф. Ахундовун әсәринде олдуғу кими комиқ јүксәклијә, нә дә Н. Вәзировун пјесиндәки трактик һалда галдырылышыр. Бурада конфликт—пјесин әсас гәһрәманы илә онун әнатә олундуғу наданлыг арасында зиддијәт естетик мәнијәтине көрә һәлледиләндир. Конфликтин әсасында гејри-ади характер дајанмыр, һадисәләр өз ади ахарында, нормал гајдасында давам едир. Трактик вә комиқ әсәрләрдән фәргли оларғ, „Наданлыг“ын тәсвири объекти фачиәвилләк комиқлар арасында орта һәддир, յалныз драм жанлына мәхсүс бир мәрһәләдир. Әсәрин сюжетинде „кулұш доғуран комиқ мубаризә“ (В. Белинский) вә си туасијалар, йаҳуд кәскин трактик зиддијәтләр јохлур. Бүтүн бу атрыутлар пјеси драм жанлынын норматив чәрчиwәсиндең кәнара чыхмаға гојмур. Лакин Н. Нәrimanovun јарадычылығына һәср олунмуш бә'зи мәгаләләрдә бу фикрин эксине дә раст кәлирик. Мәсәлән, билаваситә „Наданлыг“ пјесинин идея вә жанр хүсусијәтләринин тәһлилине һәср олунмуш соң мәгаләләрин бириндә охујуруг: „Надисәләр комиқ конфликтдә башлајыр, инициаф етдирилир, һәрәкәт вә вәзијәтләrin комиқлијинде әјаниләшир. Образларыны дүшүнчә тәрзинин, дүнјабахышынын комиқлији онларын мүкалимәләринде вә һәрәкәтләринде ифадә олунур...“ [11].

Билаваситә „Наданлыг“ пјесинин идея-бәдии мәзмуну илә ујгун кәлмәjән бу фикир тамамилә әсассыздыр. Чүнки Н. Нәrimanovun әсәринде һадисәләр һеч дә „комиқ конфликтлә“ башламыр вә тәбии ки, „образларыны дүшүнчә тәрзи“, һәјата бахышы да комиқ тәрздә јох, ади драм чәрчиwәсинде тәгдим олунур. Әсәр мәктәбә, мұасир тәһислә гаршы лагејд болан кәнд чамааты бәрадә Мәһәммәд ағанын шикаjәти илә башлајыр вә Өмәрин өлүмү илә сона чатыр. Галан бүтүн һиссәләр наданлыг фонунун тәчәссүмүндән, „бу демоник гүввәнин“ (К. Маркс) инсанлара кәтириди социал бәлаларын әһатәли

тәсвириндән ибарәтдир. Демәли, әсәр идеясына, социал гајасине, бәдии-естетик тутумуна көрә һеч дә комиқ мәзмұна малик дејилдир.

Бәдии әсәрин жанры онун пафосу илә дә сых бағлыдыр. Башга әдеби нөвләрдә олдуғу кими, драматик нөвүн дә әсас жанлары һәм дә өзүнүн пафосуна көрә бир-бириндәи айрылыр. Фачиә вә комедијадан фәргли оларғ, драм өз „пафосуна көрә һәмиша драматикдир“ [12], онун мәзмұнуна комиқ, йаҳуд трактик пафос тамам җаддыр: „Наданлыг“ әсәринде дә беләдир. Бурадакы пафос пјесин конфликтинде сых бағлыдыр, онун тәләбләриндән йараңыр. Башга сөзлә, Нәrimanovun әсәринин конфликтини комиқ олмадыры кими пафосу да комиқ дејилдир. Бурада тәсвири олунан бәдии вә социал мүһит, персонажларын һәмин мүһитдә баш верән һадисәләрә мұнасибәти, онларын дахили-мө'нәви дүнжалары, әхлаги дүшүнчәләри, кечирдикләри һисс, һәjәчан вә дуjгулары комиқ планда верилмир, эксине, әсәрин әввәлиндә, лап бириңи кәлишдә Мәһәммәд ағанын сезләри васитәсилә ачыг вә айдын ифадә олунан драматик пафос сюжетин инициафы бою даһа да күчләнір, ән наhәjәтдә исә өлүмлә, ганла иәтичәләнір. Бүтүн бу хүсусијәтләrinе көрә „Наданлыг“ әсәрини комедија несаб етмәк елми-нәзәри бахымдан әсассыз көрүнүр.

Драматик жанрыны дүзкүн мүэлләшдирилмәсендә гәһрәманын да хүсуси әhәмиjәти вардыр. Гәһрәманын характерчә комиқ, трактик вә драматик олмасы драматик нөвүн әсас жанларыны — комедија, фачиә вә драмы шәртләndirir. Даһа доғрусы, драматик әсәрин конфликтин гәһрәманын мөвgejindәn, чәрәjан едән һадисәләрә мұнасибәтindәn, мүбаризә үсулларындан асылы сурәтдә формалашыр.

„Наданлыг“ын гәһрәманын характер е'тибарилә комиқдирми? Әсәри комедија несаб едән мүэллифләр бу мәсәлә барәдә фикир сөjәмиirlәr. Экәр „Наданлыг“ комедијадырыса, онда онун гәһрәманы да характерине көрә комиқ олмалыдыр, һалбуки пјесдә нә Мәһәммәд аға комиқ сурәтдир, нә дә Өмәр. Һәтта бу кәнчләрин мүбаризә апардыры тәрәfin нүфузлу нүмаjндәләри дә (һачы Абдулла, Афакиши, Нијазәли вә б.) комиқ планда тәсвири олунмур. Бу һалда пјеси „кәsskin тәнгиди характерә малик комедија“ [13] сајмаг үчүн һансы әсас вардыр! Ахы, онун драматик крифлиktи вә бәдии пафосу кими әсас персонажларынын характери дә комиқ дејил, драматикдир. Тәсадуфи дејил ки, Н. Нәrimanov өзү дә әсәрини комедија јох, мәhз драм адландырышлыр.

Бә'зи тәдгигатчылар „Наданлыг“ пјесинин жанрча икили олдуғуны иддия едәркән Өмәрин өлүмүнә истинад едиrlәr. Мәсәлән, филолокија елмләри намизәди Һ. Оручәли жаңыр: „Бу үчпәрдәли (?) пјесин (јә'ни „Наданлыг“ын—З. Ә.) һадисәләри соң епизодларга гәдәр өз мәзмұнунда мұвағиғ қалән бир әдеби формада — комедија вә фачиә јох, тәмиз драм жанры аспектиндә чанландырылышыр... Амма Өмәрин ән наhәjәtдә гәфләтән өлдүрүлмәси әсәрә нә исә бир нөв фачиә сәчијәси вермәкдәdir“ [14]. Доғрудур, пјесдә Өмәрин өлүмү тә'сирли вериллир вә бүтөвлүкдә мөвчүд әхлаг нормаларынын пучлуғуны, һәгигәт, әдаләт идеаллары бахымындан Яарамазлығыны субут едир. Лакин бу өлүм естетик зәрурәтдән доған һадисә кими баш верилмир. Фә'и өлүмүндән фәргли оларғ, Өмәрин өлүмү сюжетин әввәлиндән һадисәләрин бүтүн кедиши, мәнтиги иәтичәси кими һазырланмыр, һәтта әсәрин соң мәчлисindә Вәлдинин сөjәlәdi: „Ону бир қүлләjә гурбан елиjәрәm“. Бу һирсли вахтымда элимә дүшә, гарны-

ны балыг гарны кимјаррам" ифаделәри дә Өмәрүчүн гачылмаз өлүм акты кими сәсләнмири. Эсәрин финалында гәһрәманын өлүмү трактик зәрурат кими јох, ади, тәсадуфи наисә кими баш верир. Мәһз буна көрә Өмәрин өлүмүнә әсасланыб, "Наданлыг" пјесини фачиә сајмаг да елми чәһәтдән инандырычы көрүмүр.

Эсәрин һәм идея-мәзмун,- һәм дә бәдни-драматик бахымдан жанр мүлләнедици хүсусијәтләринин намысы—конфликти, пафосу, гәһрәманын характеристи вә с. ону фачиә, јаҳуд комедија јох, драм сајмағын даһа дүзкүй вә әсаслы олдуғуны көстәрир.

Әдәбијјат

1. *Фиридуң бај Көчарли*. Сечилмиш әсәрләри. —Бакы, 1963, с. 38. 2. *Әли Султанлы*. Азәрбајҹан драматургијасынын иинкишаф тарихиндән. —Бакы, 1964, с. 175.
3. *Мирза Ибраһимов*. Бөյүк ингилабчы-јазычы. —Нәriman Нәrimanov. Сечилмиш әсәрләри, Бакы, 1973, с. 3—17. 4. *Бах: Төјмур Әхмәдов*. Нәriman Нәrimanovun драматургијасы. —Бакы, 1971, с. 53—77. 5. Азәрбајҹан драматургијасынын иинкишаф ѡоллары. —Елми әсәрләр топлусу, Бакы, АДУ иәширијјаты, 1982, с. 88. 6. *Мир Чәләл, Фиридуң һүсејнов*: XX әср Азәрбајҹан әдәбијјаты. —Бакы, 1981. 7. *Халид Әлимирзәјев*. Нәriman Нәrimanovun драматургијасында идеал вә гәһрәман. —Бах: Азәрбајҹан драматургијасынын иинкишаф ѡоллары. Елми әсәрләр топлусу, Бакы АДУ иәширијјаты, 1982, с. 51—54; *Надир Вәлиханов*, Азәрбајҹан маарифчи-реалист әдәбијјаты. —Бакы, Елм; 1983, с. 30—35. 8. *А. Линин*. Нәriman Нәrimanovun драмалары үзәриндә мушаһидәләрим. —Азәрбајҹаны өјрәнмә ѡолу", З-чу сајы, 1930, с. 38.
9. *Н. М. Федъ*. Искусство комедии. —М., 1978, с. 113. 10. *Г. Јашар*. Фачиә вә гәһрәман. —Бакы, 1955, с. 61. 11. *В. Пашајев*. Халг сәәдати намина. —Азәрб. ССР ЕА Хәбәрләри. Әдәбијјат, дил вә иичәсанәт серијасы, 1980, № 3, с. 45. 12. *Г. Н. Поспелов*. Теория литературы. —М., 1978, с. 261. 13. *В. Пашајев*. Көстәрилән мәгаләси, с. 45. 14. *Н. Оручевли*. һәјати ахтарышлар, бәдни тапынтылар. —Бакы, 1979, с. 82.

Азәрб. ССР ЕА Низами адына
Әдәбијјат Институту

Алынмышыр
28III. 1984

3. Аскерли

ЖАНР ПЬЕСЫ „НЕВЕЖЕСТВО“

Пьеса видного азербайджанского писателя и общественного деятеля Наримана Нариманова "Невежество" является одним из оригинальных произведений национальной драматургии, идеально-художественные особенности которого рассматривались во многих литературоведческих трудах. Такие видные исследователи литературного творчества Наримана Нариманова, как Ф. Кочарли, А. Султанлы, М. Ибрагимов, Т. Ахмедов и другие, считали "Невежество" комедией, а некоторые трагедией.

Автор статьи, подробно анализируя жанровые особенности пьесы, приходит к выводу, что "Невежество" Н. Нариманова ошибочно считать трагедией или комедией. Эта пьеса по своему идеиному и поэтическому содержанию является драмой.

Z. Askerly

THE GENRE OF PLAY "IGNORANCE"

The play of "Ignorance" by Nariman Narimanov, the prominent Azerbaljan writer and public benefactor, is one of the original works of nation drama, Ideological and artistic peculiarity of which is regarded in literary criticism.

Such eminent investigators of literary creation of Nariman Narimanov as F. Kocharli, A. Sultanly, M. Ibragimov, T. Akhmedov and others consider "Ignorance" a comedy, but some—a tragedy.

The author of this article analyses the genre peculiarity of play in detail and comes to the conclusion, that it is the error to consider it a tragedy or a comedy. This play is a drama by ideological and poetical contents.



МҮНДӘРИЧАТ

Риазијјат

С. Мусајев, Т. М. Эфәндијев. Пикар-Раковщик итерасијасы үсулу илә скалјар терминал чутын гурулмасы	3
Ч. И. Мәммәдханов, А. А. Мусајев. Қазынкоформ сәрәдли областларда сохнәдлірлә локал јаҳылашмалар	7
М. К. Гасымов. Икى параметрлι бир мәсәләнин мәхсуси әдәдләринин олмамасы һагында	11

Јарымкечирничиләр физикасы

Р. Б. Шәфизадә, К. Р. Аллаһвердиев, Ф. И. Элијев, С. С. Бабајев, М. Э. Нуријев. Cu Zn Se ₂ монокристал назик тәбәгәләринин узундалғалы ИГ спектри вә фотокечирничиләр	14
З. А. Вәлијев, В. Б. Шикин. Диолокасија чәпәрләриндән чәрәјанын кечмәси	18

Физика

А. Н. Абдуллајев, Б. А. Кәзэлов, Ф. Ч. Гасымов, В. М. Мамиков. Епитетаксија просесинде формалашан поликристал силициум назик тәбәгәләринин электрофизики хассаслары	22
---	----

Полимерләр физикасы

Ш. В. Мәммәдов, Е. Ш. Нуријев, Ж. Г. Рәһимов, В. Э. Эләкбәров, С. А. Абасов. Електрик бошалымасынын иләк сапы мәйкәмлийнә тәсирин	26
---	----

Енергетика

Т. С. Ахундов, М. В. Иманова, А. Ч. Таиров. Натриум-хлорун 20 вә 50 г/л концентрасијалы сулы мәйлүлларынын термик хассаслары	30
--	----

Биомеханика

(Р. J. Эмизадә, А. Н. Элизадә. Бөйүк тан дамарларынын һидродинамик моделинин гурулмасына даир	35
---	----

Гејрән-үзүн кимја

Н. Б. Шаһтахтийский, Р. Н. Йусубов, Ф. А. Һаҹыјев, Н. М. Рзајев, Ч. Ч. Эфәндијев, Ф. Г. Элијев. Филизчај коллектив концентраторы янығынын мәйлүлла јујулмасы	40
--	----

Ж. А. Лайнер, Т. Д. Исафилов, Ф. Г. Гәһрәмайов, И. З. Зәкијев. Сулфат дузларының калиум-алуминат мәйлүлүлү илә конверсијасы	44
---	----

Ф. В. Элијев, Е. Н. Эмирбајов, А. Д. Гулијев, В. Ж. Данижүшевски, В. И. Іакерсон. Магнезиум, синк-дәмір вә магнезиум, синк-дәмір-алуминиум катализаторларында фаза чөврилүләринин тәдгиги	48
---	----

Кеокимја

Ф. Д. Нәсәнов. Җәнуби Ҳәзәр чөкәклийнә орта плюсен чекүнүләриндә бә'зи надир элементләрни пајланма сәчијјәсі һагында	52
--	----

Нефт кимјасы вә нефт кимјасы синтези

К. И. Садыхов, Э. Н. Ағајев, С. М. Вәлијева. Қалсиум вә магнезиум алкилфенолсулфонатларының синтези вә тәдгиги	57
--	----

Нидрология

С. Н. Рустэмов. Минкәчевир су айбарының морфометрик үсүрләри 60

Кибернетика

А. М. Рустэмова, Д. Д. Ахундова, У. К. Элекбаров, Р. А. Баяев. Бүгдәнның чүчәртисиндән алымыш екстрактың антиутакең тәсирі 64

Полеботаника

Р. А. Фатэлиев. *Ficus* чинси Азәрбајҹаның сармат флорасында 68

Биткичилек

М. Э. Гасымов. Азәрбајҹаның бојаг биткилләринин флора тәркиби 72

Эдәбијатшүнаслыг

З. Эскәрли. «Наданлыг» пјесинин жаңры 77

СОДЕРЖАНИЕ

Математика

С. Р. Мусаев, Т. М. Эфендиеев. Построение скалярных терминальных пар методом итерации Пикара-Раковщика 3
Дж. И. Мамедханов, А. А. Мусаев. Локальная полиномиальная аппроксимация в областях с квазиконформной границей 7
М. Г. Гасымов. Об отсутствии собственных элементов одной двупараметрической задачи 11

Физика полупроводников

Р. Б. Шафизаде, К. Р. Аллахвердиев, Ф. И. Алиев, С. С. Бабаев, М. А. Нуриев. Длинноволновой ИК-спектр и фотопроводимость моно-кристаллических пленок CuSe_2 14
З. А. Велиев, В. Б. Шикин. О прохождении тока через дислокационный барьер 18

Физика

А. Г. Абдуллаев, Б. А. Гезалов, Ф. Д. Касимов, В. М. Мамиков. Электрофизические свойства пленок поликристаллического кремния, сформированных в процессе эпитаксиального наращивания 22

Физика полимеров

Ш. В. Мамедов, Э. Ш. Нуриев, Я. Г. Рагимов, В. А. Алексперов, С. А. Абасов. Влияние электрических разрядов на механическую прочность шелковых нитей 26

Энергетика

Т. С. Ахундов, М. В. Иманова, А. Д. Таиров. Термические свойства водных растворов хлористого натрия при концентрациях 20 и 50 г/л 30

Биомеханика

Р. Ю. Амензаде, А. Н. Ализаде. К проблеме построения гидродинамической модели крупных кровеносных сосудов 35

Неорганическая химия

Г. Б. Шахтахтинский, Р. Н. Юсубов, Ф. А. Гаджиев, Г. М. Рзаев, Ч. Д. Эфендиеев, Ф. Г. Алиев. Выщелачивание обожженного коллектиивного концентрата руд 40

Ю. А. Лайнер, Т. Д. Исрафилов, Ф. Г. Гахраманов, И. З. Закиев. Конверсия сульфатных солей раствором алюмината калия 44

Ф. В. Алиев, Э. Н. Амирбеков, А. Д. Кулиев, В. Я. Данишевский, В. И. Якерсон. Исследование фазовых превращений в магний-, цинк-ферритных, магнийжелезоалюминиевых и цинкжелезоалюминиевых катализаторах 48

Геохимия

Ф. Д. Гасанов. О характере распределения некоторых малых элементов в среднеплиоценовых отложениях Южно-Каспийской впадины 52

Химия нефти и нефтехимический синтез	
К. И. Садыхов, А. Н. Агаев, С. М. Велиева. Синтез и исследование алкилфенолсульфонатов кальция и магния	57
Гидрология	
С. Г. Рустамов. / Морфометрические характеристики Мингечаурского водохранилища	60
Генетика	
А. М. Рустамова, Д. Д. Ахундова, У. К. Алекперов, Р. А. Ба- баев. Антимутагенный эффект экстракта проростков пшеницы	64
Палеоботаника	
Р. А. Фаталиев. Род Ficus в сарматской флоре Азербайджана	68
Растениеводство	
М. А. Касумов. Флористический состав красильных растений Азербайджана	72
Литературоведение	
З. Аскерли. Жанр пьесы «Невежество»	77

Сдано в набор 15/XI—85 г. Подписано к печати 29.01.86 ФГ 06021
Формат бумаги 70×100^{1/16}. Бумага типографская № 1. Гарнитура
шрифта литературия. Печать высокая. Усл. печ. лист 6.82 Усл.
кр.-отт. 6.82. Уч.-изд. лист 5,83. Тираж 580. Заказ 1657 Цена 70 коп.

Издательство «Элм»,
370143 Баку-143, проспект Нариманова, 31, Академгородок, Главное здание
Бакинская типография № 3 Государственного комитета Азербайджанской ССР по делам издательств, полиграфии и книжной торговли, Баку, ул. Али Таги-заде, 4

9. Текст статьи печатается на белой бумаге через два интервала на одной странице листа стандартного размера, с полями с левой стороны (не более 28 строк на одной странице по 58—60 знаков в строке). В тексте нельзя делать рукописные вставки и вклейки.

Статьи, напечатанные на портативной машинке, не принимаются.

10. Текст статьи должен быть изложен кратко, тщательно отредактирован и подписан авторами в печать. В математических статьях желательно избегать доказательств теорем, лемм и т. п. При использовании в тексте сокращенных названий (кроме общепринятых) необходимо давать их расшифровку.

11. Математические и химические формулы и символы в тексте должны быть вписаны четко. Следует избегать громоздких обозначений, применения, например, дробные показатели степени вместо радикалов, а также expr. Занумерованные формулы обязательно включаются в красную строку, номер формулы ставится у правого края страницы. Желательно нумеровать лишь те формулы, на которые имеются ссылки. Подстрочные и надстрочные индексы и степени следует отмечать карандашом, дугами сверху и снизу:

$$R^n, r_n$$

Греческие буквы нужно обводить (в кружок) красным карандашом. Буквы готического шрифта и рукописные в рукописях не использовать, векторные величины — подчеркивать черным, буквы латинского рукописного шрифта следует отметить на полях (например, Н рукоп.).

Во избежание ошибок следует четко обозначать прописные (заглавные) и строчные буквы латинского алфавита, имеющие сходные начертания (Cc; Kk; Pp; Oo; Ss; Uu; Vv; и т. д.), буквы I(i) и J(j), букву I и римскую единицу I, а также арабскую цифру I и римскую I', (вертикальная черта), I и штрих в индексах, I (латинское эль) и e. Прописные буквы подчеркивают карандашом двумя черточками снизу (C), а строчные — сверху (c).

Следует избегать знаков типа ~ (волна), ⊖, ⊕, ⊗; □ [≡], Ⓛ V Δ (крышки) над и под буквами, а также знаков:

$$h \times \mathbb{E}, \mathfrak{f} \mathfrak{j}, \mathfrak{f}, \mathfrak{d}$$

Латинские названия вписываются на машинке.

Слова «теорема», «лемма», «следствие», «определение», «замечание» и т. п. следует подчеркивать штриховой чертой, а текст утверждений типа теорем—волнистой чертой (исключая математические символы).

При выборе единиц измерения рекомендуется придерживаться международной системы единиц СИ.

12. При описании методики исследования следует ограничиваться оригинальной ее частью. При элементном анализе приводить только усредненные данные.

13. Необходимо тщательно проверить написание местных географических названий.

14. Цитированная литература приводится общим списком на отдельной странице: ссылки в тексте даются порядковым номером в круглых скобках над строкой (например,!). Список литературы оформляется следующим образом:

для книг: инициалы и фамилии авторов, полное название книги, место и год издания;

для журнальных статей: инициалы и фамилии авторов, название журнала, номер тома, номер выпуска, страница и год издания.

Ссылки на неопубликованные работы не допускаются.

15. Все статьи должны иметь резюме на английском языке кроме того, статьи написанные на русском и азербайджанском языках должны иметь резюме на азербайджанском и на русском соответственно.

Публикации статьи в «Докладах» не препятствует напечатанию расширенного ее варианта в другом периодическом издании.

Индекс
76355

70 тэн.
коп.